

Endodontics Today Volume 18, no. 4/2020

ISSN 1683-2981 (Print)
ISSN 1726-7242 (Online)
Published since 2001

"Scientific and practical journal for dentists, published four times a year since 2001. Electronic version of the journal

"Endodontics Today": www.endodont.ru

Subscription index: 15626 (in the catalog "Press of Russia - 2020-2021").

THE JOURNAL IS INCLUDED IN THE RUSSIAN SCIENTIFIC CITATION INDEX

Endodontics Today is a scientific peer-reviewed journal included in the State Commission for Academic Degrees and Titles List of peer-reviewed scientific publications in which the main results of dissertations for the degree of Candidate of science and for the degree of Doctor of Science, in accordance with the requirements of the order of the Ministry of Education and Science of Russia. The journal is an information partner of the Russian Dental Association. Endodontics Today is an open access journal that allows the scientific community and the general public to have unlimited, free and immediate access to articles and content to use freely. The journal publishes articles by practicing dentists and researchers, prepared on the basis of original scientific research, reviews of scientific literature and clinical cases in the field of therapeutic dentistry and surgical endodontics, as well as the related dental specialties studies. The scientific concept of the journal allows both dentists and general practitioners to learn about new and advanced concepts in root canal treatment and the latest advances in endodontics.

Editor-in-Chief:

A.V. Mitronin, Doctor of Medical Sciences, Professor, Honored Doctor of the Russian Federation, Head. Department of Cariesology and Endodontics, Dean of the Faculty of Dentistry, A.I. Evdokimov Moscow State University of Medicine and Dentistry of the Ministry of Healthcare of the Russian Federation, Moscow, Russia.

Scientific Editor:

M.M. Soloviev, Doctor of Medical Sciences, professor, head. Department of Surgical Dentistry, First St. Petersburg State Medical University, Saint Petersburg, Russia.

Editorial team:

V.V. Alyamovsky, Doctor of Medical Sciences, head. Department of Dentistry IPO, Head of the Krasnoyarsk State Medical University, professor, V.F. Voyno-Yasenetsky Institute of Dentistry – Scientific and Educational Center for Innovative Dentistry, Krasnoyarsk, Russia.

O.G. Avraamova, Doctor of Medical Sciences, head of the prophylaxis department, National Medical Research Center for Dentistry and Oral and Maxillofacial Surgery of the Ministry of Health of the Russian Federation, professor of the Department of Therapeutic Dentistry, N. I. Pirogov Russian National Research Medical University, Moscow, Russia.

I.A. Belanova, Doctor of Medical Sciences, Professor, Head of the Department of Training Highly Qualified Personnel in Dentistry, Federal State Budgetary Educational Institution of Higher Education "Voronezh State Medical University named after N.N. Burdenko" Ministry of Health of the Russian Federation, Voronezh, Moscow, Russia.

M.A. Chibisova, Doctor of Medical Sciences, professor, head of the Department of Radiology in Dentistry, Rector, of the Non-governmental General Institution of the St. Petersburg Institute of Dentistry of Postgraduate Education, Saint-Petersburg, Russia.

L.A. Dmitrieva, Doctor of Medical Sciences, professor, department of periodontics, A.I. Evdokimov Moscow State University of Medicine and Dentistry of the Ministry of Healthcare of the Russian Federation, Moscow, Russia.

K.G. Gurevich, Doctor of Medical Sciences, professor, honorary donor of Russia, head of the UNESCO Chair "Healthy lifestyle – the key to successful development", A.I. Evdokimov Moscow State University of Medicine and Dentistry of the Ministry of Healthcare of the Russian Federation, Moscow, Russia.

E.V. Ippolitov, Doctor of Medical Sciences, associate professor Professor, Department of Microbiology, Virology, Immunology, A.I. Evdokimov Moscow State University of Medicine and Dentistry of the Ministry of Healthcare of the Russian Federation, Moscow, Russia.

E.V. Ivanova, Doctor of Medical Sciences, professor, Department of Therapeutic Dentistry, "Russian Medical Academy of Continuing Professional Education", Moscow, Russia.

V.A. Kataeva, Doctor of Medical Sciences, professor of the Department of General Hygiene, A.I. Evdokimov Moscow State University of Medicine and Dentistry of the Ministry of Healthcare of the Russian Federation, Moscow, Russia.

N.G. Kozhevnikova, Doctor of Medical Sciences, associate professor, professor of the Department of General Hygiene, A.I. Evdokimov Moscow State University of Medicine and Dentistry of the Ministry of Healthcare of the Russian Federation, Moscow, Russia.

I.N. Kuzmina, Doctor of Medical Sciences, professor, head. Department of Dental Disease Prevention, A.I. Evdokimov Moscow State University of Medicine and Dentistry of the Ministry of Healthcare of the Russian Federation, Moscow, Russia.

I.Yu. Lebedenko, Doctor of Medical Sciences, Professor, Head of the Department of Prosthetic Dentistry, Medical Institute, "Peoples' Friendship University of Russia" (RUDN University), Moscow, Russia.

L.M. Lomiashvili, Doctor of Medical Sciences, Professor, Dean of the Faculty of Dentistry, Head of the Department of Therapeutic Dentistry, "Omsk State Medical University" of the Ministry of Health of the Russian Federation, Omsk, Russia.

Publisher: LLC "Endo Press"

Address of the publisher: 22-294 Onezhskaya Str., Moscow 125438,

Russian Federation

Tel: + 7 926 566-66-92, E-mail: endodonticsjournal@gmail.com

A.A. Muraev, Doctor of Medical Sciences, Professor of the Department of Maxillofacial Surgery and Surgical Dentistry, Medical Institute, "Peoples' Friendship University of Russia" (RUDN University), Moscow, Russia.

E.N. Nikolaeva, Doctor of Medical Sciences, professor of the Department of Microbiology, Virology, Immunology, Chief Scientific Officer, Research Medical and Dental Institute, A.I. Evdokimov Moscow State University of Medicine and Dentistry of the Ministry of Healthcare of the Russian Federation, Moscow, Russia.

L.Yu. Orekhova, Doctor of Medical Sciences, professor, head. Department of Therapeutic Dentistry First St. Petersburg State Medical University, Saint-Petersburg, Russia.

A.Zh. Petrikas, Doctor of Medical Sciences, professor, head. Department of Therapeutic Dentistry, Tver State Medical University, Tver, Russia.

A.G. Ponomareva, Doctor of Medical Sciences, professor, Leading Researcher, Laboratory of Molecular Biological Research, Research Medical and Dental Institute, A.I. Evdokimov Moscow State University of Medicine and Dentistry of the Ministry of Healthcare of the Russian Federation, Moscow, Russia.

O.N. Risovannaya, Doctor of Medical Sciences, Professor of the Department of Dentistry, "Kuban State Medical University" of the Ministry of Health of the Russian Federation. Ministry of Health of Russia, Krasnodar, Russia.

A.V. Silin, Doctor of Medical Sciences, professor, head. Department of General Dentistry North-West State Medical University named after I. I. Mechnikov", Saint-Petersburg, Russia.

Guest reviewers:

I.I. Babichenko, Doctor of Medical Sciences, Head of the Laboratory of Pathological Anatomy, "Central Research Institute of Dentistry and Maxillofacial Surgery", doctor of the highest qualification category in the specialty "Pathological anatomy", Moscow, Russia

S.Yu. Ivanov, Doctor of Medical Sciences, Professor, Corresponding Member of the Russian Academy of Sciences, Head of the Department of Faculty Surgical Dentistry with a Course in Implantology, I.M. Sechenov First Moscow State Medical University, Moscow, Russia

V.N. Tsarev, Doctor of Medical Sciences, professor, head. Department of Microbiology, Virology, Immunology, A.I. Evdokimov Moscow State University of Medicine and Dentistry of the Ministry of Healthcare of the Russian Federation, Moscow, Russia.

S.K. Zyryanov, Doctor of Medical Sciences, Professor, Head of the Department of General and Clinical Pharmacology, "Peoples' Friendship University of Russia" (RUDN University), Moscow, Russia

International reviewers:

Camillo D'Arcangelo, Professor, Department of Medical, Oral and Biotechnological Sciences, "Gabriele d'Annunzio" University, Chieti, Italy.

Izzet Yavuz, MSc, PhD, Professor, Pediatric Dentistry Dicle University, Faculty of Dentistry, Turkey.

Andy Euiseung Kim, Professor, Associate dean for academic affair at Dental college of Yonsei university, President of LOC for the 11th IFEA World Endodontic Congress and President of Korean Association of Endodontists, South Korea.

Michael Wolgin, DDS, assistant professor (Centre for Operative Dentistry and Periodontology University of Dental Medicine and Oral Health Danube Private University (DPU), Austria.

Georg Meyer, professor, University Medicine Greifswald, Greifswald, Germany.

Paul M.H. Dummer, BDS, Doctor of Medical Sciences, PhD, Professor, Department of Adult Dental Health Dental School Health, School of Dentistry, Cardiff, UK.

T.P. Skripnikova, Doctor of Medical Sciences professor, Ukrainian Medical Dental Academy, Poltava, Ukraine.

www.endodont.ru

Head of the publishing house: **Andrei Zoryan**

Assistant editor: **Oleg Mordanov**

Design and layout: **Yury Lysak**

THE EDITORIAL BOARD OF THE "ENDODONTICS TODAY" JOURNAL SUPPORTS THE POLICY DIRECTED TO FOLLOW ALL PRINCIPLES OF PUBLISHING ETHICS. ETHICAL RULES AND REGULATIONS ARE ACCORDING TO THE ADOPTED BY THE LEADING INTERNATIONAL SCIENTIFIC PUBLISHING HOUSES.

All incoming materials undergo a mandatory peer review process.

The authors of publications and relevant medical institutions are fully responsible for all the data in the articles and information on new medical technologies. All advertised goods and services have the necessary licenses and certificates, the editors are not responsible for the accuracy of the information published in the advertisement.

THE ISSUE REGISTERED IN THE FEDERAL SERVICE FOR SUPERVISION IN THE SPHERE OF TELECOM, INFORMATION TECHNOLOGIES AND MASS COMMUNICATIONS.

PI No77-7390 dated 02.19.01

© Endodontics Today, 2020

All rights of the authors are protected.

Reprinting of materials without permission of the publisher is not allowed.

Printed at the printing house of Ispo-Print LLC (Moscow).

Installation edition 2000 copies. Negotiable price.

Исследования

Экспериментальное исследование эффективности удаления биокерамического сеплера при повторном эндодонтическом лечении Митронин А.В., Останина Д.А., Митронин Ю.А.	Experimental research of retreatability of root canals filled with bioceramic sealer A.V. Mitronin, D.A. Ostanina, Yu.A. Mitronin	4
Купирование боли после эндодонтического лечения Веткова К.В., Елохина Е.В., Ломиашвили Л.М., Чекина А.В., Горев С.М.	Prevention and management of pain after endodontic treatment K.V. Vetkova, E.V. Elochina, L.M. Lomiashvili, A.V. Chekina, S.M. Gorev	10
Феномен чувствительности дентальной пульпы при формировании постоянных зубов Петрикас А.Ж., Летуновская С.А., Честных Е.В., Медвеев Д.В., Зиньковская Е.П., Ларичкин И.О., Куликова К.В.	The phenomenon of dental pulp sensitivity in the formation of permanent teeth A.Zh. Petrikas, S.A. Letunovskaya, E.V. Chestnykh, D.V. Medveev, E.P. Zin'kovskaya, I.O. Larichkin, K.V. Kulikova	14
Спектроскопия высокого разрешения ЯМР ¹ Н ротовой жидкости молодых пациентов с клиновидными дефектами зубов Митронин А.В., Сребная Е.А., Привалов В.И., Прокопов А.А.	High resolution- ¹ H NMR spectroscopy of oral liquid in young patients with wedge-shaped lesions A.V. Mitronin, E.A. Srebnaya, V.I. Privalov, A.A. Prokopov	20

Обзоры

Актуальность применения хлоргексидина в адгезивном протоколе в девитальных зубах Хабадзе З.С., Шерозия М.Г., Генералова Ю.А., Недашковский А.А., Негорелова Я.А.	The relevance applying in the adhesive protocol in devital teeth Z.S. Khabadze, V.S. Shubaeva, Yu.A. Generalova, A.A. Nedashkovsky, M.G. Sherozia, Ya.A. Negorelova	26
WaveOne Gold Reciprocating Instruments in Clinical Practice (Part 1) Peet van der Vyver, Martin Vorster		32

Анализ бактерицидного действия гипохлорита натрия и хлоргексидина на резистентные микроорганизмы биопленки (E. Faecalis, C. Albicans). Хабадзе З.С., Генералова Ю.А., Шубаева В.С., Исмаилов Ф.Р., Шерозия М.Г., Недашковский А.А., Негорелова Я.А.	Analysis of bactericidal effects of sodium hypochlorite and chlorhexidine on resistantbiofilm microorganisms (E. Faecalis, C. Albicans). Z.S. Khabadze, Yu.A. Generalova, V.S. Shubaeva, F.R. Ismailov, A.A. Nedashkovsky, M.G. Sherozia, Ya.A. Negorelova	36
---	--	----

В помощь практическому врачу

Аппаратурные методики мониторинга стоматологического лечения пациентов с цервикобрахиальгияй Митронин А.В., Болдин А.В., Заушникова Т.С., Кудрявцев Ю.Л., Митерева М.И.	Apparatus methods for monitoring dental treatment of patients with cervicobrachialgia A.V. Mitronin, A.V. Boldin, T.S. Zaushnikova, Yu.L. Kduryavtsev, M.I. Mitereva ¹	44
Оdontогенные осложнения в гайморовой пазухе на фоне хронического пародонтита Генералова Ю.А., Константинова П.С., Али Ашраф, Зорян А.В., Карнаева А.С., Омарова Х.О., Воронов И.А.	Odontogenic complications in the maxillary sinus on the background of chronic periodontitis Yu.A. Generalova, P.S. Konstantinova, Ali Ashraf, A.V. Zoryan, A.S. Karnaeva, Kh.O. Omarova, I.A. Voronov	50
Интенсивность развития соматических и онкозаболеваний детского населения г. Кизляр и г. Хасавюрт Османова Ф.И., Османов И.Н., Косярева Т.Ф.	Intensity of development of somatic diseases of children's population in Kizlyar and Khasavyurt and cancer incidence F.I. Osmanova, I.N. Osmanov, T.F. Kosyрева	58
Использование объемно-стабильной коллагеновой матрицы для коррекции объема мягких тканей Аджиева А.Б., Хабадзе З.С., Ёллыбаев Я.А., Хоссаин Ш.Дж.	Use of a volumetric-stable collagen matrix to correct soft tissue volume A.B. Adzhieva, Z.S. Khabadze, Ya.A. Yollybayev, Sh.J. Hossain	65

Scientific researches

	Experimental research of retreatability of root canals filled with bioceramic sealer A.V. Mitronin, D.A. Ostanina, Yu.A. Mitronin	4
	Prevention and management of pain after endodontic treatment K.V. Vetkova, E.V. Elochina, L.M. Lomiashvili, A.V. Chekina, S.M. Gorev	10
	The phenomenon of dental pulp sensitivity in the formation of permanent teeth A.Zh. Petrikas, S.A. Letunovskaya, E.V. Chestnykh, D.V. Medveev, E.P. Zin'kovskaya, I.O. Larichkin, K.V. Kulikova	14
	High resolution- ¹ H NMR spectroscopy of oral liquid in young patients with wedge-shaped lesions A.V. Mitronin, E.A. Srebnaya, V.I. Privalov, A.A. Prokopov	20

Reviews

	The relevance applying in the adhesive protocol in devital teeth Z.S. Khabadze, V.S. Shubaeva, Yu.A. Generalova, A.A. Nedashkovsky, M.G. Sherozia, Ya.A. Negorelova	26
--	---	----

Экспериментальное исследование эффективности удаления биокерамического сильера при повторном эндодонтическом лечении

© Митронин А.В., Останина Д.А., Митронин Ю.А.

Федеральное государственное бюджетное образовательное учреждение высшего образования «Московский государственный медико-стоматологический университет имени А.И. Евдокимова» Министерства Здравоохранения Российской Федерации, Москва, Россия

Резюме:

Цель. Определить наиболее эффективный алгоритм удаления биокерамического сильера TotalFill BC Sealer (FKG, Switzerland) при повтором эндодонтическом лечении, основываясь на данных оценки остаточного пломбировочного материала на стенках дентина корня, восстановления рабочей длины и апикальной проходимости корневых каналов.

Материалы и методы. Тридцать удаленных резцов верхней челюсти были обтурированы с использованием методики одного штифта и биокерамического сильера TotalFill BC Sealer (FKG, Switzerland) и случайным образом распределены на 6 групп согласно используемой методике перелечивания. Исследуемые образцы сканировались на микро-КТ томографе до и после проведения процедуры распломбирования корневых каналов для определения объема остаточного пломбировочного материала на стенках корневого дентина. Статистический анализ данных проводили с помощью теста Краскела–Уоллиса при уровне значимости $p < 0,05$.

Результаты. Ни один инструментальный протокол повторного эндодонтического лечения не позволил удалить весь обтурационный материал из просвета корневых каналов. Различия в снижении общего объема процентного содержания пломбировочного материала было статистически значимым ($p < 0,05$) между группами с применением и без применения ультразвуковой или звуковой обработки в протоколе перелечивания.

Выводы. Наилучшие результаты перелечивания были выявлены в группе с применением алгоритма D-Race + XP-endo Shaper + XP-Endo Finisher R + УЗ (3,0 Вт), согласно которым эффективность удаления пломбировочного материала составила более 92%.

Ключевые слова: биокерамический сильер, перелечивание, микро-КТ.

Статья поступила: 17.08.2020; **исправлена:** 25.10.2020; **принята:** 26.10.2020.

Конфликт интересов: Авторы декларируют отсутствие конфликта интересов.

Для цитирования: Митронин А.В., Останина Д.А., Митронин Ю.А. Экспериментальное исследование эффективности удаления биокерамического сильера при повторном эндодонтическом лечении. Эндодонтия today. 2020; 18(4):4-9. DOI: 10.36377/1683-2981-2020-18-4-4-9.

Experimental research of retreatability of root canals filled with bioceramic sealer

© A.V. Mitronin, D.A. Ostanina, Yu.A. Mitronin

A.I. Yevdokimov Moscow State University of Medicine and Dentistry, Moscow, Russia

Abstract:

Aim. This study aimed to determine the residual filling material and the reestablishment of working length and apical patency after retreatment of TotalFill® BC Sealer.

Materials and methods. Thirty maxillary incisors were used in a single cone obturation technique with TotalFill BC Sealer (FKG, Switzerland) and randomly divided into 6 groups according to the retreatment technique. The samples were scanned by micro-CT before and after retreatment in order to evaluate the residual filling material on the root dentin walls. Data were analyzed statistically with the Kruskal–Wallis tests ($p < 0.05$).

Results. No instrumental protocol was able to remove all obturation material from the root canals. The differences in reduction in the total volume of filling material percentage were statistically significant ($p < 0.05$) among groups with and without ultrasound or sound activation in retreatment protocol.

Conclusions. The most effective root canal retreatment was determined with D-Race + XP-endo Shaper + XP-Endo Finisher R + US (3.0 W) protocol; it was found that the efficiency of filling material removal was more than 92%.

Keywords: bioceramic sealer, retreatment, micro-CT.

Received: 17.08.2020; **revised:** 25.10.2020; **accepted:** 26.10.2020.

Conflict of interests: The authors declare no conflict of interests.

For citation: A.V. Mitronin, D.A. Ostanina, Yu.A. Mitronin. Experimental research of retreatability of root canals filled with bioceramic sealer. Endodontics today. 2020; 18(4):4-9. DOI: 10.36377/1683-2981-2020-18-4-4-9.

ВВЕДЕНИЕ

Ведущим этиологическим фактором развития болезней пульпы и периапикальных тканей являются мицерогенезы и продукты их жизнедеятельности [1,2]. Доказано, что микрофлора корневых каналов организована в биопленки, что повышает устойчивость эндодонтической флоры к антимикробным препаратам [3]. Целью эндодонтического лечения является устранение инфекционного патогена из системы корневых каналов и предотвращение ее повторного инфицирования путем гомогенной обтурации внутрикорневого пространства зуба. Данные микробиологической диагностики свидетельствуют о значительном снижении интенсивности микробной обсемененности системы корневых каналов после хемо-механической обработки, однако, 40–60% корневых каналов остаются инфицированными, что может стать причиной развития осложнений в долгосрочной перспективе [2,4,5]. Таким образом, качественная обтурация системы корневых каналов играет важную роль в борьбе с эндодонтической инфекцией, инактивируя оставшиеся бактерии и предотвращая повторное инфицирование корневого канала [3].

Выбор метода обтурации корневых каналов зависит от клинических показаний, навыков врача и оснащенности лечебного учреждения. Наиболее распространенными являются различные методики пломбирования системы корневых каналов гуттаперчей с использованием силера. В современных методиках пломбирования силеру отводится роль связующего агента между гуттаперчевыми штифтами и стенками корневых каналов; он также заполняет боковые канальцы, ответвления корневой системы [6]. Известно, что современные эндодонтические герметики противостоят микробному консорциуму системы корневых каналов. В настоящее время научно-практический интерес представляют биокерамические силеры, которые с недавнего времени применяются при обтурации корневых каналов и имеют определенные преимущества по сравнению с широко используемыми эпоксидными герметиками. Биокерамические силеры становятся все более популярными благодаря их щелочному pH, высокой биосовместимости, биологической активности, нетоксичности, стабильности цементной матрицы, хорошим герметизирующими свойствам и способности увеличивать прочность корня после гомогенной обтурации [5, 7, 8]. Биокерамикой последнего поколения является готовый к использованию биокерамический материал для трехмерной обтурации корневых каналов – TotalFill BC SealerTM (FKG Dentaire SA, La Choux-de-Fonds, Switzerland), который обладает определенными преимуществами по сравнению с другими силерами одноименной группы и представлен в виде готовой пасты в шприце. В отличие от традиционных силеров, TotalFill[®] использует естественную влажную среду дентинных канальцев корня для окончательного отверждения. По мере полимеризации, гидрофильный силер формирует гидроксиапатит

и химически прикрепляется как к дентину, так и к биокерамическим штифтам (TotalFill[®] BC pointsTM), а также не дает усадки. Благодаря своему высокощелочному уровню pH, в процессе полимеризации BC sealer оказывает антимикробное действие на эндодонтическую флору [9,10].

Вместе с тем, высокая степень сцепления силера со стенками дентина и его твердость при схватывании могут препятствовать эффективному удалению цемента при повторном эндодонтическом лечении. Установлено, что остатки пломбировочного материала в системе корневых каналов образуют механический барьер между ирригантами и микробной флокулой труднодоступных участков внутрикорневого пространства, что снижает вероятность клинического успеха при перелечивании, а извлечение материала из апикальной части повышает эффективность терапии [8,9].

Однако, на сегодняшний день остается малоизученная возможность проведения повторного эндодонтического лечения корневых каналов, ранее обтурированных новым биокерамическим силером TotalFill BC SealerTM (FKG Dentaire SA, La Choux-de-Fonds, Switzerland), что определяет целесообразность проводимого исследования.

Кроме того, крайне важным для клинической практики остается поиск наиболее эффективного алгоритма инструментальной обработки корневых каналов при перелечивании. Нулевая гипотеза проводимого исследования заключается в отсутствии различий в эффективности удаления биокерамического силера различными эндодонтическими системами.

ЦЕЛЬ ИССЛЕДОВАНИЯ

Определить наиболее эффективный алгоритм удаления биокерамического силера TotalFill BC Sealer (FKG, Switzerland) при повтором эндодонтическом лечении, основываясь на данных оценки остаточного пломбировочного материала на стенах дентина корня, восстановления рабочей длины и апикальной проходимости корневых каналов.

МАТЕРИАЛ И МЕТОДЫ ИССЛЕДОВАНИЯ

Подготовка образцов для исследования

Для исследования были отобраны тридцать удаленных резцов верхней челюсти человека с прямыми корнями, полностью сформированными верхушками и подтвержденной апикальной проходимостью. Было выполнено диагностическое рентгенологическое исследование для исключения зубов, которые ранее подвергались эндодонтическому лечению и/или имеют внутрикорневую резорбцию. Всем образцам проводилась резекция коронковой части зуба алмазным бором с целью стандартизации длины корня. Длина всех корневых каналов составила 12 мм. Проходимость апикальных отверстий была подтверждена с помощью К-файла №10 (FKG Dentaire SA, Switzerland) с использованием операционного микроскопа (Carl Caps SOM, Germany). Зубы оставались погруженными в физиологический раствор до начала эксперимента.

Хемо-механическая обработка корневых каналов

Рабочая длина корневого канала определялась по заранее определенному апикальному отверстию на уровне 12 мм, из которой вычитали 1 мм. Следовательно, рабочая длина всех корневых каналов составила 11 мм. Препарирование корневых каналов было выполнено системой iRaCe (FKG Dentaire SA, Switzerland) с использованием эндодонтического мотора Root ZX (FKG Dentaire SA, Switzerland) со скоростью 600 об./мин., торт 1,5 Нсм. Все образцы были механически обработаны в следующей последовательности: 15.06, 25.04, 30.04 на полную рабочую длину. Для промывания корневых каналов в процессе их формирования использовали 1 мл 3% р-ра NaOCl между каждым эндодонтическим файлом. При окончательной ирригации корневые каналы промывались 1 мл 3% р-ра NaOCl и 1 мл 17% EDTA в течение 1 минуты, затем 5 мл 3% р-ра NaOCl с помощью пластикового шприца с эндодонтической иглой 27 G. Корневые каналы были высушены с помощью бумажных штифтов, затем для каждого образца был подобран и припасован гуттаперчевый мастер-штифт.

Лабораторный анализ образцов методом цифровой микрокомпьютерной томографии (микро-ТК) после первичного препарирования корневых каналов

Каждый образец сканировали дважды: после первично проведенной хемо-механической обработки корневых каналов с целью расчёта объема корневого канала, а также после распломбирования корневых каналов для определения объема оставшегося пломбировочного материала на стенках корневого дентина. Каждый образец сканировали на базе СПБГЭТУ «ЛЭТИ» с помощью настольного микрофокусного рентгеновского томографа с размером вокселя 133 мкм при напряжении источника 115 кВ и токе 100 мА. Использовался шаг 0,9°, число проекций 400. Каждое изображение было собрано для реконструкции данных с помощью MicroCT (версия 1.0.8.). Для выделения области зуба на каждом срезе была применена программа ImageProcessing2. Площадь корневого канала после его препарирования была рассчитана на всех срезах. Объем корневого канала рассчитывали по формуле: площадь корневого канала для каждого среза × высота вокселя. Все вычисления были произведены с помощью вышеупомянутого ПО.

Обтурация корневых каналов

Корневые каналы всех образцов были обтурированы по методике «силера и одного штифта» с использованием биокерамического герметика TotalFill BC Sealer (FKG Dentaire SA, Switzerland). Готовый к использованию силер вводили в корневой канал из шприца через инъекционный наконечник, затем в корневой канал вводили гуттаперчевый мастер-штифт и выполняли возвратно-поступательные движения мастер-штифтом с целью заполнения герметиком всего внутрикорневого пространства. Гуттаперчевые штифты были отрезаны на уровне отверстия с помощью термоплаггера. Полость доступа всех образцов была временно герметично закрыта с помощью Ionosit Baseline (DMG, Germany), затем образцы помещали во влажную среду при 37°C в течение 24 часов для окончательного отверждения силера.

Распломбирование корневых каналов и повторная эндодонтическая обработка

Зубы были рандомно распределены на две группы ($n = 15$) в соответствии с используемой инструмен-

тальной методикой перелечивания (1) и (2), а затем каждая группа была дополнительно разделена на подгруппы: (А) – без применения ультразвукового (УЗ) или звукового (3) озвучивания раствора ирригента; (Б) – с использованием ультразвуковой активации раствора; (В) – с использованием звуковой ирригации раствора.

1А – D-Race + XP-endo Shaper + XP-Endo Finisher R;

1Б – D-Race +XP-endo Shaper + XP-Endo Finisher R + УЗ;

1В – D-Race +XP-endo Shaper + XP-Endo Finisher R + EndoActivator;

2А – ProTaper Universal Retreatment;

2Б – ProTaper Universal Retreatment + УЗ;

3В – ProTaper Universal Retreatment + EndoActivator.

Для промывания корневых каналов в процессе их повторной эндодонтической обработки использовали 1 мл 3% р-ра NaOCl между каждым эндодонтическим файлом. В определенных экспериментальных группах (1Б и 2Б) каждая новая порция ирригента сопровождалась ультразвуковым озвучиванием раствора с помощью аппарата Пьеон Мастер 700 (EMS, Switzerland) с функцией регулировки мощности от 0 до 12 Вт и частотой УЗ колебаний 28кГц. Для проведения процедуры применялся запрограммированный режим «Эндо», имеющий пониженную мощность УЗ колебаний от 0 до 6 Вт (в эксперименте был выбран режим – W3,0). Для озвучивания раствора ирригента применялась гладкая УЗ насадка Endo soft Esi, не изменяющая формы в процессе лечения. В экспериментальных группах 1В и 2В ирригация сопровождалась звуковой активацией раствора с помощью системы EndoActivator (Dentsply Maillefer, Switzerland) и размером пластиковой насадки medium (25.04). Время озвучивания раствора ирригента между эндодонтическими файлами составляло 30 сек в каждом сеансе. При окончательной ирригации корневые каналы промывались 1 мл 3% р-ра NaOCl и 1 мл 17% EDTA в течение 1 минуты, затем 5 мл 3% р-ра NaOCl с помощью пластикового шприца с эндодонтической иглой 27 G и общим временем озвучивания в несколько сеансов в течение 5 минут. В процессе повторного эндодонтического лечения была проведена оценка восстановления рабочей длины корневого канала и апикальной проходимости.

Лабораторный анализ образцов методом цифровой микрокомпьютерной томографии (микро-ТК) и сканирующей электронной микроскопии (СЭМ) после распломбирования корневых каналов

Исследуемые образцы после проведения процедуры распломбирования корневых каналов сканировались на микро-КТ томографе во второй раз при аналогичных параметрах. Остаточный пломбировочный материал измеряли на всем протяжении корневых каналов. Площадь и объем корневого канала после удаления корневой пломбы также были рассчитаны для всех срезов в условных единицах (у.е.).

Статистический анализ

Нормальность распределения данных была определена с помощью теста Шапиро-Уилка. Данные статистических измерений были выражены в виде среднего значения, стандартного отклонения и в процентах. Статистический анализ данных проводили с помощью непараметрического дисперсионного анализа Краскела-Уоллиса для определения статистически значимой разницы между исследуемыми группами с последующим попарным множественным сравнением при уровне значимости $p < 0,05$. Статисти-

ческие расчеты были выполнены с использованием программ SPSS версия 22 (IBM Corp., New York, USA) и Jamovi версия 1.1.9.

РЕЗУЛЬТАТЫ ИССЛЕДОВАНИЯ

Результаты исследования объемов остаточного обтурационного материала на стенах корневых каналов, восстановления рабочей длины и апикальной проходимости корневых каналов, представлены в таблицах 1 и 2 соответственно. Все исследуемые образцы были сканированы с помощью микро-КТ томографа, но только наиболее репрезентативные изображения представлены на рисунках 1 и 2.



Рис. 1. Трехмерная реконструкция репрезентативного образца до пломбирования корневого канала и после повторного эндодонтического лечения (группа 1A); отмечается наличие оставшегося цемента в просвете корневого канала в областях, недоступных для никель-титановых инструментов.

Fig. 1. Tridimensional reconstructions of representative sample before obturation and after retreatment (group 1A); the presence of residual cement on the root canal walls in areas inaccessible to nickel-titanium instruments is noted.

Таблица 1. Анализ результатов микро-КТ исследования; объем корневых каналов до и после перелечивания.

Table 1. Analysis of micro-CT research; root canal volume before and after retreatment procedures.

Группа / объем КК	1A M ± m	1Б M ± m	1В M ± m	2A M ± m	2Б M ± m	2В M ± m	p
Объем корневого канала после первичной хемо-механической обработки (у.е.)							
Общий	4.47 ± 1.07	5.34 ± 1.77	4.00 ± 3.59	5.88 ± 2.54	4.56 ± 1.78	5.94 ± 4.06	<i>p = 0.079</i>
Коронковая треть	2.87 ± 1.27	2.26 ± 1.98	2.09 ± 1.43	3.09 ± 1.77	2.17 ± 1.97	2.45 ± 2.15	<i>p = 0.067</i>
Средняя треть	1.23 ± 0.67	1.88 ± 1.17	1.51 ± 2.87	2.11 ± 0.57	1.74 ± 0.89	1.89 ± 1.67	<i>p = 0.189</i>
Апикальная треть	0.37 ± 0.89	1.20 ± 0.74	0.22 ± 1.37	0.68 ± 0.32	0.65 ± 1.07	1.60 ± 1.89	<i>p = 0.061</i>
Объем корневого канала после удаления обтурационного материала (у.е.)							
Общий	4.22 ± 0.67	5.28 ± 0.83	3.92 ± 1.64	6.35 ± 1.72	5.97 ± 1.60	6.78 ± 2.89	<i>p = 0.046</i>
Коронковая треть	1.93 ± 0.65	2.08 ± 1.36	1.88 ± 0.39	2.68 ± 0.96	2.97 ± 0.85	2.11 ± 1.87	<i>p = 0.052</i>
Средняя треть	1.08 ± 0.77	1.69 ± 0.92	1.49 ± 0.44	2.48 ± 1.23	2.05 ± 0.39	2.22 ± 0.77	<i>p = 0.063</i>
Апикальная треть	1.22 ± 0.21	1.51 ± 0.34	0.55 ± 0.69	1.19 ± 0.92	0.95 ± 0.53	1.45 ± 0.67	<i>p = 0.021</i>
Объем остаточного пломбировочного материала на стенах корневого дентина							
Общий, у.е.	1.11 ± 0.67	0,41 ± 0.21	0,49 ± 0.45	1,24 ± 1.16	0,70 ± 0.64	0,73 ± 0.22	<i>p = 0.049</i>
Общий, %	73,70	92,23	87,50	80,47	89,67	87,77	

* Если принять общий объем зуба за 100 у.е., тогда для первой томограммы (рисунок 2, А и Б) объем канала равен 4.4 у.е., для второй томограммы (рисунок 2, В и Г) объем корневого канала равен 4.22 у.е.; объем оставшегося пломбировочного материала на стенах корневого дентина равен 0.97 у.е.

Ни один инструментальный протокол повторного эндодонтического лечения не позволил удалить весь обтурационный материал из просвета корневых ка-

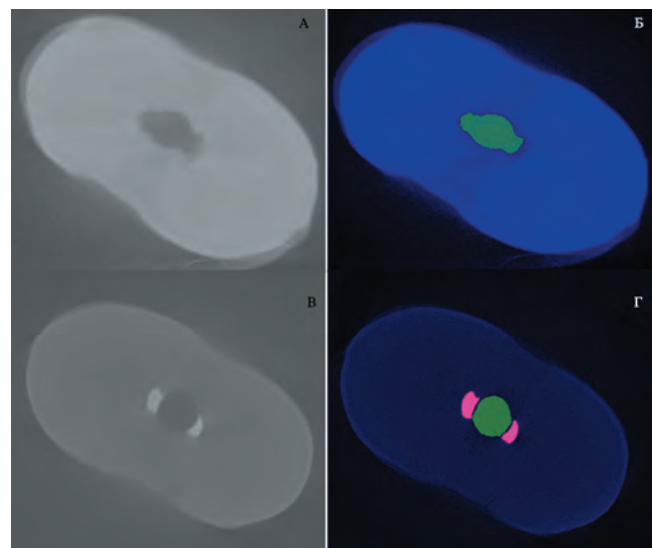


Рис. 2. Микро-КТ изображения поперечных срезов зуба (группа 1А); А – после хемо-механической обработки корневого канала; Б – просвет корневого канала выделен зеленым цветом; В – после повторного эндодонтического лечения; Г – просвет корневого канала выделен зеленым цветом, области увеличенной плотности отмечены розовым цветом.

Fig. 2. Cross-sections of micro-CT scan images (group 1A); A- sample images after chemo-mechanical root canal treatment; Б – root canal highlighted in green; В – sample images after retreatment; Г – root canal highlighted in green, areas of increased density are marked in pink.

налов. Различия в снижении общего объема процентного содержания пломбировочного материала было статистически значимым ($p < 0.05$) между группами с применением и без применения ультразвуковой или звуковой обработки в протоколе перелечивания. Было выявлено достоверно меньшее количество остаточного пломбировочного материала в системе корневых каналов в группах с применением активации ирригационного раствора, однако, эффективность очистки стенок дентина корня была различной в группах с ультразвуковой и звуковой ирригацией ($p < 0.05$). Наилучшие результаты перелечивания были выявлены в группе с применением алгоритма D-Race + XP-endo Shaper + XP-Endo Finisher R + УЗ (3,0 Вт), согласно которым эффективность удаления пломбировочного материала составила более 92% (таблица 1).

При оценке восстановления рабочей длины корневых каналов и апикальной проходимости была определена статистически значимая разница между исследуемыми группами с применением и без применения активации ирригационного раствора ($p < 0.05$) (Таблица 2). Рабочая длина корневых каналов и апикальная проходимость были восстановлены во всех исследуемых образцах (100%) в группах 1Б, 1В и 2Б, 2В. Восстановление апикальной проходимости было достигнуто в 80% случаев в экспериментальной группе XP-ENDO без применения активации ирриганта, в то время как при применении озвучивания ирригационного раствора в группах 1Б и 1В апикальная проходимость была восстановлена в 100% случаев. Несмотря на то, что рабочая длина корневых каналов была достигнута в 80% случаев в группе 2А, апикальная проходимость была восстановлена только в 40% случаев, что значительно отличалось от результатов в других исследуемых группах ($p < 0.0001$).

ОБСУЖДЕНИЕ РЕЗУЛЬТАТОВ ИССЛЕДОВАНИЯ

На основании проведенных экспериментальных исследований нулевая гипотеза (отсутствие различий в эффективности удаления биокерамического силера различными эндодонтическими системами) была отвергнута на уровне значимости $p = 0.05$, поскольку были определены различия в процентном содержании остаточного обтурационного материала на стенках корневых каналов после проведения повторного эндодонтического лечения различными эндодонтическими системами и методами активации ирриганта, а также в эффективности достижения апикальной проходимости и восстановлении рабочей длины корневых каналов зуба.

Цифровая микрокомпьютерная томография позволила изучить объем остаточного пломбировочного материала после проведения повторного эндодонтического лечения, а также возможность восстановления рабочей длины и апикальной проходимости после удаления TotalFill BC, используемого в технике обтурации

Таблица 2. Результаты оценки восстановления рабочей длины и апикальной проходимости корневых каналов после повторного эндодонтического лечения.

Table 2. Ability to regain patency and re-establish working length during retreatment.

	1А (%)	1Б (%)	1В (%)	2А (%)	2Б (%)	2В (%)
Восстановление рабочей длины	100	100	100	80	100	100
Восстановление апикальной проходимости	80	100	100	40	100	100

«силера и одного штифта». Экспериментальные образцы удаленных зубов, которые были рандомно отобраны для настоящего исследования, имели один корень и один корневой канал, который отчетливо прослеживался на диагностической рентгенограмме на всем протяжении от устья до апикального отверстия корня зуба. Корневые каналы резцов верхней челюсти, как правило, не имеют кривизны, что позволило максимально стандартизировать проводимое исследование. Кроме того, начальный объем корневых каналов после первичной хемо-механической обработки статистически не отличался между экспериментальными группами в коронковой, средней и апикальной третях корней ($p > 0.05$). Каждый корневой канал изучали индивидуально в два этапа без разрушения образца, что позволяло проводить межгрупповые и внутригрупповые сравнения.

В настоящем исследовании у 100% образцов, запломбированных биокерамическим герметиком TotalFill BC Sealer, была восстановлена рабочая длина корневых каналов и апикальная проходимость, при условии применения ультразвуковой или звуковой активации ирригационных растворов. Наши результаты сопоставимы с результатами исследования Hess и соавт., в которых проходимость корневых каналов была восстановлена только у 80% образцов [11]. В нашем исследовании также было доказано, что применение систем для озвучивания ирригационных растворов в протоколе перелечивания значительно увеличивает шансы успеха в достижении апикальной проходимости на 20-40%.

Следует отметить, что применение двух эндодонтических систем D-Race (FKG Dentaire SA, Switzerland) и ProTaper Universal Retreatment (Dentsply Maillefer, Switzerland) оказалось в равной степени эффективным при повторном эндодонтическом лечении. Однако, при применении системы ProTaper Universal Retreatment было отмечено значительное перерасширение просвета корневого канала при условии сохранения остаточного пломбировочного материала в недоступных для инструмента областях, что может отрицательно сказать на прочностных механических характеристиках корневого дентина и снижении периода жизнеспособности и функции зуба. Кроме того, применение системы XP-ENDO Shaper и XP-ENDO FINISHER R, обладающей эффектом памяти формы, значительно увеличивают шансы на успех при перелечивании, даже при отсутствии звуковой или ультразвуковой активации ирригационного раствора [12]. При вращении он приобретает форму веретена, которое при движении по корневому каналу заполняет весь его объем, увеличиваясь в диаметре до 6 мм, или 100-кратно по сравнению со стандартным инструментом того же самого размера в широких каналах. Таким образом при вращении он очищает практически всю площадь стенок корневого канала.

Успешное удаление биокерамического силера требует терпения врача-стоматолога, дополнительных затрат усилий и времени по сравнению с распломбировкой обычных герметиков. Однако, наилучшие результаты перелечивания могут быть достигнуты при использовании эндодонтической системы XP-ENDO в сочетании с ультразвуковой активацией ирригационного раствора.

ВЫВОДЫ

Протокол повторного эндодонтического лечения системами D-Race в сочетании с инструментами группы XP-ENDO и ProTaper Universal Retreatment имеют аналогичную эффективность при удалении обтурационного материала из прямых корневых каналов. Несмотря на

то, что остаточный пломбировочный материал наблюдался во всех образцах независимо от используемого алгоритма повторного эндодонтического лечения (100%), эффективность удаления остатков биокерамического силиера была выше на 10% и 5% при использовании дополнительных методов очистки системы корневых каналов – ультразвуковой и звуковой активации ирригационных растворов, соответственно. Наибольшая эффективность очистки системы корневых кан-

лов, обтурированных биокерамическим силиером, была достигнута при использовании инструментов группы XP-ENDO и пассивного ультрасонирования и составила 92%, что на 3% больше, чем при использовании алгоритмов перелечивания другими эндодонтическими системами. Восстановление рабочей длины и апикальной проходимости корневых каналов достигается в 100% случаев при применение любой из эндодонтических систем в сочетании с ультразвуковой ирригацией.

СПИСОК ЛИТЕРАТУРЫ:

1. Дмитриева Л.А. Проблема инфицирования эндодонта: современный взгляд на микробную биопленку. Эндодонтия today. 2010; 1: 12-15.
2. Митронин А.В. Особенности контаминации экосистемы корневых каналов на этапах эндодонтического лечения острого периодонтита. Эндодонтия today. 2008;1: 26-32.
3. Царев В.Н, Митронин А.В., Галиева Д.Т., Зиновьева А.И., Попова В.М. и др. Микробный пейзаж содержимого пародонтальных карманов и корневых каналов у пациентов с эндодонтико-пародонтальными поражениями. Стоматология. 2016; 6 (2):37-38.
4. Волков Д.П., Митронин А.В. К вопросу о профилактике осложнений эндо-дентического лечения апикального периодонтита Dental Forum. 2015; 59(4): 19–20.
5. Митронин А.В., Попова В.М., Дашкова О.П., Галиева Д.Т., Белоэрова Н.Н. Отдалённые результаты эндодонтического лечения при эндодонтико-пародонтальных поражениях. Эндодонтия today. 2017;2: 37-40.
6. Кречина, Е.К. Стимуляция репаративного дентиногенеза под влиянием различных биоматериалов в эксперименте. Е.К. Кречина, З.У. Абдурахманова, А.В. Волков, А.К. Гаджиев Стоматология. 2018;2: 16-19.
7. Митронин А.В., Собкина Н.А., Помешчикова Н.И., Дмитриева Л.А. Использование компьютерной микротомографии для оценки качества эндодонтической обработки зуба при использовании современных инструментов. Эндодонтия today. 2018; 1: .22-26.
8. Ricucci D. Vital pulp therapy: histopathology and histobacteriology-based guidelines to treat teeth with deep caries and pulp exposure D. Ricucci, J.F. Siqueira, Y. Li, F.R. Tay Journal of Dentistry. 2019; 86: 41-52.
9. Candeiro G.T., Moura-Netto C., D'Almeida-Couto R.S., Azambuja-Júnior N., et al. Cytotoxicity, genotoxicity and antibacterial effectiveness of a bioceramic endodontic sealer. Int Endod J. 2015. Aug17.
10. Kim R.J., Shin J.H. Cytotoxicity of a novel mineral trioxide aggregate-based root canal sealer. Dent Mater J. 2014; 33: 313- 318.
11. Hess D., Solomon E., Spears R., He J. Retreatability of a bioceramic root canal sealing material. J Endod. 2011; 37:v1547- 1549.
12. Silva EJ.NL., Belladonna F.G. ,ZuoloA.S. ,Rodrigues E., Ehrhardt I.C., Souza E.M., De-Deus G. Effectiveness of XP-endo finisher and XP-endo finisher R in removing root filling remnants: a micro- CT study. Int Endod J. 2018; 51: 86-91.
7. Mitronin A.V., Sobkina N.A., Pomechikova N.I., Dmitrieva L.A. The use of computer microtomography to assess the quality of endodontic tooth processing using modern instruments. Endodontics today. 2018; 1: 22-26.
8. Ricucci D. Vital pulp therapy: histopathology and histobacteriology-based guidelines to treat teeth with deep caries and pulp exposure D. Ricucci, J.F. Siqueira, Y. Li, F.R. Tay Journal of Dentistry. 2019; 86: 41-52.
9. Candeiro G.T., Moura-Netto C., D'Almeida-Couto R.S., Azambuja-Júnior N., et al. Cytotoxicity, genotoxicity and antibacterial effectiveness of a bioceramic endodontic sealer. Int Endod J. 2015. Aug17.
10. Kim R.J., Shin J. H. Cytotoxicity of a novel mineral trioxide aggregate-based root canal sealer. Dent Mater J. 2014; 33: 313-318.
11. Hess D., Solomon E., Spears R., He J. Retreatability of a bioceramic root canal sealing material. J Endod. 2011; 37: v1547-1549.
12. Silva EJ.NL., Belladonna F.G. , ZuoloA.S. , Rodrigues E., Ehrhardt I.C., Souza E.M., De-Deus G. Effectiveness of XP-endo finisher and XP-endo finisher R in removing root filling remnants: a micro-CT study. Int Endod J. 2018; 51: 86-91.

REFERENCES:

1. Dmitrieva L.A. Endodont infection problem: modern view on microbial biofilm. Endodontics today. 2010; 1: 12-15.
2. Mitronin A.V. Features of contamination of the root canal ecosystem at the stages of endodontic treatment of acute periodontitis. Endodontics today. 2008; 1: 26-32.
3. Tsarev V.N., Mitronin A.V., Galieva D.T., Zinov'yeva A.I., Popova V.M. et al. Microbial landscape of the contents of periodontal pockets and root canals in patients with endodontic-parodontal lesions. Dentistry. 2016; 6 (2): 37-38.
4. Volkov D.P., Mitronin A.V. On the issue of prevention of complications of endodontic treatment of apical periodontitis Dental Forum. 2015; 59 (4): 19-20.
5. Mitronin A.V., Popova V.M., Dashkova O.P., Galieva D.T., Belozerova N.N. Long-term results of endodontic treatment for endodontic-periodontal lesions. Endodontics today. 2017; 2: 37-40.
6. Kречина, Е.К. Стимуляция репаративного дентиногенеза под влиянием различных биоматериалов в эксперименте. Е.К. Кречина, З.У. Абдурахманова, А.В. Волков, А.К. Гаджиев Стоматология. 2018;2: 16-19.
7. Mitronin A.V., Sobkina N.A., Pomechikova N.I., Dmitrieva L.A. The use of computer microtomography to assess the quality of endodontic tooth processing using modern instruments. Endodontics today. 2018; 1: 22-26.
8. Ricucci D. Vital pulp therapy: histopathology and histobacteriology-based guidelines to treat teeth with deep caries and pulp exposure D. Ricucci, J.F. Siqueira, Y. Li, F.R. Tay Journal of Dentistry. 2019; 86: 41-52.
9. Candeiro G.T., Moura-Netto C., D'Almeida-Couto R.S., Azambuja-Júnior N., et al. Cytotoxicity, genotoxicity and antibacterial effectiveness of a bioceramic endodontic sealer. Int Endod J. 2015. Aug17.
10. Kim R.J., Shin J. H. Cytotoxicity of a novel mineral trioxide aggregate-based root canal sealer. Dent Mater J. 2014; 33: 313-318.
11. Hess D., Solomon E., Spears R., He J. Retreatability of a bioceramic root canal sealing material. J Endod. 2011; 37: v1547-1549.
12. Silva EJ.NL., Belladonna F.G. , ZuoloA.S. , Rodrigues E., Ehrhardt I.C., Souza E.M., De-Deus G. Effectiveness of XP-endo finisher and XP-endo finisher R in removing root filling remnants: a micro-CT study. Int Endod J. 2018; 51: 86-91.

ИНФОРМАЦИЯ ОБ АВТОРАХ:

Митронин А.В. – профессор, доктор медицинских наук, декан стоматологического факультета МГМСУ, заведующий кафедрой, Заслуженный врач РФ; ORCID ID: 0000-0002-3561-6222.

Останина Д.А. – ассистент, аспирант; ORCID ID: 0000-0002-5035-5235.

Митронин Ю.А. – студент, именной стипендия Ученого совета МГМСУ.

Кафедра карIESологии и эндодонтии. Федеральное государственное бюджетное образовательное учреждение высшего образования «Московский государственный медико-стоматологический университет имени А.И. Евдокимова» Министерства Здравоохранения Российской Федерации.

AUTHOR INFORMATION:

Alexander Mitronin – professor, Doctor of Medical Sciences, Dean of the Faculty of Dentistry, Head of the Department, Honored Doctor of Russian Federation; ORCID ID: 0000-0002-3561-6222.

Diana Ostanina – assistant, postgraduate student; ORCID ID: 0000-0002-5035-5235.

Yury Mitronin – student; personal scholarship holder of the Academic Council of Moscow State University of Medicine and Dentistry.

Department of Cariology and Endodontics. A.I. Yevdokimov Moscow State University of Medicine and Dentistry, Moscow, Russia.

Координаты для связи с авторами / Coordinates for communication with authors:
Останина Д.А. / Diana Ostanina, E-mail: dianaostanina@mail.ru

Купирование боли после эндодонтического лечения

© Веткова К.В.¹, Елохина Е.В.¹, Ломиашвили Л.М.¹, Чекина А.В.¹, Горев С.М.²

¹Федеральное государственное бюджетное образовательное учреждение высшего образования «Омский государственный медицинский университет» Министерства здравоохранения Российской Федерации, Омск, Россия

²Центр цифровой стоматологии «Спартамед», Омск, Россия

Резюме:

Цель. Оптимизация лекарственной терапии для купирования боли после эндодонтического лечения.

Материалы и методы. Клиническое исследование, в котором приняло участие 68 пациентов с осложнениями кариеса. В исследовании были использованы методы: клинический, рентгенологический, фармако-эпидемиологический, экспертных оценок, математической статистики.

Результаты. При самолечении зубной боли спектр анальгетиков включал 8 препаратов, из них нестероидных противовоспалительных препаратов – 92,6 %. Гастропатология в анамнезе – 39,7 ± 5,9% пациентов. При обращении к врачу боль у 79,4 ± 5,4% обследуемых. По завершению лечения в 42,6 ± 4,2% случаев назначался анальгетик. Анальгетики при боли после пломбирования каналов принимали 73,5 ± 5,4% пациентов. Связь между «силой» анальгетика и субъективной оценкой его эффективности: $r = +0,31 p = 0,035$.

Выводы. В большинстве случаев выраженность боли до и после эндодонтического вмешательства можно оценить как умеренную. В качестве препарата самопомощи при зубной боли до обращения к специалисту пациенты отдают предпочтение кеторолаку (51,9%). После эндодонтического вмешательства врачи в качестве анальгетика в большинстве случаев назначают ибупрофен (56,4%) или кеторолак (33,3%). При этом часто пациенты не выполняют врачебные назначения и для купирования боли проводят самолечение другими нестероидными противовоспалительными препаратами. Предложена схема назначения анальгетиков для купирования боли после эндодонтического лечения: при болях средней силы – ибупрофен или парацетамол; при выраженных болях – кетопрофен или кеторолак при отсутствии соматической патологии, и кетопрофен при соматической патологии.

Ключевые слова: эндодонтия, боль, воспаление, нестероидные противовоспалительные препараты, побочные эффекты, гастрит, язвенная болезнь.

Статья поступила: 05.09.2020; **исправлена:** 16.11.2020; **принята:** 20.11.2020.

Конфликт интересов: Авторы декларируют отсутствие конфликта интересов.

Для цитирования: Веткова К.В., Елохина Е.В., Ломиашвили Л.М., Чекина А.В., Горев С.М. Купирование боли после эндодонтического лечения. Эндодонтия today. 2020; 18(4):10-13. DOI: 10.36377/1683-2981-2020-18-4-10-13.

Prevention and management of pain after endodontic treatment

© K.V. Vetkova¹, E.V. Elochina¹, L.M. Lomiashvili¹, A.V. Chekina¹, S.M. Gorev²

¹Omsk State Medical University, Omsk, Russia

²Center of digital dentistry "Spartamed", Omsk, Russia

Abstract:

Aim. Medical therapy optimization for the prevention and management of pain after endodontic treatment.

Materials and methods. A clinical study, in which 68 patients with sequelae of dental caries were examined. The following methods were used: clinical method, roentgenological method, pharmacoepidemiological method, expert judgements, mathematical statistics.

Results. A spectrum of analgesics for self-medication of dental pain included 8 medications; 92.6% of which are nonsteroidal anti-inflammatory drugs. Pathology of gastritis in the past medical history was identified in 39.7 ± 5.9% of the patients. Pain was recorded in 79.4 ± 5.4% of the patients. After having finished the treatment analgesic was prescribed in 42.6 ± 4.2% of the cases. Analgesics were taken by 73.5 ± 5.4% of the patients with postendodontic pain. The connection between the analgesic's "strength" and the subjective assessment of its efficacy was identified: $r = +0.31 p = 0.035$.

Conclusions. In most cases pain severity before and after endodontic treatment can be evaluated as moderate. Ketorolac (51,9%) is used as a preferred medication for self-help by the patients with dental pain. Ibuprofen (56,4%) and ketorolac (33,3%) are prescribed by doctors as an analgesic after endodontic treatment in most cases.

However, patients often do not follow doctors' orders and choose other nonsteroidal anti-inflammatory drugs as a self-medication for preventing the pain. A prescription pattern of analgesic drugs for the prevention and management of pain

after endodontic treatment is introduced: for moderate pain – ibuprofen or paracetamol, for severe pain – ketoprofen for the patients with somatic system disorder or ketorolac for the patients without somatic symptom disorder.

Keywords: endodontics, pain, inflammation, nonsteroidal anti-inflammatory drugs, side effects, gastritis, peptic ulcers.

Received: 05.09.2020; **revised:** 16.11.2020; **accepted:** 20.11.2020.

Conflict of interests: The authors declare no conflict of interests.

For citation: K. V. Vetkova, E. V. Elochina, L. M. Lomiashvili, A. V. Chekina, Sergei M. Gorev. Prevention and management of pain after endodontic treatment. Endodontics today. 2020; 18(4):10-13. DOI: 10.36377/1683-2981-2020-18-4-10-13.

АКТУАЛЬНОСТЬ

Возникновение болей после эндодонтического вмешательства является актуальной проблемой современной стоматологии [1,2,3,4,5]. Адекватная терапия боли до сих пор во всем мире представляет трудности как врачебного, так и социального характера. Наличие на фармацевтическом рынке большого количества болеутоляющих средств, обладающих различным механизмом действия, повышает ответственность врача за выбор не только эффективной, но и безопасной лекарственной терапии. Для купирования боли после эндодонтического лечения, проведенного с соблюдением надлежащих протоколов и стандартов, в стоматологической практике применяются нестероидные противовоспалительные средства [6,7]. Но часто, выбор препарата для купирования боли проводится без учета особенностей течения патологического процесса и наличия сопутствующих соматических заболеваний. В настоящее время не существует единого алгоритма назначения анальгетиков для купирования боли после эндодонтического лечения пациентам с учетом наличия у них сопутствующих соматических заболеваний.

ЦЕЛЬ

Оптимизация лекарственной терапии для купирования боли после эндодонтического лечения.

Задачи

1. Оценить выраженность боли до и после эндодонтического вмешательства в динамике.
2. Изучить распространённость выбора анальгетиков и эффективность их использования у пациентов с зубной болью до и после эндодонтического вмешательства.
3. Разработать рекомендации по назначению анальгетиков для купирования боли после эндодонтического лечения пациентам с учётом наличия у них сопутствующих соматических заболеваний.

МАТЕРИАЛЫ И МЕТОДЫ

Нами было проведено рандомизированное проспективное клиническое исследование. Под нашим наблюдением находилось 68 пациентов с осложнениями кариеса: 5,9% -острый апикальный периодонтит, 42,6% – хронический апикальный периодонтит, 42,6% – острый пульпит, 1,5% – хронический пульпит, 7,4% – гангрена пульпы. В анамнезе у пациентов выявлена сопутствующая патология: у 17,6% пациентов – аллергия на различные лекарственные препараты; у 39,7% пациентов отмечалось наличие гастропатологии (гастрит, язвенная болезнь); у 29,4% – кардиопатология. Всем пациентам было проведено эндодонтическое лечение с соблюдением надлежащих протоколов и стандартов. Корневые каналы обрабатывались инструментами системы ProTaper, ирригация осуществлялась 3%

раствором гипохлорита натрия. Каналы были запломбированы гуттаперчей на силере AH-plus методом латеральной конденсации. Следует отметить, что во всех клинических случаях каналы были обтурированы гомогенно до физиологической верхушки. Качество эндодонтического лечения оценивалось рентгенологически. Для сбора исходных и текущих данных было проведено интервьюирование пациентов и врачей по специально разработанным анкетам. Регистрация результатов исследования осуществлялась в различных точках: до обращения к врачу-стоматологу-терапевту; в момент обращения; через 12 часов после эндодонтического лечения; через 24 часа; через 48 часов; через 72 часа; через 4 суток; через 5 суток; через 6 суток; через 7 суток [8,9]. Анализ полученных данных проводился с использованием пакета Statistica-6 и возможностей программы Microsoft Excel. В исследовании были использованы методы: клинический, рентгенологический, фармако-эпидемиологический, экспертных оценок, математической статистики.

РЕЗУЛЬТАТЫ

Результатами проведенного исследования установлено, что на момент обращения к врачу-стоматологу боль испытывали $73,5 \pm 5,4\%$ пациентов. Вместе с тем, обращает на себя внимание, что интенсивность боли, субъективно оценённую, как самим пациентом, так и врачом, можно охарактеризовать, как умеренную. Отмечается наличие прямой корреляционной связи средней степени между самооценкой боли пациентом и оценкой интенсивности боли врачом по выражению лица пациента. Таким образом, оценка интенсивности боли врачом и пациентом совпадает ($p < 0,001$).

Анальгетики принимал только каждый второй пациент, испытывающий боль. Препаратами для самолечения зубной боли до обращения к врачу-стоматологу были: Кеторол, Кетанов, Нурофен, Но-Шпа, Найз, Анальгин, Алка-Зельтцер, Темпалгин [10] (Рис. 1). В большинстве случаев препараты принимались более 2 раз в сутки, длительностью в среднем 3 дня.

После эндодонтического лечения врачи-стоматологи в 42% случаев назначали пациентам обезболивающий препарат. Чаще всего это был ибuproфен и кеторолак. В большинстве случаев препараты назначались с кратностью 2 раза в сутки, курсом 1-5 дней, и только в каждом третьем случае препарат был рекомендован «по требованию».

Фактически боль после пломбирования каналов испытывали $73,5 \pm 5,4\%$ пациентов. Интенсивность боли по субъективной оценке пациентов составляла 4 балла по 10-тибалльной шкале (Рис. 2).

Обращает внимание факт несоответствия назначений врача и фактического приёма лекарственных препаратов пациентами, т.е. пациенты самостоятельно корректируют врачебные назначения (Рис. 1).

Эффективность лекарственной терапии нестериоидными противовоспалительными препаратами в большинстве случаев пациенты характеризовали от «удовлетворительной» до «отличной», только в 6% случаев эффект был оценён как неудовлетворительный. При оценке динамики боли было установлено, что к 5 суткам интенсивность боли оценивалась в районе 1 балла по 10-тибалльной шкале, а к 7 суткам боль полностью исчезала.

На фоне приёма анальгетиков побочные эффекты были зарегистрированы у каждого третьего пациента. В большинстве случаев (94,2%) это были диспепсические расстройства (изжога, отрыжка, чувство давления или распирания в животе и т.д.). Проявление у пациентов нежелательных эффектов на применяемые лекарственные препараты находилось в прямой слабой корреляционной зависимости от длительности приёма препарата ($p = 0,095$). Частота нежелательных эффектов на метамизол натрия (Анальгин) – 40%, на ибупрофен – 33%, на кеторолак – 38%.

На основании проанализированных данных был разработан алгоритм назначения анальгетиков пациентам после эндодонтического лечения с учётом сопутствующей патологии. Пациентам со средней интенсивностью боли вне зависимости от сопутствующей патологии желудочно-кишечного тракта нами предложен ибупрофен (по 200 мг при болях не более 5 таб./день) и ацетаминофен (парацетамол) (по 500 мг при болях, не более 4 таб./день). Пациентам с выраженным болевым синдромом и патологией желудочно-кишечного тракта рекомендован кетопрофен (по 100 мг при болях, не более 3 таб./день), а при отсутствии поражения желудочно-кишечного тракта – кеторолак (по 10 мг при болях, не более 4 таб./день, не более 5 дней) и кетопрофен (по 100 мг при болях, не более 3 таб./день) (Рис. 3).

ОБСУЖДЕНИЯ

Результатами проведенного исследования установлено, что выбор препарата врачами для купирования боли после эндодонтического лечения не всегда проводится в соответствии с особенностями течения патологического процесса у данного пациента и учетом наличия у него сопутствующих соматических заболеваний, особенно таких как, гастрит, язвенная болезнь. Вместе с тем, обращает на себя внимание, что пациенты часто не выполняют врачебные назначения и для купирования боли проводят самолечение другими нестериоидными противовоспалительными препаратами. На фоне приёма анальгетиков у каждого третьего пациента были зарегистрированы побочные эффекты, в большинстве случаев это были диспепсические расстройства. Проявление у пациентов нежелательных эффектов на применяемые лекарственные препараты находилось в прямой слабой корреляционной зависимости от длительности приёма препарата. По результатам исследования были предложены рекомендации по назначению анальгетиков для купирования боли после эндодонтического лечения пациентам с учётом интенсивности боли и наличия у них сопутствующей гастропатологии.

ВЫВОДЫ

1. В большинстве случаев выраженность боли до и после эндодонтического вмешательства можно оценить как умеренную.
2. В качестве препарата самопомощи при зубной боли до обращения к специалисту пациенты

отдают предпочтение кеторолаку (51,9%). После эндодонтического вмешательства врачи в качестве анальгетика в большинстве случаев назначают ибупрофен (56,4%) или кеторолак (33,3%). При этом часто пациенты не выполняют врачебные назначения и для купирования боли

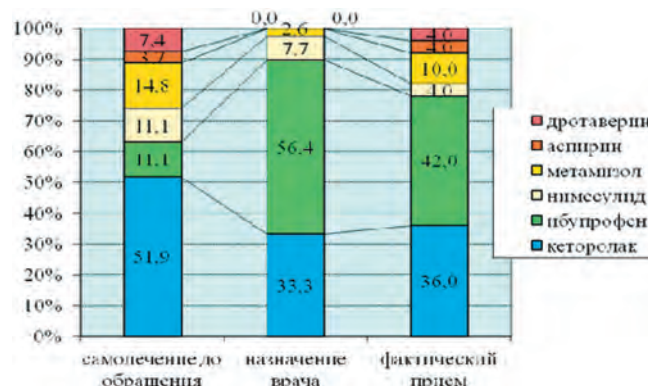


Рис. 1. Перечень принимаемых лекарственных препаратов по поводу зубной боли на различных этапах лечения.

Fig. 1. A list of medications that are used to control dental pain on various treatment stages.

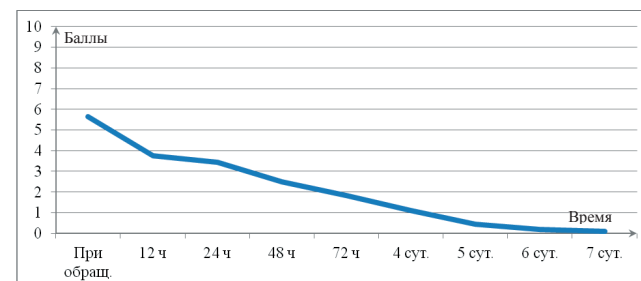


Рис. 2. Динамика интенсивности зубной боли в различных точках исследования.

Fig. 2. Dynamics of pain intensity in various parts of research.



Рис. 3. Алгоритм выбора препарата для купирования боли после эндодонтического лечения с учётом общесоматического статуса.

Fig. 3. The algorithm of choosing medication for the prevention and management of pain after endodontic treatment in accordance to general somatic status.

- проводят самолечение другими нестероидными противовоспалительными препаратами.
3. На основании полученных результатов, предложена наиболее оптимальная схема назначения нестероидных противовоспалительных

препаратов пациентам для купирования боли после эндодонтического лечения с учетом интенсивности боли и наличия у них сопутствующих соматических заболеваний.

СПИСОК ЛИТЕРАТУРЫ:

1. Тё Е.А., Киселева Е.А. Эффективное решение проблемы боли после эндодонтического лечения. Эндодонтия Today, 2013;11(2):21-23.
2. Копьев, Д.А. Ошибки и осложнения в процессе эндодонтического лечения. Простые правила их профилактики. Эндодонтия Today, 2007;2: 59-63.
3. Петрикас, А.Ж. Боль после пломбирования корневых каналов зубов. Новости Dentsply. 2002;7: 51-54.
4. Боровский, Е.В. Ошибки и осложнения эндодонтического лечения. Новости Dentsply. 2003;8: 8-11.
5. Петрикас А.Ж., Горева Л.А., Дубайло М.В., Толстова О.О. Послеоперационная боль при использовании машинных и ручных кононусных инструментов. Эндодонтия Today, 2007; 2: 78-79.
6. Зорян Е.В., Рабинович С.А. Эффективность и безопасность нестероидных противовоспалительных средств. Стоматология для всех. 2012; 58(1): 4-8.
7. Зорян Е.В. Активность и профиль безопасности новых не-стероидных противовоспалительных средств, используемых в стоматологии. Клиническая стоматология, 2000; 16 (4): 30-33.
8. Клиническая фармакология боли: учебное пособие. С.В. Скальский, Д.В. Роскошная, Е.В. Елохина, Л.В. Ступакова. Омск: Издательство Центра МО и ИТ ОмГМА, 2008: 117.
9. Флейшер Г. М. Индексная оценка болевого синдрома в стоматологии: руководство для врачей. Москва: Издательские решения.2019:220c.
10. Страчунский Л.С., Козлов С.Н. Нестероидные противовоспалительные средства: методическое пособие. Смоленск: Смоленская государственная медицинская академия. 2008:54.

REFERENCES:

1. Tyo E.A., Kiseleva E.A. An effective solution to the problem of pain after endodontic treatment. Endodontics Today, 2013; 11 (2): 21-23.
2. Kopiev, D.A. Errors and complications in the process of endodontic treatment. Simple rules for their prevention. Endodontics Today, 2007; 2: 59-63.
3. Petrikas, A.Zh. Pain after filling the root canals of the teeth. Dentsply news. 2002; 7: 51-54.
4. Borovsky, E.V. Errors and complications of endodontic treatment. Dentsply news. 2003; 8: 8-11.
5. Petrikas A.Zh., Goreva L.A., Dubailo M.V., Tolstova O.O. Postoperative pain when using machine and hand conical instruments. Endodontics Today, 2007; 2: 78-79.
6. Zoryan E.V., Rabinovich S.A. Efficacy and safety of non-steroidal anti-inflammatory drugs. Dentistry for everyone. 2012; 58 (1): 4-8.
7. Zoryan E.V. Activity and safety profile of new non-steroidal anti-inflammatory drugs used in dentistry. Clinical Dentistry, 2000; 16 (4): 30-33.
8. Clinical pharmacology of pain: a tutorial. S.V. Skalsky, D.V. Luxurious, E.V. Elokhina, L.V. Stupakov. Omsk: Publishing house of the Center of MO and IT OmGMA, 2008: 117.
9. Fleischer GM Index assessment of pain in dentistry: a guide for doctors. Moscow: Publishing solutions. 2019: 220c.
10. Strachunsky L.S., Kozlov S.N. Non-steroidal anti-inflammatory drugs: a methodological guide. Smolensk: Smolensk State Medical Academy. 2008: 54.

ИНФОРМАЦИЯ ОБ АВТОРАХ:

Веткова К.В.¹ – к.м.н., доцент кафедры терапевтической стоматологии, ORCID ID: 0000-0002-7611-4878.
 Елохина Е.В.¹ – к.м.н., доцент кафедры фармакологии с курсом клинической фармакологии.
 Ломиашвили Л.М.¹ – д.м.н., профессор, зав. кафедрой терапевтической стоматологии.
 Чекина А.В.¹ – к.м.н., доцент кафедры терапевтической стоматологии.
 Горев С.М.² – врач-стоматолог.

¹Федеральное государственное бюджетное образовательное учреждение высшего образования «Омский государственный медицинский университет» Министерства здравоохранения Российской Федерации, Омск, Россия

²Центр цифровой стоматологии «Спартамед», Омск, Россия

AUTHOR INFORMATION:

K.V. Vetkova¹ – Candidate of Medical Science, associate professor of the Department of therapeutic dentistry, ORCID ID: 0000-0002-7611-4878.
 E.V. Elochina¹ – Candidate of Medical Science, associate professor of the Department of pharmacology with the course of clinical pharmacology.
 L.M. Lomiashvili¹ – Doctor of Medical Sciences, Professor, Head of Department of therapeutic dentistry.
 A.V. Chekina¹ – Candidate of Medical Science, associate professor of the Department of therapeutic dentistry.
 S.M. Gorev² – dentist.
¹Omsk State Medical University, Omsk, Russia.
²Center of digital dentistry "Spartamed", Omsk, Russia.

Координаты для связи с авторами / Coordinates for communication with authors:

Веткова К.В. / K.V. Vetkova, E-mail: kira_vetkova@mail.ru

Феномен чувствительности дентальной пульпы при формировании постоянных зубов

© Петрикас А.Ж.¹, Летуновская С.А.², Честных Е.В.¹, Медведев Д.В.¹, Зиньковская Е.П.¹, Ларичкин И.О.¹, Куликова К.В.¹

¹Федеральное государственное бюджетное образовательное учреждение высшего образования
«Тверской государственный медицинский университет» Министерства здравоохранения Российской Федерации,
Тверь, Россия

²Государственное бюджетное учреждение здравоохранения Ярославской области
Клиническая больница имени Семашко, Ярославль, Россия

Резюме:

Цель. Провести сравнительную оценку изменения болевого порога (по показателям электроодонтометрии), рентгенологической ширины корневого канала в области апекса и характера болевого ощущения центральных резцов у детей в возрасте 6,5 – 15 лет.

Материалы и методы. Было исследовано 280 зубов у 280 детей с 6,5 до 15 лет (центральные резцы). Пациенты разделены по возрасту на 5 групп: 1 – 6,5-7 лет; 2 – 7-8 лет; 3 – 9-10 лет; 4 – 11-12 лет; 5 – 13-15 лет. У пациентов проводилась электроодонтометрия (ЭОМ), для измерения порога чувствительности исследуемого зуба, оценивались субъективные ощущения при ЭОМ, и определялась ширина апикальной части корневого канала, по данным внутриротовой прицельной рентгенографии.

Результаты. В работе изучен процесс прорезывания и формирования зубов в динамике с 6,5 до 15 лет в 5 возрастных группах. Изменения электроодонтометрии (ЭОМ) значительны от 140,38 мкА (4,5 года) до 24,38 мкА (15 лет) – средние данные. Прослежена связь между возрастом и шириной корневого канала в области апекса, которая также характеризуется постепенным сужением. Пульповая боль при ЭОМ с возрастом становится более четкой и кратковременной. Корреляция между возрастом и болевым порогом менее выражена (41%), чем между возрастом и шириной апикального канала (72%).

Выводы. Главную роль в чувствительности зуба играют А-дельта и С нервные волокна пульпы. Установлен феномен снижения порога болевой чувствительности постоянных зубов при электроодонтометрии в процессе формировании корня за счет реакции С-волокон.

Ключевые слова: электроодонтометрия, А-дельта и С нервные волокна.

Статья поступила: 16.09.2020; **исправлена:** 23.11.2020; **принята:** 01.12.2020.

Конфликт интересов: Авторы декларируют отсутствие конфликта интересов.

Для цитирования: Петрикас А.Ж., Летуновская С.А., Честных Е.В., Медведев Д.В., Зиньковская Е.П., Ларичкин И.О., Куликова К.В. Феномен чувствительности дентальной пульпы при формировании постоянных зубов. Эндодонтия today. 2020; 18(4):14-19. DOI: 10.36377/1683-2981-2020-18-4-14-19.

The phenomenon of dental pulp sensitivity in the formation of permanent teeth

© A.Zh. Petrikas¹, S.A. Letunovskaya², E.V. Chestnykh¹, D.V. Medvedev¹, E.P. Zin'kovskaya¹, I.O. Larichkin¹, K.V. Kulikova¹

¹Tver State Medical University, Tver, Russia

²Semashko Clinical Hospital, Yaroslavl, Russia

Abstract:

Aim. To carry out a comparative assessment of the change in the pain threshold (in terms of electroodontometry), the X-ray width of the root canal in the apex area and the nature of the pain sensation of the central incisors in children aged 6.5-15 years.

Materials and methods. We examined 280 teeth in 280 children from 6.5 to 15 years old (central incisors). Patients are divided by age into 5 groups: 1 – 6.5-7 years old; 2 – 7-8 years old; 3 – 9-10 years old; 4 – 11-12 years old; 5 – 13-15 years old. The patients underwent electroodontometry (EOM), to measure the sensitivity threshold of the studied tooth, the subjective sensations with EOM were assessed, and the width of the apical part of the root canal was determined, according to the data of intraoral sighting radiography.

Results. The study studied the process of teething and formation of teeth in dynamics from 6.5 to 15 years in 5 age groups. Changes in electroodontometry (EOM) are significant from 140.38 μA (4.5 years) to 24.38 μA (15 years) – average data. The relationship between age and the width of the root canal in the area of the apex, which is also characterized by a gradual narrowing, has been traced. Pulp pain with EOM becomes clearer and more short-lived with age. The

correlation between age and pain threshold is less pronounced (41%) than between age and apical canal width (72%). **Conclusions.** The main role in the sensitivity of the tooth is played by the A-delta and C nerve fibers of the pulp. The phenomenon of a decrease in the pain sensitivity threshold of permanent teeth during electrodontometry in the process of root formation due to the reaction of C-fibers was established.

Keywords: electrodontometry, A-delta and C nerve fibers.

Received: 16.09.2020; **revised:** 23.11.2020; **accepted:** 01.12.2020.

Conflict of interests: The authors declare no conflict of interests.

For citation: A.Zh. Petrikas, S.A. Letunovskaya, E.V. Chestnykh, D.V. Medvedev, E.P. Zin'kovskaya, I.O. Larichkin, K.V. Kulikova. The phenomenon of dental pulp sensitivity in the formation of permanent teeth. Endodontics today. 2020; 18(4):14-19. DOI: 10.36377/1683-2981-2020-18-4-14-19.

АКТУАЛЬНОСТЬ ИССЛЕДОВАНИЯ

Болевое ощущение эволюционно является первичной основой чувствительности человека [1] и оно довольно стабильно [2]. Стабильность показателей электроодонтометрии (ЭОМ) демонстрирует узкая зона болевого порога в 2-6 мкА здоровых передних зубов, которую впервые оценил Л.Р.Рубин в 1953 году [3]. Эту величину подтвердили многие отечественные исследователи [4, 5]. Рубин сделал попытку распространить её на все зубы, но показатели боковых зубов, хотя и стабильны, были на 5-15 мкА выше [6]. Важнейшая особенность чувствительности зубной пульпы заключается в том, что она представлена исключительной болевой сенсорикой [3, 5]. Её чувствительность очень высокая – 2-6 мкА. Она резко отличается от чувствительности кожи и всех окружающих тканей, включая десну и периапикальную область, которые находятся на уровне 100-200 мкА [5]. Пульпа, воспринимая тактильное, температурное и электрическое раздражение, переводит их в болевое ощущение. В человеческом зубе кровеносная и нервная системы пульпы выделены в виде тонкого мягкого тяжа в центре зуба. Она максимально защищена от внешних воздействий толстой трубкой из эмали и дентина. Нервы в пульпе составляют 20,5% по объему [7, 8].

Пульпа зуба представлена двумя главными болевыми пунктами, определяющими болевую чувствительность. В коронковой пульпе – это одонтобласты и дентинные трубочки с входящими в них на 1-2 мм нервными веточками А-дельта волокон [9]. В корне – это узкая тонкая апикальная часть канала, где плотно помещаются нервы сердцевины пульпы из С-волокон вместе с сосудами [10]. Вторичный цемент участвует в создании апикального сужения [11, 12]. Наличие у апекса миelinовых А-дельта-волокон не доказано. Болевые волокна А-дельта слегка миелинированы и находятся в коронке, имеют более высокую скорость проводимости. Они реагируют на импульсный ток, как острое болевое ощущение. С-волокна передают позднюю, мягкую и нечеткую боль. Интересно, что все зарубежные авторы: Bjorn H. (1953) [13], Mumford J.M. (1962) [14], Chen E. (2009) [15], Jafarzadeh H. (2010) [16], Cohen (2002) [7], Reader A. (2017) [17] рассматривают механизмы электроодонтометрии с позиций теории Brännström M. [18], как дентинную стимуляцию с упором на А-дельта волокна и как EPT (Electrical Pulpal Test). Зарубежные исследователи опускают реакцию болевых С-волокон, составляющих основную нервную структуру зуба. Интересно, что EPT считается малоценным тестом для временных зубов или постоянных в период прорезывания [19, 20]. Многие дети с интактными зубами не отвечают на EPT даже на увеличенные

стимуляционные токи [21]. Мы считаем, что для реакции всех нейрорецепторов в отдельных зубах нужен более универсальный стимулятор переменного тока с широким суммарным воздействием, включающим С-волокна.

ЦЕЛЬ

Провести сравнительную оценку изменения болевого порога (по показателям электроодонтометрии), рентгенологической ширины корневого канала в области апекса и характера болевого ощущения центральных резцов у детей в возрасте 6,5 – 15 лет.

МАТЕРИАЛ И МЕТОДЫ

Было исследовано 280 зубов у 280 детей с 6,5 до 15 лет (центральные резцы). Пациенты разделены по возрасту на 5 групп: 1 – 6,5-7 лет; 2 – 7-8 лет; 3 – 9-10 лет; 4 – 11-12 лет; 5 – 13-15 лет.

После получения информированного добровольного согласия родителей, проводился осмотр полости рта ребёнка, пациенты и их родители инструктировались. Измерения проводились на центральном верхнем резце. Зубы изолировались от слюны, порог болевой чувствительности пульпы определялся с помощью аппарата для электроодонтометрии ИВН-01 Пульпотест-Про [22], который хорошо зарекомендовал себя во многих исследованиях [23, 24, 25, 26]. Используемый пульпотест создает серию импульсов переменного тока, частотой 50 Гц, лишенных поляризации, с постепенно нарастающей силой тока по шкале от 0 до 200 мкА до первого ощущения: боль/предболь. Активный электрод находился в полихлорвиниловой трубке, в которую вводился контактный гель. Диаметр активного электрода составлял 4 мм. Пассивный металлический электрод находился в руке исследуемого. При возникновении первых ощущений ребёнок или медсестра отпускали кнопку, прекращая, таким образом, подачу тока, и значение ЭОМ фиксировалось на дисплее. Показания болевого порога после двухкратного измерения фиксировались в протоколе.

Кроме цифрового показателя ЭОМ определялась субъективная реакция ребенка. Основным критерием болевого ощущения было его разделение его на боль/предболь. "Предболь" мы определяем, как любые предболевые ощущения (тактильные, температурные и др.), которые пациент не идентифицирует как явную боль. В описании предболи учитывались её варианты, данные пациентом.

Всем пациентам проводилась рентгенография. По внутриторовым рентгеновским снимкам измерялась ширина апикальной части корневого канала зуба в миллиметрах.

РЕЗУЛЬТАТЫ

Полученные результаты приведены в таблице 1 и на рисунках 1.1-1.3. Рисунки демонстрируют нисходящую кривую, сходную при всех трех исследуемых направлениях: ЭОМ, ширина апекса и болевое ощущение.

Резкое падение показателя ЭОД имело место в возрасте с 6,5 до 10 лет, с дальнейшим плавным снижением в более старшем возрасте. Наибольший показатель ЭОМ наблюдался в первой возрастной группе (140,86 мкА), превышая таковой во второй возрастной группе более чем в 1,5 раза (91,95 мкА). При этом средний показатель диаметра апекса уменьшился с 2,55 мм до 1,96 мм. По обоим параметрам различия между первой и второй возрастными группами оказались статистически значимыми ($t = 5,70$ и $6,8$; $p < 0,05$). Между второй и третьей возрастными группами отличие в показателях ЭОМ более резкое – 91,95 мкА до 39,75 мкА – при практическом таком же плавном уменьшении диаметра апикального отверстия (1,96 и 1,34 мм). По обоим параметрам различия между второй и третьей возрастными группами статистически значимы ($t = 7,48$ и $8,90$; $p < 0,05$). Показатели ЭОМ в третьей и четвертой возрастных группах мало отличались, хотя среднее значение ЭОМ в четвертой группе несколько ниже: 35,83 мкА по сравнению с 39,75 мкА (различия статистически не значимы, $t = 0,70$; $p > 0,05$, а диаметр апекса значительно отличался: 0,82 мм в сравнении с 1,39 мм ($t = 11,40$; $p < 0,05$). В четвертой и пятой возрастных группах ЭОМ, как и диаметр апекса, статистически значимо отличались, но не резко: с 35,83 до 24,35 мкА и с 0,82 до 0,72 мм ($t = 2,21$ и $2,36$; $p < 0,05$, соответственно).

Изменения показателей ЭОМ были связаны с изменением диаметра апекса. Коэффициент корреляции составил 0,85. R-квадрат составил 0,72, то есть, параметр ЭОМ обусловлен диаметром апекса на 72%. Регрессионный анализ показал, что наиболее слабая связь прослеживается между возрастом и данными ЭОМ (коэффициент корреляции – 0,65, а R-квадрат – 0,41), то есть, сам по себе возраст далеко не всегда определяет ожидаемые показатели ЭОМ, а лишь на 41%. Однако возраст, согласно регрессионному анализу, достаточно тесно связан с диаметром апекса у детей.

По данным таблицы 1 и рисунков 1.1-1.3 также видно, что в первой возрастной группе у 13 испытуемых

Таблица 1. Электроодонтометрия зубов, диаметр апекса и ощущения (боль/предболь) у 280 детей разного возраста.

Table 1. Electroodontometry of teeth, apex diameter and sensation (pain/pre-pain) in 280 children of different ages.

Показатели	6,5-7 лет	7-8 лет	9-10 лет	11-12 лет	13-15 лет
ЭОМ					
n	50	62	56	60	52
M (мкА)	140,86	91,95	26,55	0,82	0,72
SD	43,31	47,29	3,55	0,26	0,24
Апекс					
M (мм)	2,55	1,96	1,34	0,82	0,72
SD	0,53	0,36	0,31	0,26	0,24
Предболь (%)	38%	14,5%	7,34%	5%	1,92%

Где n – число единиц наблюдения; M – средняя арифметическая; SD – среднеквадратическое отклонение.

вообще не наблюдалось болевых ощущений, а у 6 испытуемых возникло ощущение предболи, как тактильное (38%). Во второй группе у 4 детей не наблюдалось болевых ощущений, а у 5 возникло ощущение предболи в виде холода или тепла с распространением в десну над зубом (14,5%). В группе 9-10 лет у 4 испытуемых возникло ощущение предболи (7,14%), в 11-12 лет – в 5%, в 13-15 лет – в 1,92% (рисунок 2). Осторожное про-



Рис. 1.1-1.3. Измерение болевой чувствительности постоянного верхнего центрального резца и ширины апикального сужения этого зуба с помощью пульпотестера ИВН-01 ПРО и с помощью аппарата для внутри ротовой и панорамной рентгенографии у 280 детей: 1 – 6,5-7 лет; 2 – 7-8 лет; 3 – 9-10 лет; 4 – 11-12 лет; 5 – 13-15 лет.

Fig. 1.1-1.3.. Measurement of the pain sensitivity of the permanent upper central incisor and the width of the apical narrowing of this tooth using the IVN-01 PRO pulpotester and using the apparatus for intraoral and panoramic radiography in 280 children: 1 – 6,5-7 years old; 2 – 7-8 years old; 3 – 9-10 years old; 4 – 11-12 years old; 5 – 13-15 years old.



Рис. 2. Центральные резцы девочки 6,5 лет. ЭОД 199 и 195 мкА (3 мм; номер измерения 30,31). При измерении нет боли.

Fig. 2. The central incisors of a 6.5-year-old girl. EOD 199 and 195 µA (3 mm; measurement number 30,31). There is no pain when measuring.

ведение процедуры электротестирования обязательно с медсестрой и тщательным соблюдением подробной инструкции, разработанной Ефановым О.И. и Волковым А.Г., не создавало проблем непосредственно во время процедуры ЭОМ у всех задействованных детей. Интересно, что у 13 пациентов не было ощущений на серийное тестирование переменным электрическим током до 200 мкА.

ОБСУЖДЕНИЕ РЕЗУЛЬТАТОВ

Боль – это главное чувство. С возрастом оно совершенствуется. Разница в оценке ощущения боли видна на графике (рисунок 1). У самых юных пациентов ощущение предболи самое выраженное. Дети подменяли реальную боль ощущениями холода, тепла и др. Мы его объединили в понятие «предболь».

В клиническом исследовании было оценено изменение болевой чувствительности постоянных зубов (центральных резцов) на этапе формирования корня, в котором, в отличие от экспериментов на животных, имеется контакт исследователя с субъектом. Установлен феномен резкого снижения порога чувствительности постоянных зубов при электроодонтометрии, находящихся в процессе формирования корня. За полученную в ответ на электрический стимул "предболь" клинически отвечают С-волокна. Диагностиче-

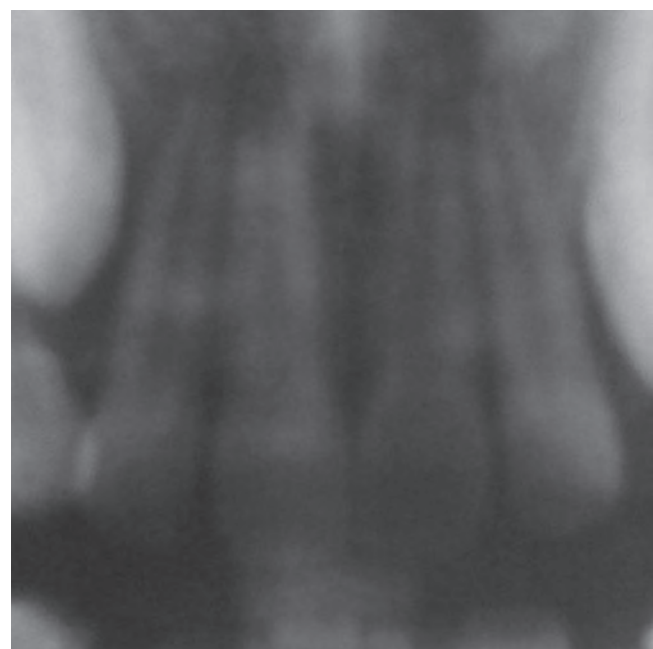


Рис. 3. Центральные резцы девочки 12 лет, ЭОД 13 и 15 мкА (0.8 мм; номер измерения 3, 4).

Fig. 3. Central incisors of a 12-year-old girl, EDI 13 and 15 µA (0.8 mm; measurement number 3, 4).

ская роль А-дельта волокон при этом не установлена. Не установлена связь между реакцией А-дельта волокон с диагностическим током, в отличие от С-волокон. В импульсных аппаратах при тестировании недооценивается роль С-волокон – основы нервной системы каждого зуба. Электрический ток за счет его силы и большой площади электрода охватывает всю пульпу, как коронковую, так и апикальную. В нашей литературе прослеживается тенденция критики аппаратов, работающих на переменном синусоидальном токе с частотой 50 Гц [4, 9].

Определены закономерности между степенью прорезывания зуба и снижением его болевого порога до минимального уровня, а также уменьшением при этом апикального сужения, четкости болевого ответа у более старших детей. Формирование апекса заключается в его постепенном сужении, в том числе за счет врастания цемента внутрь апикальной части корневого канала. Здесь преобладают С-волокна, которые составляют сердцевину пульпы. Импульсные пульпотестеры не "слышат" пульпу в прорезающихся зубах.

Следует отметить, что при окончательном формировании апекса не всегда пороговая величина соответствовала признанной ранее норме в 2-6 мкА. У одного 15-летнего субъекта исходный болевой порог составил 125 мкА.

ВЫВОДЫ

Установлен феномен снижения порога болевой чувствительности постоянных зубов при электроодонтометрии, находящихся в стадии формирования корня, за счет реакции С-волокон. Импульсные электропульпотесты не работают в прорезывающихся зубах.

СПИСОК ЛИТЕРАТУРЫ:

1. Кассиль Г.Н. Внутренняя среда человека. Г.Н.Кассиль. Академия наук СССР, Наука.1978: 224.
- 2.Beecher H.K. Measurement of subjective responses. H. K. Beecher. Oxford Universite Press, NewYork.1959: 499.
3. Рубин Л.Р. Электроодонтодиагностика. М. 1976: 136.
4. Макеева И.М. Эффективность электроодонтодиагностики с помощью различных видов тока. Стоматология. 2018;6: 34-37.
5. Петрикас А.Ж. Обезболивание в эндодонтии.Учебное пособие. МИА.2009: 212.
6. Мухин Н.А. Возрастные особенности электровозбудимости интактных постоянных зубов. Клиника и лечение врожденных и

- приобретенных дефектов челюстно-лицевой области. 1969: 179–181.
7. Cohen S. Pathways of the Pulp. S. Cohen. 9th ed. 2006 Mosby, An Imprint of Elsevier. 2006: 1-18.
 8. Närhi M., Jyväsjärvi E., Virtanen A. Role intra dental A- and C-type nerve fibres in dental pain mechanisms. Proc Finn Dent Soc. 1992; 8 (Suppl 1):507.
 9. Byers M. Dental sensory receptors. Int Rev Neurobiol. 1984; 25:39.
 10. Schumacher G.H., Schmidt H. Anatomie und Biochemie der Zahne. Verlag Gesundheit, Berlin. 1982.: 569.
 11. Чуйкин С.В. Морфология временных и постоянных зубов у детей. Учебное пособие. Уфа. 2011: 70.
 12. Harty F.J. Endodontic in clinical practice. Bristol. 1976: 235.
 13. Bjorn H. Electric stimulation threshold of teeth with regard to sensitivity in operations involving dentin and pulp. H. Bjorn. Sven TandlakTidskr. 1953. No.46-P.314.
 14. Mumford J.M., Björn H. Problems in electrical pulp-testing and dental algesimetry. Int Dent J. 1962;12:161.
 15. Chen E., Abbott P.V. Dental Pulp Testing: A Review. E. Chen, P.V. Abbot. Int J Dentistry. 2009
 16. Jafarzadeh, Review of pulp sensibility tests. Part I: general information and thermal tests/Jafarzadeh. International Endodontic Journal. 2010. 43(9): 738–762.
 17. Reader A., Nusstein J., Drum M. Successful Local Anesthesia for Restorative Dentistry and Endodontics. A. Reader, J. Nusstein, M. Drum. Quintessence Publishing Co, Inc 2016046585. 2017:240.

REFERENCES:

1. Kassil G.N. The internal environment of a person. G.N. Kassil. USSR Academy of Sciences, Science. 1978: 224.
2. Beecher H.K. Measurement of subjective responses. H. K. Beecher. Oxford Universite Press, New York. 1959: 499.
3. Rubin L.R. Electroodontodiagnosis. M. 1976: 136.
4. Makeeva I.M. Efficiency of electroodontodiagnosis using various types of current. Dentistry. 2018; 6: 34-37.
5. Petrikas A.Zh. Anesthesia in endodontics. Textbook. MIA. 2009: 212.
6. Mukhin N.A. Age features of electrical excitability of intact permanent teeth. Clinical picture and treatment of congenital and acquired defects of the maxillofacial region. 1969: 179-181.
7. Cohen S. Pathways of the Pulp. S. Cohen. 9th ed. 2006 Mosby, An Imprint of Elsevier. 2006: 1-18.
8. Närhi M., Jyväsjärvi E., Virtanen A. Role intra dental A- and C-type nerve fibres in dental pain mechanisms. Proc Finn Dent Soc. 1992; 8 (Suppl 1): 507.
9. Byers M. Dental sensory receptors. Int Rev Neurobiol. 1984; 25: 39.
10. Schumacher G. H., Schmidt H. Anatomie und Biochemie der Zahne. Verlag Gesundheit, Berlin. 1982.: 569.
11. Chuikin S.V. Morphology of temporary and permanent teeth in children. Tutorial. Ufa. 2011: 70.
12. Harty F.J. Endodontic in clinical practice. Bristol. 1976: 235.
13. Bjorn H. Electric stimulation threshold of teeth with regard to sensitivity in operations involving dentin and pulp. H. Bjorn. Sven TandlakTidskr. 1953. No.46-P.314.
14. Mumford J.M., Björn H. Problems in electrical pulp-testing and dental algesimetry. Int Dent J. 1962; 12: 161.
15. Chen E., Abbott P.V. Dental Pulp Testing: A Review. E. Chen, P.V. Abbot. Int J Dentistry. 2009
16. Jafarzadeh, Review of pulp sensibility tests. Part I: general information and thermal tests / Jafarzadeh. International Endodontic Journal. 2010. 43 (9): 738-762.
17. Reader A., Nusstein J., Drum M. Successful Local Anesthesia for Restorative Dentistry and Endodontics. A. Reader, J. Nusstein, M. Drum. Quintessence Publishing Co, Inc 2016046585. 2017: 240.
18. Brannstrom M. The hydrodynamic theory of dentinal pain: sensation in preparations, caries, and the dentinal crack syndrome. J Endod. 1986 Oct; 12(10): 453-7.
19. Cohen S. Pathways of the Pulp. S. Cohen. 8th ed, Electric pulp tests. 2002: 15-17.
20. Trombrige H., Kim S., Structure and function Pulp Complex. H. Trombrige, S. Kim. In: Cohen S, Burn R.C. Pahtways of the pulp. Mosby. 2002: 430-431.
21. Camp J.H., Barrett E.J., Pulver F. Pediatric endodontic: endodontic treatment for the primary and young permanent dentition. J. H. Camp, E.J. Barret, F. Pulver. Pathway of the pulp. Eight ed. 2002" 804-807.
22. Ефанов О.И., Волков А.Г. Электроодонтодиагностика. М. 1999: 22.
23. Медведев Д.В., Петрикас А.Ж., Нечаева А.А. Изменения показателей сердечно-сосудистой системы при интрапигментарной анестезии. Д.В.Медведев, А.Ж. Петрикас, А.А. Нечаева. Эндодонтия today. 2014; 4: 18-22.
24. Петрикас А.Ж., Медведев Д.В. Аспирация при внутристочных, интрапигментарных и интрасептальныхデンタルных инъекциях. Эндодонтия today. 2013; 3: 49-54.
25. Петрикас А.Ж., Медведев Д.В., Честных Е.В., Ольховская Е.Б. Модификация классификации способов местной анестезии. А.Ж.Петрикас, Д.В. Медведев, Е.В.Честных, Е.Б. Ольховская. Эндодонтия today. 2017: 49-54.
26. Петрикас А.Ж., Червинац В.М., Медведев Д.В., Шедякова Н.В., Нечаева А.А. Подготовка к инъекционной дентальной анестезии. Эндодонтия Today. 2017; 2: 13-17.
27. Reader A., Nusstein J., Drum M. Successful Local Anesthesia for Restorative Dentistry and Endodontics. A. Reader, J. Nusstein, M. Drum. Quintessence Publishing Co, Inc 2016046585. 2017: 240.
28. Brannstrom M. The hydrodynamic theory of dentinal pain: sensation in preparations, caries, and the dentinal crack syndrome. J Endod. 1986 Oct; 12 (10): 453-7.
29. Cohen S. Pathways of the Pulp. S. Cohen. 8th ed, Electric pulp tests. 2002: 15-17.
30. Trombrige H., Kim S., Structure and function Pulp Complex. H. Trombrige, S. Kim. In: Cohen S, Burn R.C. Pahtways of the pulp. Mosby. 2002: 430-431.
31. Camp J.H., Barrett E.J., Pulver F. Pediatric endodontic: endodontic treatment for the primary and young permanent dentition. J. H. Camp, E.J. Barret, F. Pulver. Pathway of the pulp. Eight ed. 2002" 804-807.
32. Ефанов О.И., Volkov A.G. Electroodontodiagnosis. M. 1999: 22.
33. Medvedev D.V., Petrikas A.Zh., Nechaeva A.A. Changes in indicators of the cardiovascular system during intraligamentary anesthesia. D. V. Medvedev, A. Zh. Petrikas, A. A. Nechaev. Endodontics today. 2014; 4: 18-22.
34. Petrikas A.Zh., Medvedev D.V. Aspiration for intraosseous, intraligamentary and intraseptal dental injections. Endodontics today. 2013; 3: 49-54.
35. Petrikas A.Zh., Medvedev D.V., Chestnykh E.V., Olkhovskaya E.B. Modification of the classification of methods of local anesthesia. A. Zh. Petrikas, D.V. Medvedev, E.V. Chestnykh, E.B. Olkhovskaya. Endodontics today. 2017: 49-54.
36. Petrikas A.Zh., Chervinets V.M., Medvedev D.V., Shedyakova N.V., Nechaeva A.A. Preparation for injection dental anesthesia. Endodontics Today. 2017; 2: 13-17.

ИНФОРМАЦИЯ ОБ АВТОРАХ:

Петрикас А.Ж.¹ – д.м.н., профессор кафедры терапевтической стоматологии.

Летуновская С.А.² – к.м.н., врач – стоматолог-ортопед.

Честных Е.В.¹ – к.м.н., доцент кафедры терапевтической стоматологии.

Медведев Д.В.¹ – к.м.н., доцент кафедры терапевтической стоматологии.

Зиньковская Е.П.¹ – к.м.н., доцент кафедры терапевтической стоматологии.

Ларичкин И.О.¹ – ассистент кафедры терапевтической стоматологии, ORCID ID: 0000-0001-8317-8100.

Куликова К.В.¹ – ассистент кафедры терапевтической стоматологии.

¹Федеральное государственное бюджетное образовательное учреждение высшего образования

«Тверской государственный медицинский университет» Министерства здравоохранения Российской Федерации, Тверь, Россия.

²Государственное бюджетное учреждение здравоохранения Ярославской области Клиническая больница имени Семашко, Ярославль, Россия.

AUTHOR INFORMATION:

A.Zh. Petrikas¹ – MD, Professor, Department of Therapeutic Dentistry.

S.A. Letunovskaya² – PhD, Prosthodontic dentist.

E.V. Chestnykh¹ – PhD, Associate Professor, Department of Therapeutic Dentistry.

D.V. Medvedev¹ – PhD, Associate Professor, Department of Therapeutic Dentistry.

E.P. Zin'kovskaya¹ – PhD, Associate Professor, Department of Therapeutic Dentistry.

I.O. Larichkin¹ – Assistant, Department of Therapeutic Dentistry, ORCID ID: 0000-0001-8317-8100.

K.V. Kulikova¹ – Assistant, Department of Therapeutic Dentistry.

¹Tver State Medical University, Tver, Russia.

²Semashko Clinical Hospital, Yaroslavl, Russia.

Координаты для связи с авторами / Coordinates for communication with authors:

Ларичкин И.О. / I.O. Larichkin, E-mail: don.larichckin2013@yandex.ru

Спектроскопия высокого разрешения ЯМР ^1H ротовой жидкости молодых пациентов с клиновидными дефектами зубов

© Митронин А.В.¹, Сребная Е.А.¹, Привалов В.И.², Прокопов А.А.¹

¹Федеральное государственное бюджетное образовательное учреждение высшего образования
«Московский государственный медико-стоматологический университет им. А.И. Евдокимова»
Министерства здравоохранения Российской Федерации, Москва, Россия

²Федеральное государственное бюджетное учреждение науки
«Институт общей и неорганической химии им. Н.С. Курнакова» Российской академии наук, Москва, Россия

Резюме:

Цель. Сопоставление спектров ЯМР ^1H ротовой жидкости пациентов с клиновидными дефектами твёрдых тканей зубов до и после лечения.

Материалы и методы. Материалом исследования послужила слюна пациентов с клиновидными дефектами, взятая до и после лечения. В качестве метода лечения выступила реминерализующая терапия, включавшая в себя применение ополаскивателя для полости рта на основе цинк-гидроксиапатита. Методом исследования являлась спектроскопия магнитного резонанса ядер изотопа водорода-1 (^1H) образцов слюны пациентов.

Результаты. В большинстве образцов после лечения отмечалось увеличение содержание пропионовой и масляной кислот по отношению к уксусной. Общее содержание протонов водорода при этом значительно не изменилось.

Заключение. Изучение спектров магнитногорезонансядеризотопа водорода ^1H демонстрирует распределение содержания органических кислот в ротовой жидкости до и после проведенного лечения., что позволяет оценить его эффективность.

Ключевые слова: клиновидные дефекты, метаболомика, органические кислоты, ротовая жидкость, ЯМР-спектроскопия.

Статья поступила: 05.09.2020; **исправлена:** 26.11.2020; **принята:** 29.11.2020;

Конфликт интересов: Авторы декларируют отсутствие конфликта интересов.

Для цитирования: Митронин А.В., Сребная Е.А., Привалов В.И., Прокопов А.А.. Спектроскопия высокого разрешения ЯМР ^1H ротовой жидкости молодых пациентов с клиновидными дефектами зубов. Эндодонтия today. 2020; 18(4):20-25. DOI: 10.36377/1683-2981-2020-18-4-20-25.

High resolution- ^1H NMR spectroscopy of oral liquid in young patients with wedge-shaped lesions

© A.V. Mitronin¹, E.A. Srebnaya¹, V.I. Privalov², A.A. Prokopov¹

¹Moscow State University of Medicine and Dentistry named after A.I. Evdokimov, Moscow, Russia

²Kurnakov Institute of General and Inorganic Chemistry of the Russian Academy of Sciences, Moscow, Russia

Abstract:

Aim. The comparison of saliva ^1H NMR spectra in patients with wedge-shaped lesions before and after treatment.

Materials and methods. Saliva as a study material was taken from patients with wedge-shaped lesions before and after treatment. The treatment method was remineralizing therapy that included the use of the oral rinse containing zinc-hydroxyapatite. ^1H NMR spectroscopy was chosen as an investigation method.

Results. In most cases it is noted that after treatment the content of propionic and butyric acids was on the rise in relation of acetic acid. Overall concentration of ^1H protons didn't change significantly.

Conclusions. ^1H NMR spectra analysis shows organic acid distribution in oral liquid before and after treatment, which helps to evaluate its response.

Keywords: metabolomics, NMR-spectroscopy, oral liquid, organic acids, wedge-shaped lesions.

Received: 05.09.2020; **revised:** 26.11.2020; **accepted:** 29.11.2020.

Conflict of interests: The authors declare no conflict of interests.

For citation: A.V. Mitronin, E.A. Srebnaya, V.I. Privalov, A.A. Prokopov. High resolution-¹H NMR spectroscopy of oral liquid in young patients with wedge-shaped lesions. Endodontics today. 2020; 18(4):20-25. DOI: 10.36377/1683-2981-2020-18-4-20-25.

ВВЕДЕНИЕ

В результате совершенствования спектрометров ядерного магнитного резонанса (ЯМР) многократно возросли их чувствительность и разрешающая способность. Новые возможности ЯМР используются медиками и биологами для исследования биологических жидкостей (моча, кровь, спинномозговая жидкость, сок поджелудочной железы, желчь, пот, желудочный сок, околоплодные воды) в качестве инструмента метаболического скрининга патологических изменений [1-3], что является одной из основных задач метаболомики [4]. В стоматологии слюна (ротовая жидкость) в последние годы также является объектом интенсивного изучения методом ЯМР-спектроскопии высокого разрешения с целями формирования её общего метаболического профиля, обнаружения различных патологий на ранних стадиях их развития, исследования метаболизма, для решения прикладных задач и т.д. [5-7]. Ранее нами были изучены подходы к метаболическому профилированию слюны методом ЯМР не только на протонах, но и на ядрах ¹³C, ³¹P, ¹⁹F при сопоставлении спектров слюны здоровых людей и слюны молодых пациентов с клиновидными дефектами твёрдых тканей зубов [8-12].

В ходе исследований впервые были получены результаты, представляющие как прикладной, так и теоретический интерес. В частности, мы показали, что неорганический фосфор групп (PO_4)_n слюны входит в состав структурированных жидких плёночных полимерных композиций разной толщины, причём у здоровых людей толщина плёнок больше, чем у пациентов. Уменьшение толщины биополимерной плёнки в составе слюны у пациента с выраженными клиновидными дефектами зубов хорошо согласуется с изученным химическим механизмом полиэтиологичных кислотных атак [11]. Довольно неожиданным было обнаружение в ротовой жидкости пациентов присутствия трифторуксусной кислоты, сигнал которой исчез из спектров ЯМР ¹⁹F после проведённого адекватного лечения [12]. Таким образом, метод ЯМР-спектроскопии показал свою высокую информативность и очевидную целесообразность его дальнейшего применения в исследованиях стоматологического профиля.

ЦЕЛЬ ИССЛЕДОВАНИЯ

Целью работы было сопоставление спектров ЯМР ¹H ротовой жидкости (далее используется термин слюна) пациентов с клиновидными дефектами твёрдых тканей зубов до и после применённого лечения.

МАТЕРИАЛ И МЕТОДЫ ИССЛЕДОВАНИЯ

Материалом исследования послужила ротовая жидкость пациентов с клиновидными дефектами в пределах эмали до лечения и через 1 месяц после его завершения, а также пациентов группы контроля. Возраст пациентов составлял от 18 до 30 лет. Методом лечения была выбрана комплексная реминерализующая терапия, включающая применение ополаскивателя для полости рта на основе цинк-гидроксиапатита. Схема лечения согласовывалась с инструкцией по применению и заключалась в ополаскивании полости

рта после чистки зубов 2 раза в день длительностью не более 2 минут. Курс лечения составлял 3 недели. Сбор образцов осуществлялся путем пассивного сплевывания в стерильные пробирки по строгим правилам, не допускающим попадания в исследуемые образцы посторонних включений – натощак, без предварительного применения средств гигиены полости рта, а также, исключая курение.

Методом исследования являлась спектроскопия магнитного резонанса ядер изотопа водорода-1 (¹H) образцов слюны пациентов с выраженными клиновидными дефектами зубов после проведённого лечения и контрольного образца слюны пациента без патологии данного вида. Собранные образцы слюны хранили при 290К в герметичных пластиковых пробирках с пластиковыми пробками. Для записи спектров калиброванные ЯМР-ампулы диаметром 5 мм, заполненные образцами на высоту 50-60 мм, со вставленными стеклянными капиллярами диаметром 1 мм, заполненными тяжёлой водой (D_2O), помещали в датчик спектрометра ЯМР. Сигнал дейтерия тяжёлой воды использовался для настройки однородности магнитного поля и ядерной стабилизации резонансных условий спектрометра.

Спектры высокого разрешения ЯМР ¹H записывали на спектрометре Bruker "AVANCE-300" по одноимпульсной программе с предварительным насыщением сигнала воды (программа ZGPR). Параметры записи спектров: температура пробы 300K, резонансная частота 300,21 МГц, длительность насыщающего импульса 1 с, подавление мощности насыщающего передатчика 40 dB, период следования 90-градусных импульсов 2 с, длительность возбуждающего записывающего импульса 4 мкс, число накопления сканов 160 в течение 10 мин. Все химические сдвиги δ приведены в миллионных долях (м.д.) относительно сигнала тетраметилсилана как внешнего стандарта.

Преимущества использованного метода записи спектров состоят в том, что он позволяет регистрировать слабые сигналы органических молекул слюны в присутствии сильного сигнала воды. Частота спектрометра выставляется точно на сигнал воды, перед записывающим, 90-градусным импульсом включается слабое радиочастотное поле на частоте ЯМР ¹H сигнала воды образца слюны. В течение действия этого поля (1-2 с) сигнал воды селективно насыщается и в спектре оказывается подавленным, а последующий 90-градусный записывающий импульс возбуждает ЯМР ¹H переходы сигналов органических молекул слюны.

РЕЗУЛЬТАТЫ ИССЛЕДОВАНИЯ

Интерпретация спектров ЯМР индивидуальных соединений в настоящее время чаще всего является рутинным делом. Но когда речь идёт о сложной смеси, тем более о биологической жидкости, формируется спектр значительно более трудно разрешимый и несущий большое количество избыточной информации. Поэтому, хотя в предыдущих работах [8-10] отнесение наиболее существенных сигналов осуществлялось на основании общепринятого ана-

лиза химических сдвигов и констант спин-спинового взаимодействия, для большей достоверности одновременно со спектрами ЯМР ^1H слюны мы сняли и спектры чистых соединений, присутствие которых мы позиционировали на основе отнесения соответствующих сигналов.

Сравнение спектров во всех случаях подтвердило правильность сделанного нами отнесения сигналов. На рис. 1, 2 приведены в качестве примера спектры слюны в сопоставлении со спектрами уксусной кислоты и этилового спирта. Как однозначно следует из рис. 1, ротовая жидкость пациента после лечения содержит уксусную кислоту, присутствие которой было показано и у этого же пациента до лечения, и у здорового человека [8, 9]. Заслуживает внимания и тот факт, что образец № 2 слюны пациента устойчиво содержит этиловый спирт и до, и после лечения, как и контрольный образец, взятый у здорового человека, что показано на рис. 2.

На рис. 3 приведены спектры ЯМР ^1H слюны тех же четырёх пациентов, у которых были обнаружены клиновидные дефекты зубов в начальной стадии [8, 9] и которые прошли курс реминерализирующей терапии. Сопоставление спектров ЯМР ^1H ротовой жидкости пациентов с клиновидными дефектами твёрдых тканей зубов до и после применённого лечения показывает, что в целом общая картина спектров меняется незначительно.

Типичная картина изображена на рис. 4, где приведены спектры образца слюны № 1 до и после лечения. Спектры содержат отчётливые сигналы уксусной, пропионовой и масляной кислот, но, что важно, несколько различающиеся по интенсивности.

По нашему мнению целесообразно остановиться на рассмотрении количественной стороны содержания именно этих кислот, несмотря на то, что имеет-

ся возможность получения значительно более подробного спектра ЯМР ^1H , отражающего присутствие минорных компонентов ротовой жидкости, многие из

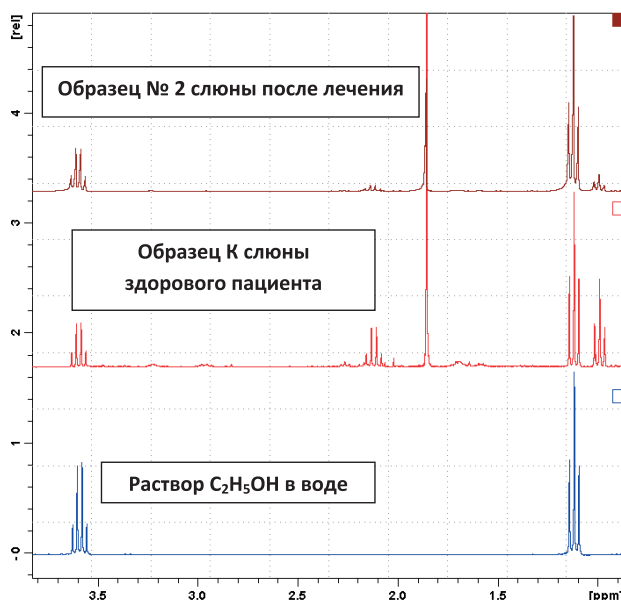


Рис. 2. Спектры ЯМР ^1H с широкополосным подавлением протонов (программа ZGPR) водного раствора этилового спирта, образца К слюны здорового пациента и образца № 2 слюны после лечения пациента

Fig. 2. NMR ^1H spectra with a broadband suppression of protons (ZGPR set) in aqueous solution of ethyl alcohol, K-specimen of a healthy patient's saliva and #2 specimen of patient's oral liquid after treatment

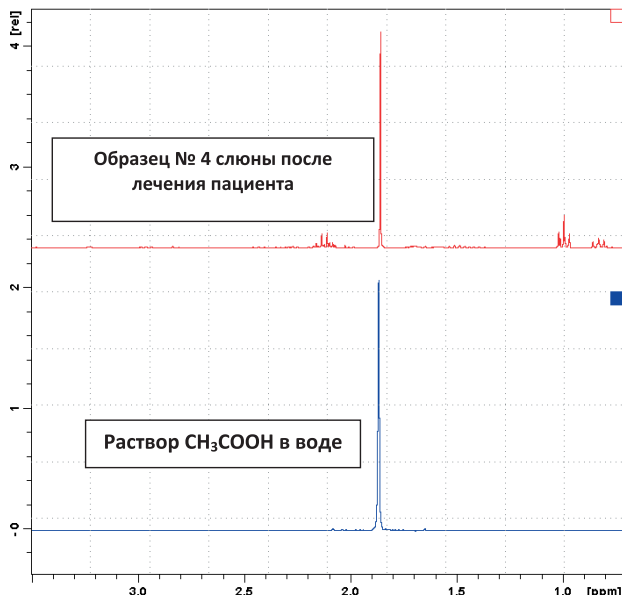


Рис. 1. Спектры ЯМР ^1H с широкополосным подавлением протонов (программа ZGPR) водного раствора уксусной кислоты и образца № 4 ротовой жидкости после лечения пациента

Fig. 1. NMR ^1H spectra with a broadband suppression of protons (ZGPR set) in aqueous solution of acetic acid and #4 specimen of patient's oral liquid after treatment

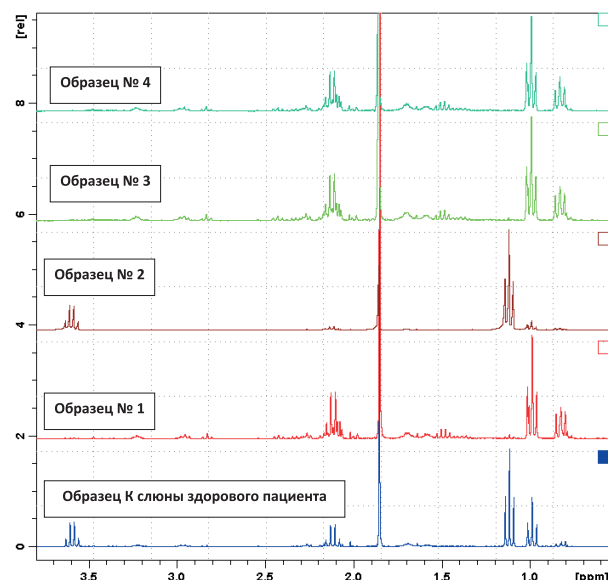


Рис. 3. Спектры ЯМР ^1H с широкополосным подавлением протонов (программа ZGPR) контрольного образца и образцов №№ 1-4 слюны после лечения пациентов

Fig. 3. NMR ^1H spectra with a broadband suppression of protons (ZGPR set) of control specimen and #1-4 specimina of patient's oral liquid after treatment

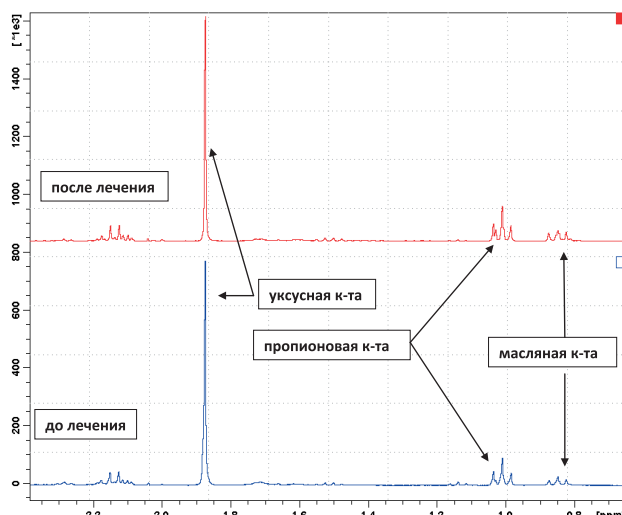


Рис. 4. Спектры ЯМР ^1H с широкополосным подавлением протонов (программа ZGPR) образца № 1 слюны до и после лечения пациента

Fig. 4. NMR ^1H spectra with a broadband suppression of protons (ZGPR set) of #1 specimen of patient's oral liquid before and after treatment

которых в силу естественных причин носят случайный характер.

На рис. 5 представлен спектр образца № 4 после лечения пациента, полученный в течение десяти часов с числом накоплений сканов 10000. Этот спектр даёт представление о возможной максимальной чувствительности определения сигналов органических молекул в образцах слюны, поскольку кроме основных сигналов в спектре ЯМР ^1H данного образца наблюдаются ещё ряд слабых сигналов органических молекул. Метаболомический анализ таких высокоинформационных спектров представляет собой самостоятельный интерес в плане более полной диагностики организма, выявления групп риска пациентов, предрасположенных к различным заболеваниям, отслеживания реакций организма на воздействия патогенов, токсических веществ, лекарственных препаратов и т.д. [1].

Как было показано ранее [8], интегральная интенсивность сигналов протонов низкомолекулярных органических соединений соответствует суммарной концентрации органических молекул в слюне в диапазоне 0,001–0,01 моль/л. Полученные нами спектры ЯМР ^1H содержат надёжно идентифицированные сигналы, это даёт возможность сопоставить их интегральные интенсивности и установить количественное соотношение основных органических молекул в ротовой жидкости. Эта информация представляет особый интерес, поскольку спектры ЯМР ^1H до и после лечения не претерпели принципиальных изменений

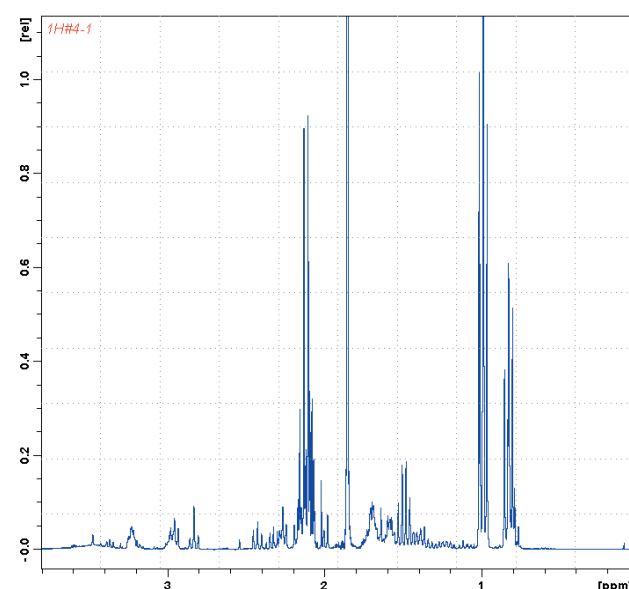


Рис. 5. Спектр ЯМР ^1H с широкополосным подавлением протонов (программа ZGPR) образца № 4 слюны после лечения пациента с числом накопления сканов NS = 10000 (накопление в течение 10 час)

Fig. 5. NMR ^1H spectrum with a broadband suppression of protons (ZGPR set) of #4 specimen of patient's oral liquid after treatment with the number of scan cumulation NS = 10000 (cumulation at 10 hours)

ний, но указывают на изменение своих количественных характеристик.

Принимая в спектрах интегральную интенсивность синглета CH_3 -группы уксусной кислоты за единицу, мы получили относительные интегральные интенсивности триплетных сигналов CH_3 -групп карбоновых кислот и этилового спирта. Количественные соотношения основных низкомолекулярных органических соединений в составе слюны до и после лечения приведены в таблице 1.

Как следует из данных таблицы, практически во всех случаях после лечения у пациентов в слюне значительно выросло содержание пропионовой и масляной кислот по отношению к уксусной кислоте. Исключение составляет образец № 2, в котором кроме масляной кислоты обнаружен и этиловый спирт, а содержание

Таблица 1. Относительное содержание уксусной, пропионовой, масляной кислот и этилового спирта в слюне до и после лечения.

Table 1. Abundance of acetic, propionic, butyric acids and ethyl alcohol in saliva before and after treatment.

№ образца		Уксусная к-та CH_3COOH	Пропионовая к-та $\text{CH}_3\text{CH}_2\text{COOH}$	Масляная к-та $\text{CH}_3(\text{CH}_2)_2\text{COOH}$	Этиловый спирт $\text{CH}_3\text{CH}_2\text{OH}$
1	до лечения	1	0,29	0,14	0
	после лечения	1	0,42	0,23	0
2	до лечения	1	0,32	0,14	1,66
	после лечения	1	0,43	0,16	3,32
3	до лечения	1	0,20	0,04	0
	после лечения	1	0,42	0,16	0
4	до лечения	1	0,31	0,09	0
	после лечения	1	0,43	0,24	0

масляной кислоты практически не изменилось. Как известно, этианол нарушает естественные метаболические процессы в организме, что показано и для карбоновых кислот [13], это обстоятельство объясняет наблюданное отклонение.

ОБСУЖДЕНИЕ

Полученные результаты свидетельствуют о том, что в результате лечения в составе слюны произошло перераспределение количественного состава низкомолекулярных органических кислот от более сильных электролитов (муравьиная, трифтормукусная) в сторону более слабых (уксусная, пропионовая, масляная). При этом обращает на себя внимание то обстоятельство, что, как это было показано нами ранее [8] на основе анализа спектров ЯМР ^1H , общая концентрация ионов водорода в слюне здорового человека и пациентов с клиновидными дефектами твёрдых тканей зубов практически одинакова. С одной стороны одинаковое значение pH является иллюстрацией эффективной работы буферных систем слюны на начальных этапах

СПИСОК ЛИТЕРАТУРЫ:

1. Колоколова, Т.Н., Сергеев Н.М., Корольков А.Ю. Количественное определение концентраций метаболитов в моче человека методом спектроскопии ЯМР ^1H . Биомедицинская химия. 2008; 54 (2):223-235.
2. Айхофф, У., Шпрауль, М., Пьотто, М. ЯМР высокого разрешения в биологических жидкостях и тканях. Учён. зап. Казан. ун-та. Сер. Физ-матем. науки. 2012;154 (1): 23-32.
3. Kutyshenko, V.P., Molchanov, M., Beskaravayny, P., et al. Analyzing and Mapping Sweat Metabolomics by High-Resolution NMR Spectroscopy. PLoS ONE. 2011; 6(12): e28824.
4. N.W.Lut, J.Sweedler, R.Wevers Methodologies for metabolomics: experimental strategies and techniques. Cambridge; New York: Cambridge univ. press, 2013: 627.
5. Z.T.Dame., F.Aziat., R. Mandal., et al. The human saliva metabolome. Metabolomics. 2015;11(6):1864-1883.
6. Duchemann B., Triba M.N., Guez D., et al. Nuclear magnetic resonance spectroscopic analysis of salivary metabolome in sarcoidosis. Sarcoidosis vasculitis and diffuse lung diseases. 2016; 33:10-16.
7. Mikkonen, J.JW, Herrala, M., Soininen P., et al. Metabolic profiling of saliva in patients with primary Sjögren's syndrome. Metabolomics: Open Access. 2013; 3(3):128.
8. Митронин А.В., Прокопов А.А., Сребная Е.А., Привалов В.И. Предварительное изучение ротовой жидкости методом ^1H и ^{13}C ЯМР-спектроскопии. Эндодонтия today. 2016;14(3):3-8.
9. Митронин А.В., Прокопов А.А., Сребная Е.А., Привалов В.И. Выбор условий для ЯМР ^1H -спектроскопии ротовой жидкости в интересах метаболомики. Cathedra. Кафедра. Стоматологическое образование. 2016; 58:14-17.
10. Митронин А.В., Прокопов А.А., Сребная Е.А., Привалов В.И. Возможности ЯМР ^{13}C -спектроскопии высокого разрешения для метаболомического анализа ротовой жидкости. Эндодонтия today. 2016; 4: 12-15.
11. Прокопов А.А., Митронин А.В., Сребная Е.А., Привалов В.И. ЯМР ^{31}P -спектроскопия высокого разрешения в метаболомическом анализе ротовой жидкости . Эндодонтия today. 2017;15(1):72-75
12. Митронин А.В., Сребная Е.А., Привалов В.И., Прокопов А.А. Исследование ротовой жидкости методом ЯМР ^{19}F спектроскопии высокого разрешения. Cathedra – Кафедра. Стоматологическое образование. 2017; 62:12-15.
13. Calabrese V., Rizza V. Formation of propionate after short-term ethanol treatment and its interaction with the carnitine pool in rat. Alcohol.1999;9(2):169-176.
8. Mitronin A.V., Prokopov A.A., Srebnaya E.A., Privalov V.I. Preliminary study of the oral fluid by ^1H and ^{13}C NMR spectroscopy. Endodontics today. 2016; 14 (3): 3-8.
9. Mitronin A.V., Prokopov A.A., Srebnaya E.A., Privalov V.I. The choice of conditions for ^1H NMR spectroscopy of the oral fluid in the interests of metabolomics. Cathedra. Department. Dental education. 2016; 58: 14-17.
10. Mitronin A.V., Prokopov A.A., Srebnaya E.A., Privalov V.I. Possibilities of high resolution ^{13}C NMR spectroscopy for metabolomic analysis of oral fluid. Endodontics today. 2016; 4: 12-15.
11. Prokopov A.A., Mitronin A.V., Srebnaya E.A., Privalov V.I. High-resolution ^{31}P NMR spectroscopy in the metabolomic analysis of the oral fluid. Endodontics today. 2017; 15 (1): 72- 75
12. Mitronin A.V., Srebnaya E.A., Privalov V.I., Prokopov A.A. Study of the oral fluid by ^{19}F NMR high resolution spectroscopy. Cathedra - Department. Dental education. 2017; 62: 12-15.
13. Calabrese V., Rizza V. Formation of propionate after short-term ethanol treatment and its interaction with the carnitine pool in rat. Alcohol. 1999; 9 (2): 169-176.

ИНФОРМАЦИЯ ОБ АВТОРАХ:

Митронин А.В.¹ – профессор, доктор медицинских наук, декан стоматологического факультета МГМСУ, заведующий кафедрой кариесологии и эндодонтии, Заслуженный врач РФ, ORCID ID: 0000-0002-3561-6222.

Прокопов А.А.¹ – профессор, доктор химических наук, заведующий кафедрой общей и биоорганической химии.

Сребная Е.А.¹ – ассистент, кандидат медицинских наук, ORCID ID: 0000-0003-1684-9407.

Привалов В.И.² – старший научный сотрудник, кандидат физико-математических наук.

¹Федеральное государственное бюджетное образовательное учреждение высшего образования «Московский государственный медико-стоматологический университет им. А.И. Евдокимова» Министерства здравоохранения Российской Федерации, Москва, Россия.

²Федеральное государственное бюджетное учреждение науки «Институт общей и неорганической химии им. Н.С. Курнакова» Российской академия наук, Москва, Россия.

AUTHOR INFORMATION:

A.V. Mitronin¹ – professor, Doctor of Medical Sciences, Dean of the Faculty of Dentistry, Head of the Department of cariology and endodontics, Honored Doctor of Russian Federation, ORCID ID: 0000-0002-3561-6222.

A.A. Prokopov¹ – professor, Doctor of Chemical Sciences, Head of the Department of general and bioorganic chemistry.

E.A. Srebnaya¹ – assistant, PhD, ORCID ID: 0000-0003-1684-9407.

V.I. Privalov² – senior research assistant, PhD.

¹Moscow State University of Medicine and Dentistry named after A.I. Evdokimov, Moscow, Russia.

²Kurnakov Institute of General and Inorganic Chemistry of the Russian Academy of Sciences, Moscow, Russia.

Координаты для связи с авторами / Coordinates for communication with authors:

Сребная Е.А. / E.A. Srebnaya, E-mail: dr.srebnaya@mail.ru

Актуальность применения хлоргексидина в адгезивном протоколе в девитальных зубах

© Хабадзе З.С., Шерозия М.Г., Генералова Ю.А., Недашковский А.А., Негорелова Я.А.

Федеральное государственное автономное образовательное учреждение высшего образования
«Российский университет дружбы народов» (РУДН), Москва, Россия

Резюме:

Цель. Определение актуальности применения хлоргексидинового адгезивного протокола в девитальных зубах.
Материалы и методы. Был проведен систематический обзор литературы в электронных базах данных Google Scholar и Pubmed. Рассмотрены и включены статьи, касающиеся исследований активности матриксных металлопротеиназ в витальных и в девитальных зубах, а также исследования об эффективности хлоргексидинового протокола.

Результаты. В ходе обзора было рассмотрено 60 статей. После произведения отбора по критериям исключения, число включенных исследований составило 36.

Выводы. По данным изученных публикаций, было установлено, что ММП 2 и ММП 9 содержатся не только в витальных, но и в девитальных зубах. Применение хлоргексидинового адгезивного протокола актуально и в том, и в другом клиническом случае, однако в зависимости от вида ММП и состояния пульпы подбирается концентрация хлоргексидина.

Ключевые слова: матриксные металлопротеиназы, хлоргексидин, ММП 2 и 9, ингибиторы металлопротеиназ, коллаген, карие, дентиногенез, пульпит.

Статья поступила: 30.08.2020; **исправлена:** 18.10.11; **принята:** 01.11.2020.

Конфликт интересов: Авторы декларируют отсутствие конфликта интересов.

Для цитирования: Хабадзе З.С., Шерозия М.Г., Генералова Ю.А., Недашковский А.А., Негорелова Я.А. Актуальность применения хлоргексидина в адгезивном протоколе в девитальных зубах. Эндодонтия today. 2020; 18(4):26-31. DOI: 10.36377/1683-2981-2020-18-4-26-31.

The relevance applying in the adhesive protocol in devital teeth

© Z.S. Khabadze, V.S. Shubaeva, Yu.A. Generalova, A.A. Nedashkovsky, M.G. Sherozia, Ya.A. Negorelova
RUDN University, Moscow, Russia

Abstract:

Aim. To determine the relevance of the application of the chlorhexidine adhesive Protocol in devital teeth.

Materials and methods. A systematic review of the literature in the electronic databases Google Scholar and Pubmed was conducted. Articles related to research on the activity of matrix metalloproteinases in vital and devital teeth, as well as research on the effectiveness of the chlorhexidine Protocol, are considered and included.

Results. 60 articles were reviewed during the review. After making the selection based on the exclusion criteria, the number of included studies was 36.

Conclusions. According to the studied publications, it was found that MMP 2 and MMP 9 are contained not only in vital, but also in devital teeth. The use of a chlorhexidine adhesive Protocol is relevant in both clinical cases but depending on the type of MMP and the state of the pulp, the concentration of chlorhexidine is selected.

Keywords: matrix metalloproteinases, chlorhexidine, MMPs 2 and 9, inhibitors of metalloproteinases, collagen, dental caries, dentinogenesis, pulpitis.

Received: 30.08.2020; **revised:** 18.10.11; **accepted:** 01.11.2020.

Conflict of interests: The authors declare no conflict of interests.

For citation: Z.S. Khabadze, V.S. Shubaeva, Yu.A. Generalova, A.A. Nedashkovsky, M.G. Sherozia, Ya.A. Negorelova. The relevance applying in the adhesive protocol in devital teeth. Endodontics today. 2020; 18(4):26-31. DOI: 10.36377/1683-2981-2020-18-4-26-31.

ВВЕДЕНИЕ

В последнее время хлоргексидиновый адгезивный протокол стал неотъемлемой частью качественного лечения заболеваний твердых тканей зубов благодаря его уникальной способности ингибирировать активность матриксных металлопротеиназ, которые вызывают нарушение связи между дентином и адгезивом. Клинически доказано, что применение данного адгезивного протокола помогает улучшить показатели краевого прилегания, а также избавится от микроподтеканий, от краевой пигментации и от послеоперационной чувствительности. Главная цель этого протокола – создание качественного и устойчивого гибридного слоя, основными компонентами которого являются праймер и коллагеновые волокна дентина. При классическом адгезивном протоколе деградация гибридного слоя наступает в результате гидролиза коллагеновых волокон матриксными металлопротеиназами, из-за чего под действием тока жидкости образуются микроподтекания, нарушаются краевые прилегания.

Матриксные металлопротеиназы (MMPs) представляют собой семейство Zn- и Ca-зависимых эндопептидаз, которые после активации разрушают компоненты внеклеточного матрикса. MMPs играют важную роль во многих физиологических процессах, таких как эмбриональное развитие, морфогенез, дентиногенез, репродукция и ремоделирование ткани, также в патологических процессах воспаление пульпы зуба и прогрессирование кариозного процесса. Все MMP характеризуются наличием ионов цинка Zn²⁺ в активном центре и потребностью в ионах Ca²⁺ для стабилизации молекулы.^[8]

MMP классифицируются на шесть групп в зависимости от их структурной гомологии и субстратной специфичности: коллагеназы (MMP-1, MMP-8, MMP-13 и MMP-18), желатиназы (MMP-2 и MMP-9), стромелизины (MMP-3, MMP-10 и MMP-11), трансмембранные MMP или MT-MMP (MMP-14, MMP-15, MMP-16, MMP-17, MMP-24 и MMP-24).^[25] и 2009 австралийская стоматологическая ассоциация 347 других (MMP-12, MMP-19, MMP-20, MMP-21, MMP-22, MMP-23, MMP-27 и MMP-28).^[1]

Исследователи из разных стран сходятся во мнении, что основной причиной деградации деминерализованного дентина являются MMP2 и MMP9.^[27,28,29] Дентинный матрикс содержит в основном коллаген I типа, но также небольшое количество коллагена V типа и неколлагеновых белков, таких как белок I дентинного матрикса, фосфофорин и сиалопротеин.

MMP-2 (желатиназа-A). Данный фермент активируется с помощью автолиза, который имеет концентрационно-зависимый характер, степень которого возрастает в присутствии гепарина. В основе другого механизма активации лежит взаимодействие про-MMP-2 с двумя активными MMP-14 и TIMP2.

MMP-9 (желатиназа B) – это Zn-зависимая эндопептидаза, синтезируемая и секретируемая в виде мономера. Ее структура подобна MMP-2. Первоначально MMP-9 синтезируется в виде неактивного профермента.

По структуре MMP имеют в своем составе 6 доменов (большинство):

1. N-концевой сигнальный пептид, вспомогательный при секреции ферментов.
2. Про-домен, содержащий мотив «цистеиновый переключатель» – аминокислотную последовательность Pro-Arg-Cys-Gly-X-Pro-Asp. Остаток

цистеина координирует ион цинка, при отщеплении про-домена этот ион освобождается и используется для катализа. Таким образом фермент переходит из зимогена в активное состояние.

3. Каталитический домен, содержащий 150 аминокислот, а также консервативный мотив His-Glu-X-X-His-X-X-Gly-X-XHis, координирующий ион цинка с помощью остатков гистидина, необходим для сохранения MMP в латентной форме и отщепляется в процессе активации профермента. В катализе также участвует остаток глутаминовой кислоты. Для корректной положения в пространстве гидролизуемого полипептида относительно каталитического участка необходим «канонический» остаток метионина. В составе каталитического домена также имеются три фибронектиновых домена типа II, участвующих в связывании коллагенов при последующем гидролизе.
4. Петлевой линкерный домен.
5. Гемопексиновый домен, имеющий форму пропеллера, регулирующий связывание с субстратом и некоторыми ингибиторами MMP.
6. Трансмембранный домен есть только у MMP мембранных типов.^[2,3]

MMP-2 и MMP-9 синтезируются одонтобластами и локализуются главным образом в интрапульплярном пространстве коллагеновой фибрillлярной сети и вдоль коллагеновых волокон в неактивной форме.^[6] Причиной деградационного влияния на дентин является нарушение баланса между MMP и их ингибиторами. Они могут быть активированы протеиназами или *in vitro* химическими веществами, такими как тиол-модифицирующие агенты, окисленный глутатион, хаотропные агенты и активные формы кислорода. Эти агенты и процедуры, вероятно, работают через нарушение связывания цистеин-цинк.^[25]

Активация про-MMP происходит при низких значениях pH ниже 4,5. При кариесе болезнесторные бактерии выделяют молочную кислоту (лактат), которые снижают значения pH до оптимальных для активности протеиназ, также активация может происходить во время обработки дентина ортофосфорной кислотой или при применение адгезивных систем 6 и 7 поколения. После восстановления уровня pH буферными системами слюны активированные MMP продолжают гидролиз коллагеновых волокон дентина.^[4,5]

TIMP – это естественные ингибиторы MMPs, которые содержатся в большинстве тканей и жидкостей организма. Среди этих ингибиторов MMPs TIMP-1 в основном комплексуется с MMP-9, а TIMP-2 может связывать как латентный, так и активный MMP-2. Кроме того, TIMP-2 также необходим для эффективной активации про-MMP-2.^[24]

ЦЕЛЬ

Рассмотрение активности и количества матриксных металлопротеиназ в витальных и девитальных зубах, а также рассмотрение справедливости применения хлоргексидинового адгезивного протокола в данной клинической ситуации.

МАТЕРИАЛЫ И МЕТОДЫ

Для написания данной обзорной статьи был проведен поиск в электронных базах данных PubMed и Google scholar и в списках литературы, которые указаны в найденных исследованиях и статьях. Для поиска были выбраны следующие термины: «matrix

«metalloproteinases», «chlorhexidine», «MMPs 2 and 9», «inhibitors of metalloproteinases».

Исследования были отфильтрованы в два этапа. На первом этапе производился анализ названия и краткого содержания публикаций. На втором этапе происходило ознакомление с содержанием и рассмотрение полнотекстовых вариантов отобранных статей. При выборе источников предпочтение отдавалось более поздним публикациям. Самая ранняя публикация датируется 1990 годом, самая поздняя 2019 годом. Поиск производился 13.06.2020.

РЕЗУЛЬТАТЫ

В ходе обзора было рассмотрено 59 статьи, из них 29 с базы данных PubMed, 30 с Google Scholar и 1 при статейных ссылки. После произведения отбора по критериям исключения, число включенных исследований составило 36.

Исходя из изученных нами публикаций, приводим Вам результаты некоторых исследований, описывающих факторы, влияющие на прогноз дентальной имплантации при СД II типа:

1. Исследование, проведенное в 2018 году, доказало, что применение хлоргексидинового протокола актуально не только при кардиозных поражениях, но и при гиперемии пульпы. Участники были разделены на две группы. Первой группе лечение проводили с использованием водного раствора хлоргексидина, во второй группе применяли спиртовой раствор хлоргексидина. Оба протокола оказались эффективными в данной клинической ситуации. [7]
2. В апреле 2017 года было проведено исследование, затрагивающее спорный вопрос

использования хлоргексидина и этанола в процессе адгезивной подготовки. Исследование проводилось на удаленных и далее очищенных зубах. В результате эксперимента было доказано, что применение хлоргексидинового и спиртового протокола, эффективнее классического адгезивного протокола, даже в девитальных зубах. [13]

3. При иммунохромотографическом анализе (с использованием коньюгата наночастиц золота со специфическими антителами к ММП 2, ММП 8, ММП 9 и ММП 20) пяти удаленных кардиозных моляров было установлено, что количество ферментов находящихся в дентине напрямую зависит от степени его вовлечения в кардиозный процесс. ММП выявлены как в кардиозном, так и в здоровом дентине. Уровень ММП-2 не выявил достоверной разницы между наружным кардиозным, внутренним кардиозным и здоровым дентином (тест Фридмана, $P = 0,6661$, $V2 = 0,813$). Однако другие ММП показали значительную разницу в распределении между различными областями дентина. Показатели ММП-8 и ММП-9 значительно снижались на внутреннем кардиозном дентине по сравнению с уровнем здорового дентина, но снова усиливались на внешнем кардиозном участке (тест Фридмана, ММП-8: $p = 0,0008$, $v2 = 14,25$; ММП-9: $P = 0,0111$, $v2 = 9,000$). [19]
4. В 2011 году китайскими учеными было проведено исследование с использованием различных диагностических методов. Иммуногистохимическое окрашивание доказало, что ММП-2 и ММП-9



Схема 1. Процесс отбора статей.

Scheme 1. Article selection process.

- располагаются в наибольшей концентрации в окружении отростков одонтобластов и в предентине, также на эмалево-дентинном соединение (для ММП-2). Наиболее интенсивное окрашивание отмечалось в внутренних слоях дентина в периодонтобластическом пространстве. Для TIMP-1 наблюдалась аналогичная картина распределения. TIMP-2 показал только слабое окрашивание в одонтобластах и предентине. Двойная иммунофлуоресцентная маркировка показала, что ММП-2 колокализуется с TIMP-2 преимущественно в одонтобластах. Их колокализация в предентинном и околопульпарном дентине была слабой из-за низкой иммунореактивности TIMP-2, а для ММП-9 и TIMP-1 колокализация была идентифицирована во всех областях. Иммуноферментный твердофазный анализ установил, что концентрация ММП-2 составляет в плащевом дентине $3,18 \pm 1,23$, в околопульпарном дентине $3,38 \pm 1,10$, в предентине $5,33 \pm 1,53$, для ММП-9 значение соответственно $0,23 \pm 0,08$, $1,48 \pm 0,41$, $3,27 \pm 0,86$. При исследовании зубов с помощью желатиновой зигмографии было установлено, что наибольшей желатинолитической активность обладают ММП в области предентина. В экстрактах белка дентина желатинолитическая активность ММП-2 оказалась сильнее, чем у ММП-9. [23]
5. Изучение действия СНХ на очищенные ММП человека, выделенные из клеток фибросаркомы человека и клеток млекопитающих, показало, что он обладает дозозависимым ингибирующим действием в отношении активности ММП-2 и ММП-9. Этот ингибирующий эффект связан с хелатирующим механизмом. [30]
 6. Ингибирующее действие ХГ зависит от концентрации. Минимальная концентрация ХГ, которая приводит к полному ингибированию активности ММП-9, составляла 0,002%, тогда как активность ММП-2 намного более чувствительная, так как ингибируется при концентрации ХГ 0,0001%. При концентрации 0,03% ХГ происходит полное ингибирование активности желатиназы ММП-2 и -9. Вполне вероятно, что при высоких концентрациях ХГ ММП-2 инактивируется денатурацией белка, а не хелатированием катионов. [32]
 7. В 2014 году было доказано *in vitro*, что ХГ в концентрации 0,04% и выше полностью ингибирует желатиназы, выделяемые из кариозного дентина. Влияние повышения концентрации хлоргексидина на процент относительной желатинолитической активности в кариозном дентине при 0,01% процент составил $36 \pm 0,32$, при 0,04 и выше процент был $0 \pm 0,00$. По сравнению с контролем без ХГ концентрация ХГ 0,01% частично снижала ферментативную активность полос 86, 75, 38, 33 и 32 КДА в 1,3, 1,5, 1,4, 3,0 и 3,2 раза соответственно. Концентрации ХГ 0,04, 0,08 и 1% полностью ингибировали относительную ферментативную активность всех полос по сравнению с контролем без ХГ. Все полосы с желатинолитической активностью были ингибированы при этих концентрациях ХГ, включая наиболее заметную полосу 38 КДА. [31]
 8. С помощью метода анализа бицинхониновой кислоты (Pierce, Rockford, IL, USA) была определена концентрация общего белка в

деминерализованном экстракте дентина. Затем измеряли концентрации ММП (5, 10 и 20 нг/мг белка, а также 3, 6 и 12 нг/мг белка ММП-9 и ММП-2 соответственно). В условиях более высокого восстановления ММП (деминерализующая обработка лимонной кислотой и осаждение сульфата аммония) было обнаружено 15,9 и 8,4 нг/мг белков ММП-2 и -9 соответственно. [33]

9. При исследовании влияния различных ионов металлов на активность матриксных металлопротеиназ, полученных из десневых эксплантов больных пародонтитом, было установлено, что ZnSO₄ может ингибировать ММП-2 и ММП-9, CuSO₄ способен ингибировать только ММП-2. SnCl₂ и HgSO₄ оказывают некоторое ингибирующее действие как на активность ММП-2, так и на активность ММП-9. [34]

ОБСУЖДЕНИЕ

Хлоргексидиновый адгезивный протокол состоит из следующих этапов:

1. Протравливание эмали (15-30 секунд) и дентина (до 12 секунд) 35-37% ортофосфорной кислотой;
2. Промывание сформированной кариозной полости дистиллированной водой (30 секунд) и подсушивание;
3. Обработка 2%-раствором хлоргексидина биглюконата (60 секунд). Препарат не смывают, а слегка подсушивают.
4. Нанесение адгезивной системы.
5. Полимеризация адгезива.

При протравливании дентина 37% ортофосфорной кислотой происходит удаление смазанного слоя и обнажение коллагеновых волокон, важно понимать, что происходит удаление только минерального компонента (состав дентина до протравливания: апатиты 50%, коллаген 30%, вода 20%; состав дентина после протравливания: апатиты 0%, коллаген 30%, вода 70%), следовательно, белки интрапульплярного пространства также остаются. На данном этапе необходимо понимать, что при нарушении времени экспозиции протравливающего агента, будет также нарушена рекомендованная глубина растворения дентина, которая составляет 5-7 мкн, а длина реакционной группы мономера праймера, не позволит ему прореагировать с OH группой апатитов и аминогруппой коллагена на всю заданную ошибкой длину, в результате чего не удастся достичь качественного пропитывания коллагеновых фибрил мономером, как следствие у ММП появится дополнительная среда обитания из-за наноподтеканий. [14]

Важным критерием для следующего этапа обработки является полная инактивация желатиназ дентина, для этого их обрабатывают хелатными агентами. В практике применяют хлоргексидин, клинически доказано, что в 0,001% хватает для инактивации ММП-2, 0,02% для ММП-8 и 0,002% для ММП-9, однако в большинстве исследований представленных ранее использовали 2% раствор хлоргексидина, так как он вступает во взаимодействие с гидроксиапатитами дентина и образует комплекс, этот феномен называется «биосубстантность», за счет этого удается достигнуть пролонгированного действия. [12, 17, 18, 32]. Однако как говорилось в [31] полной инактивации ММП достаточно концентрации, превышающей порог 0,04%.

При взаимодействии хлоргексидина и ММП происходит инактивация последних, за счет связывания с

сульфидрильными группами активного участка ММП, так же за счет конкуренции за Ca^{2+} и за Zn^{2+} , которые необходимы ММП для активности. [9-11]

Использование адгезивных систем сухого бондинга, то есть 6 и 7 поколения не позволяет проводить хлоргексидиновый адгезивный протокол, так как в данном случае не происходит удаление смазанного слоя, происходит лишь частичная биомодификация, образуются гибридный слой толщиной до 2 мкн. [15,16]

Важным преимуществом хлоргесидина в качестве ингибитора является его нейтральность по отношению к компонентам адгезивной системы, что подтверждают исследования, как *in vitro*, так и *in vivo*. [12]

При исследовании девитальных зубов было доказано, что ММП снижают свою активность. Одной из возможных функций ММП дентина является активация факторов роста таких как TGF- β и BMPs, которые также содержатся в дентине. Считается, что в ответ на внешнее раздражение эти факторы роста высвобождаются из дентина и активируют секрецию внеклеточного матрикса одонтобластов и reparativeное образование дентина (третичного дентина). Следовательно, связанные с дентином ММП могут также играть защитную роль во время прогрессирования кариеса, высвобождая факторы роста, связанные с дентином. [22] Однако важно отметить, что ММП могут попадать в зуб из слюнной жидкости. Несколько исследований показали, что полиморфноядерные лейкоциты, мигрирующие через бороздчатый эпителий в десневую борозду, являются основным источником слюнных ММП. Между тем, если кариозное поражение локализуется в шейном отделе, то щелевая десневая жидкость и кровотечение при заболеваниях пародонта будут системно влиять на прогрессирование кариеса и на уровень ММП в дентине зуба [20, 21, 26].

Растворимые ионы металлов постоянно высвобождаются из стоматологических материалов, и влияние этих ионов на ротовую среду было основным предметом стоматологических исследований. Известно, что металлопротеиназы, ингибируются цинком и другими двухвалентными металлами. Металлы широко используются в клинической стоматологии, присутствуя в восстановительных материалах, таких как амальгама, металлические сплавы и цементы оксида цинка-эвгенола, а также в зубных пастах и зубных протезах. Механизм инактивации ферментов металлами до конца не изучен. Предполагается, что ионы металлов связываются с определенными участками, вызывая конформационные изменения, которые инактивируют каталитическую функцию ферментов. Ларсен и Олд показали, что механизм ингибирования цинком карбоксипептидазы а, цинковой металлопротеиназы, обусловлен образованием моногидроксида цинка, который связывает каталитический Ион цинка с боковой цепью в активном центре фермента. Неконкурентное ингибирование другими ионами тяжелых металлов объясняется связыванием Иона с участком, отличным от активного [34]. Данные факты подтверждают необходимость использования ХГ в качестве ингибирующего агента при работе с неметаллическими пломбировочными материалами (композитами).

Также есть данные об эффективности применения ХГ совместно с оксидом цинка. ZnO -амфотерный оксид, хотя обычно он проявляет основные свойства. Он почти нерастворим в воде и спирте, но растворим в кислотах и разлагается ими. Частицы ZnO небольшого размера были выбраны для того, чтобы индуцировать

самую высокую межфибрillлярную инфильтрацию. Высокая растворимость ZnO в сочетании с кислотой может также объяснить эффективное высвобождение ионов цинка на границе смола-дентин. [35,36]

Исходя из результатов представленных ранее исследований можно сделать вывод, что, если желатинолитические свойства увеличиваются от наружного слоя дентина к предентину [23], степень и скорость дегенерации гибридного слоя, также будет зависеть от степени поражения зуба. Так при глубоком кариесе или при пульпите глубина полости будет достигать участков дентина с повышенной активностью ММП, а значит разрушение гибридного слоя будет происходить быстрее.

Гистологически корень зуба состоит из нескольких слоев тканей: цемент, дентин, пульпа. В дентине выделяют: слой Оуэна, слой терминалных дентинных трубочек, слой разветвленных дентинных трубочек, слой прямых дентинных трубочек, слой предентина. Изнури предентин покрывает периферический слой пульпы, состоящий из клеток одонтобластов, которые как говорилось ранее отвечают за синтез ММП белков. Следовательно, в корневых каналах также содержатся желатиназы, которые могут активироваться при указанных выше условиях. Исходя из этой информации можно сделать вывод, что при эндодонтической инструментальной и медикаментозной обработке корневых каналов необходимо последним этапом перед началом пломбирования корневого канала обрабатывать последний 2% раствором хлоргексидина, с целью ингибирования ММП, следует также помнить, что после такой обработки недопустимо использовать гипохлорид натрия, так как ХГ образует комплекс с дентином, как уже говорилось ранее.

Важно отметить, что большинство исследований проводят на удаленных и в последующем специально обработанных зубах. Следовательно, полученные результаты можно применять на практике, не только на живых зубах, но и на девитальных.

ВЫВОДЫ

Исходя из полученных данных, мы пришли к выводу, что хлоргексидиновый протокол является важным этапом для создания качественного, прочного гибридного слоя. Как в девитальных, так и в витальных зубах ХГ улучшает показатели краевого прилегания и отсрочивает клинически значимую дегенерацию гибридного слоя. Экспериментально доказано, что при концентрации ХГ более 0,04 % происходит полная инактивация ММП, при концентрации 2 % удается достичь пролонгированного действия. Однако, остается открытым вопрос, какая концентрация является оптимальной для применения на практике в зависимости от витальности пульпы.

Стоматологические растворы ХГ разработанные для борьбы с бактериальным налетом, доступны в диапазоне концентраций от 0,1% до 0,2% и поэтому могут быть использованы по прямому назначению. ХГ также может быть включен в рецептуру материалов, которые вступают в контакт с дентином в профилактических или восстановительных процессах для ингибирования желатиназ, активируемых кариесом или терапевтическими процедурами. Данный вопрос подлежит дальнейшему изучению.

Также стоит отметить, что вопрос важности ингибирования ММП дентина корневого канала недостаточно изучен, но является также актуальным.

WaveOne Gold Reciprocating Instruments in Clinical Practice (Part 1)

© Peet van der Vyver, Martin Vorster
University of Pretoria, South Africa

Abstract:

The design features of the WaveOne Gold Primary system and some of its previous analogs will be discussed since they allow channel processing using only one file in 80-85% of clinical cases. In the second part of the article, we will discuss when it is still necessary to use more than one WaveOne Gold instrument with examples of specific complex clinical cases with curved canals. In the end, we will pay attention to the peculiarities of processing very large canals, which are also difficult for the doctor.

Keywords: endodontic instruments, WaveOne Gold, reciprocal instruments.

Received: 03.06.2020; **accepted:** 09.11.2020.

Conflict of interests: The authors declare no conflict of interests.

For citation: Peet van der Vyver, Martin Vorster . WaveOne Gold Reciprocating Instruments in Clinical Practice (Part 1). Endodontics today. 2020; 18(4):32-35. DOI: 10.36377/1683-2981-2020-18-4-32-35.

INTRODUCTION

The WaveOne NiTi Nickel-Titanium File System was first introduced to the dental market in 2011 (Figure 1). It was a pre-packaged and pro-sterilized set of endodontic instruments that ensured proper preparation of the root canal system with the formation of their desired tapered shape [1]. Then the manufacturer introduced a new generation of reciprocal analogues WaveOne Gold, which are characterized by even greater ease of use and improved clinical efficacy.

Why return or reciprocal movements?

When working in the root canals with ordinary nickel-titanium files, they are susceptible to some stress, which reduces their strength, and with repeated manipulations can lead to fracture of the tool. Torsional resistance and structural fatigue are the two main causes of clinical failure in terms of instrument performance [2].

Fractures during file twisting occur when the tip of the instrument gets stuck in the dentin of the root, and the rest continues its circular moment. A fracture due to structural bending fatigue (bending stress) develops when an already weakened metal tool is subjected to additional stress. In such cases, the fracture is not due to tip sticking in dentin, but due to reaching the point of maximum bending [3]. Flexural stress, therefore, depends on the anatomy of the root canal, and it is logical that it is significantly higher in more curved endodontic spaces [4]. In 2008, Yared conducted the first study on the variable (reciprocating) movements of an endodontic working instrument, using the ProTaper F2 (Dentsply Sirona) [5]. In theory, this approach, with a change in the direction of file rotation, reduces the number of work cycles and, consequently, cyclic fatigue, compared to constantly working the file in one direction [6]. In addition, the study has shown that fewer instruments are required for sequential processing of the endodontic space, which also minimizes the risk of excessive canal contamination and the risk of potential file fracture [5]. All of these factors also help to reduce endospace processing time, which has important economic implications. These

results were confirmed in subsequent studies by Burklein and Schäfer in 2012, which compared the Reciproc (VDW) and WaveOne (Dentsply Sirona) reciprocating systems with Mtwo (VDW) and ProTaper, which were used with a standard protocol [7].

Reciprocal movements: the essence

The principle of reciprocal movement is that, instead of just rotary movement, the files operate in a reverse "balanced force" mode [8], which is provided by a preprogrammed motor (X-Smart Plus equipped with a 6:1 reduction handpiece) or the new X-Smart iQ endodontic system with an 8:1 that is able to rotate files back and forth in a "reciprocating" motion. A counterclockwise (CCW) movement of 150 degrees is capable of apical advancement of the instrument, cutting dentin from the root canal wall. This movement is followed by the opposite movement – 30 degrees clockwise (CW), which ensures that the tool tip does not get stuck until the maximum torsional tension is reached. Three successive cycles of reciprocating motion complete one full backward rotation (CCW), and the repeated cutting and release of the instrument in the dentin tissue propels the instrument into the canal [9].

The irregular CW / CCW reciprocating motion of WaveOne Gold systems has the following advantages over continuous rotation systems:

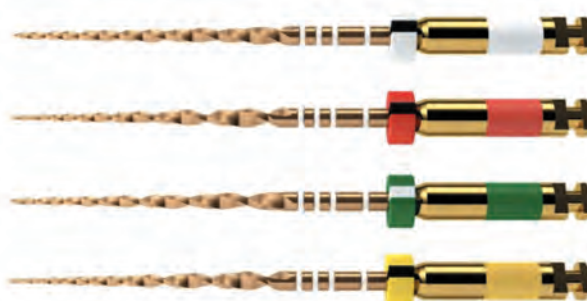


Fig. 1. WaveOne NiTi Nickel-Titanium File System.

- The instrument gets stuck in the dentin of the root canal wall much less frequently, which reduces the torsional stress of the instrument [6]
- Reducing the number of working cycles in the root canal during its preparation leads to the development of less bending stress in the structure of the instrument [3]
- Since the CCW release angle is less than the elastic limit of the tool, this ratio provides greater tool safety [10]
- Reduced risk of tool fracture [6]
- All of the above factors allow the file to move easily along the required working length without applying excessive, potentially harmful internal pressure to the instrument [10]
- Such an algorithm of movements also provides opportunities for removing the formed scrapes from the cavity of the endospace during its preparation [10]

Features of metallurgical production and tool design
The classic WaveOne system was manufactured using M-Wire technology. M-Wire is provided by a dedicated thermal process that aims to increase the flexibility and resilience of the file to cyclic stress. WaveOne Gold tools are manufactured by additional heat treatment after production, as a result of which it is possible to identify a new point between the transition from the state of martensite to austenite, which, in turn, allows to obtain similar superelastic properties. WaveOne Gold files are 50% more resistant to cyclic fatigue, 80% more flexible and 23% more efficient than the classic WaveOne system [10]. Due to the superelastic properties of the new gold core, the file may appear slightly curved when removed from a curved root canal, but only because the metal exhibits less shape memory compared to conventional nickel titanium or M-Wire (Figure 2).

The file can be straightened, and when it is placed in the root canal again, it follows the natural shape of the endospace that is already familiar to it [11]. Other advantages of this reduced shape memory are that in cases where direct access is difficult, the file can be slightly pre-prepared to ensure that it fits comfortably into the channel openings.

Classic WaveOne instruments were characterized by a variety of cross-sectional designs along the entire working length: at the tip – round, in the middle part and near the top – from the shape of a modified triangular / convex shape to a triangle with a zero rake / convex cross section.

WaveOne Gold files are characterized by a parallelogram shape (with two cutting edges at 85 degrees) with an off-center cross-section [11]. According to Ruddle, this design limits the interaction between file and dentin to only one or two contact points for any cross-sectional shape. This subsequently reduces the risk of cone and screw locking effects, which in turn improves the safety and efficiency of root dentin treatment and provides more space around the instrument for coronal deburring.



Fig. 2. Due to its super elastic properties, the WaveOne Gold file may appear slightly curved when removed from a curved root canal, but only because the metal exhibits less shape memory compared to conventional nickel titanium or M-Wire.

The new files are also characterized by a rounded-tapered and semi-active guiding tip of the ogival shape, which also ensures a reliable passage of the file along the canal wall along a certain trajectory [10,11]

The WaveOne Gold Endodontic System is available in four different tip file sizes 21 mm, 25 mm and 31 mm:

1. WaveOne Gold Small File (yellow ring). The top of the file is ISO 20, and the first 3 mm of the file (D1-D3) has a continuous tapered shape of 7%.
2. WaveOne Gold Primary File (red ring). The file has a top size of ISO 25 and the first 3 mm of the file (D1-D3) has a continuous tapered shape of 7%.
3. WaveOne Gold Medium File (green ring). The file tip size is ISO 35, and the first 3 mm of the file (D1-D3) has a continuous tapered shape of 6%.
4. WaveOne Gold Large File (white ring). The file tip size is ISO 45 and the first 3 mm of the file (D1-D3) has a continuous tapered shape of 5%.

Clinical Practice Guidelines for WaveOne Gold Instruments

1. Provide adequate access. It is always important to prepare an adequate access cavity to provide a straight path to the endospace after pulp tissue removal. Ultrasound systems are effective in cases of pulp calcification and modification of the access cavity walls. Considering that WaveOne Gold has even less shape memory than conventional NiTi or M-Wire instruments, slight bending of the file tip can be made in order to facilitate access to the endodontic space.
2. Choosing the correct WaveOne Gold file The following guidelines can be used to select a WaveOne Gold file.
 - a. WaveOne Gold Primary File (25/07). Any canal for which K-files of sizes 08 and 10 are used must be developed to the working length, after which a carpet path is formed or such a trajectory on which the file of size 15 would feel free along the entire working length. This algorithm is suitable for most root canal systems with average lengths and average bends in the mid- or apex area.
 - b. WaveOne Gold Medium file (35/06). Any channel in which K-files of size 20 or 25 feel free does not require additional processing with smaller instruments. This is observed with larger root canals and with a predominantly straight path. This type of instrument can also be used after the primary file to achieve the desired canal shape, or at the risk of insufficient preliminary cleaning of the endospace
 - c. WaveOne Gold Large file (45/05). Any channel in which 30 or 35 K-files feel free does not require further processing with smaller instruments. This is observed with larger root canals and with a predominantly straight path. This file can also be used after medium-sized files to recreate the desired shape, or if there is a risk of insufficient preliminary cleaning of the endospace.
 - d. WaveOne Gold Small file (20/07) (photo 2) WaveOne Gold Small file is mainly used when the primary file of 25/07 cannot passively penetrate to the apical end, or in cases where the physician does not feel very confident after processing the endospace with the primary file. When all working lengths are reached with the WaveOne Gold Small file, the clinician can further modify the canal shape or enlarge its size

using the 25/07 instrument. Thus, WaveOne Gold Small can be considered as a transitional instrument between small and primary instruments for the treatment of endodontic spaces [10].

However, in canals with complex apical curves or long canals, WaveOne Gold Small can be used as a primary preparation, ensuring proper surgical safety. When this file reaches the working length, the clinician can stop at this stage of processing, or modify it using larger files like 25/07.

Clinical Protocol for Canal Preparation Using Primary WaveOne Gold File

When choosing the Primary WaveOne Gold instrument, the canal should usually be developed with files 08 and 10 along the entire working length, followed by preparation of the carpet until the K-file 15 can reach this working length. To form a proper carpet, the authors recommend the following algorithm.

After evaluating the working length according to the X-ray image, the patency of the canal is assessed with instruments of size 08 or 10 using a viscous chelating agent. After determining the parameters of the channel patency, its working length is checked and a micro-carpet path is formed using stainless steel tools [1].

It is recommended to use K-files of size 08 or 10 with vertical movements "back and forth" and an amplitude of 1 mm from the working length indicator. The amplitude increases over time to about 4 mm as the irregularities of the channel are smoothed out during processing [1]. The minimum preparation requirement is to achieve free canal parameters for a file size of 10 [1]. To confirm patency, a 10 K-file is inserted over the full working length of the canal. The file is retracted 1 mm from the apical constriction and it is checked whether it can reach the same insertion depth with only a slight movement of the doctor's finger. Similarly, the quality of the carpet is checked, taking the tool 2 mm from the working length indicator. When confirming the protocol, when the file is removed by 4-5 mm, it can be argued that there is an adequate micro-carpet path. Only after this stage, they begin to form an enlarged carpet. For this purpose, either ProGlider (Dentsply Sirona) or WaveOne Gold Glider (Dentsply Sirona) is used.

ProGlider is an ISO size 16 tip 2% taper rotary M-Wire tool. The taper then gradually increases to 8.5% per 18 mm active cutting groove. The WaveOne Gold Glider works in a reciprocating manner and features a 15 ISO tip and a 2% taper with a gold core.

Canal Preparation Using Primary WaveOne Gold File
This type of instrument helps to ensure safe endospace machining, reducing the risk of instrument strain and evacuation of debris into the apical space, without compromising the cutting efficiency of the file. After the formation of the carpet path, the primary file is inserted into the buccal or palatal canal and the initial depth of penetration of the instrument is recorded, using a rubber stopper and the tip of the tooth tuber as a control point. After that, the instrument is removed and a similar procedure is carried out in the other canal, determining the average value between the two canals. Then the rubber stopper is moved to a working length 4-6 mm longer than the initial data for recording the length of the canal. In the presence of an irrigation solution (sodium hypochlorite (NaOCl)), the primary file can passively pass into the canal under the action of the reciprocating movements of the tip. The sweeping movements are used only in canals with

uneven morphology or to remove some irregularities in the endospace. The purpose of the first passage of the canal is only to cut a path to the apical root until the rubber stopper reaches the control point – this way the doctor knows that it is time to remove the instrument and clean it of debris. After that it is important to check the condition of all cutting areas tool before reuse.

After cleaning the file, the preparation of the prepared endospace in another canal is started according to the same protocol. For complete cleaning of the canal, an additional irrigation solution (NaOCl) is used with the parallel use of K-files of size 08 or 10 according to the technique of winding the watch (for recapitulation), after which a repeated irrigation treatment is carried out.

The purpose of recapitulation is to prevent the apical root from compaction and wash them out with the solution. After that, both the instrument and the canal are ready for a new preparation cycle. The rubber stopper is again adjustable 4-6 mm longer or to the working length. Again, the goal of this machining cycle is to traverse the canal completely until the full working length of the endospace is reached.

When the tip of the primary file reaches its full working length, the file is removed from the canal and checked. Some authors argue that the presence of scars on the upper 2-3 mm of the instrument indicates adequate treatment of the apical part of the root. If there are no burrs at the end of the instrument, it is recommended to continue processing with WaveOne Medium and WaveOne Large files. Reaching the apical end with a nickel-titanium file is also another alternative protocol modification [10]. For example, if the final canal preparation was carried out with the 25/07 instrument, then the apical part of the root can be achieved using a 25/02 nickel-titanium file (Dentply Sirona). If the processing quality is confirmed and corresponds to the size of the 25 GuttaCore Obturator (Dentsply Sirona) used for X-ray inspection, then the cycle can be considered complete. If the 25/02 NiTi file passes freely along the working length and outside of it, this means that the diameter of the apical foramen is greater than 0.25 mm. In these cases, it is recommended to check the apical foramen using a 30/02 nickel-titanium hand file. If this tool fits snugly along the working length then ISO 30 can be confirmed. If the file size 30/02 runs freely along the working length, you can switch to the Medium WaveOne Gold tool or, if necessary, to the Large WaveOne Gold tool. In the clinical case presented in the photo, the hand file size 25/02 fits snugly along the length of the buccal and palatal canals. The adequacy of the fit was also verified with a gutta-percha on the radiograph.

The prepared canals were filled with 17% EDTA solution and activated for 1 minute. After that, the final disinfection is achieved by activating a 3.5% heated sodium hypochlorite solution for 3 minutes, which is activated with the same nozzle. The canals are dried with paper points and obturated with gutta-percha and sealer.

CLINICAL CASE

A 52-year-old woman presented with irreversible pulpitis of the right first maxillary premolar. The periapical radiograph shows a deep-seated Class II composite restoration (Figure 3a). After the formation of the access, 3 root canals (two buccal and one palatal) were found. All 3 root canals were prepared with a single WaveOne Gold Primary 25/07 file after shaping the carpet using stainless steel K-files and ProGlider. Figure 3b shows the result of the treatment after the glass fiber post and composite restoration.

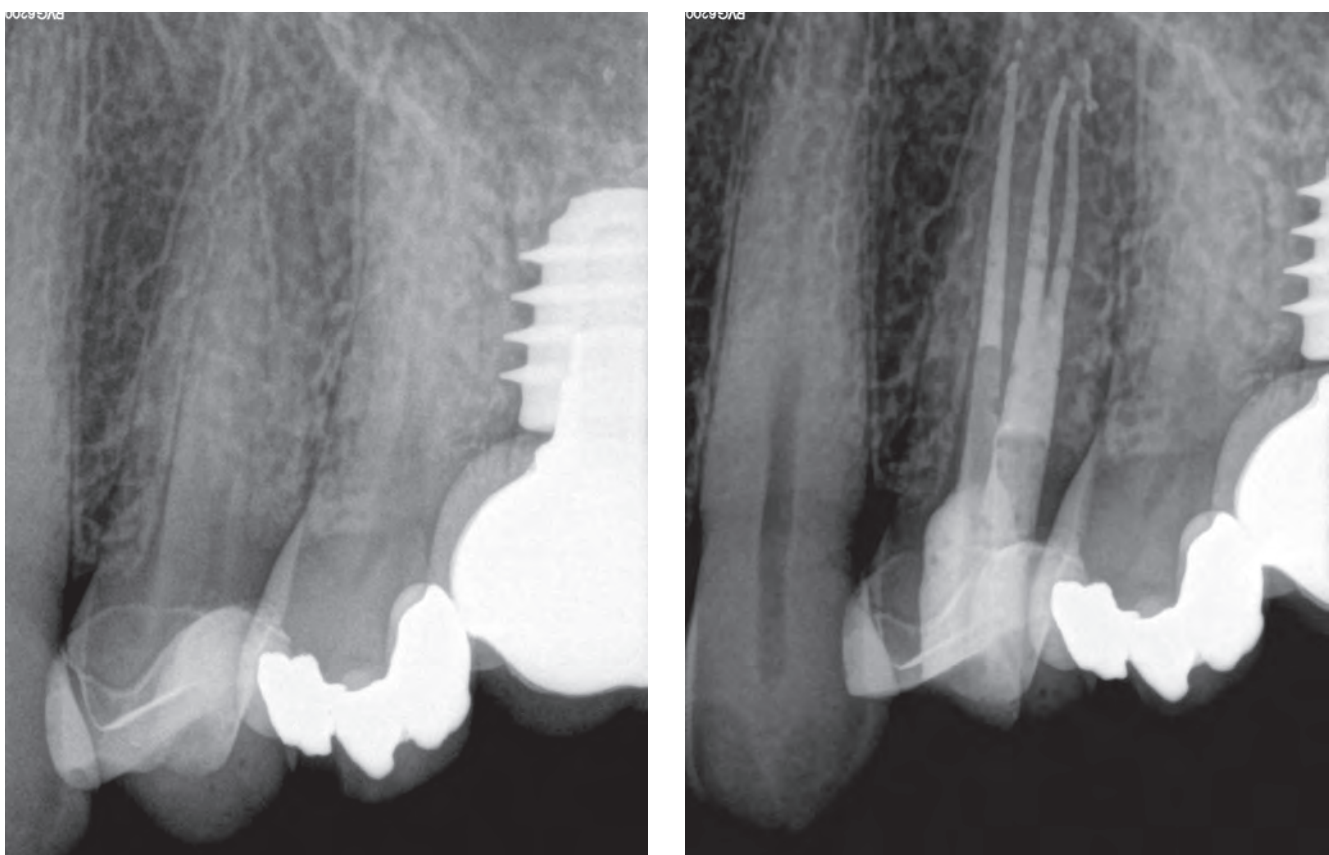


Figure 3. Radiograph before treatment (a); radiograph after treatment (b).

CONCLUSIONS

The design and specificity of the metallurgical production of WaveOne Gold tools provide increased efficiency of cutting these files, as well as their high flexibility and prevention of fracture when using a single

tool. In approximately 80-85% of clinical cases, the clinician only needs one Primary WaveOne Gold file for complete canal instrumentation. The WaveOne Gold Primary canal instrumentation technique provides three distinct clinical benefits: safety, ease and success of endodontic surgery.

REFERENCES:

1. Van der Vyver PJ, Paleker F, Vorster M, de Wet FA. Root Canal Shaping Using Nickel Titanium, M-Wire, and Gold Wire: A Micro-computed Tomographic Comparative Study of One Shape, ProTaper Next, and WaveOne Gold Instruments in Maxillary First Molars. *J Endod.* 2019 Jan;45(1):62-67.
2. Serene TP, Adams JD, Saxena A. Nickel-titanium instruments: applications in endodontics. Saint Louis : Ishiyaku Euro America; 1995.
3. Sattapani B, Nervo GJ, Palamara JE, Messer HH. Defects in rotary nickel-titanium files after clinical use. *J Endod.* 2000 Mar;26(3):161-5.
4. Pruitt JP, Clement DJ, Carnes DL Jr. Cyclic fatigue testing of nickel-titanium endodontic instruments. *J Endod.* 1997 Feb;23(2):77-85.
5. Yared G. Canal preparation using only one Ni-Ti rotary instrument: preliminary observations. *Int Endod J.* 2008 Apr;41(4):339-44.
6. Varela-Patiño P, Ibañez-Párraga A, Rivas-Mundiña B, Cantatore G, Otero XL, Martin-Biedma B. Alternating versus continuous rotation: a comparative study of the effect on instrument life. *J Endod.* 2010 Jan;36(1):157-9.
7. Bürklein S, Schäfer E. Apically extruded debris with reciprocating single-file and full-sequence rotary instrumentation systems. *J Endod.* 2012 Jun;38(6):850-2.
8. Sotokawa T. An analysis of clinical breakage of root canal instruments. *J Endod.* 1988 Feb;14(2):75-82.
9. Alsilani R, Jadu F, Bogari DF, Jan AM, Alhazzazi TY. Single file reciprocating systems: A systematic review and meta-analysis of the literature: Comparison of reciproc and WaveOne. *J Int Soc Prev Community Dent.* 2016 Sep-Oct;6(5):402-409.
10. Ruddle CJ. Single-File Shaping Technique: Achieving a Gold Medal Result. *Dent Today.* 2016 Jan;35(1):98, 100, 102-3. PMID: 26846056.
11. Webber J. Shaping canals with confidence: WaveOne GOLD single-file reciprocating system. *International Dentistry.* 2015;6(3):6-17.

AUTHOR INFORMATION:

Peet van der Vyver – ChD, MSc Odont, Dip Odont (Pret), is a professor at the Department of Odontology, School of Dentistry, University of Pretoria. He is in private practice limited to endodontics in Sandton, South Africa, ORCID ID: 0000-0003-1951-6042.

Martin Vorster – BChD (Pret), PG Dip Dent (Endo)(Pret), MSc (Odont) (Pret), is a lecturer at the Department of Odontology, School of Dentistry, University of Pretoria, Pretoria, South Africa.

Координаты для связи с авторами / Coordinates for communication with authors:
Martin Vorster, E-mail: martin.vorster@up.ac.za

Анализ бактерицидного действия гипохлорита натрия и хлоргексидина на резистентные микроорганизмы биопленки (*E. Faecalis*, *C. Albicans*).

© Хабадзе З.С., Генералова Ю.А., Шубаева В.С., Исмаилов Ф.Р., Шерозия М.Г., Недашковский А.А., Негорелова Я.А.

Федеральное государственное автономное образовательное учреждение высшего образования
«Российский университет дружбы народов» (РУДН), Москва, Россия

Резюме:

Цель. Анализ актуальных данных по бактерицидной эффективности эндодонтических ирригаторов, в частности гипохлорита натрия и хлоргексидина в различных концентрациях относительно элиминации резистентных микроорганизмов (*E. Faecalis*, *C. Albicans*).

Иrrигация является одним из важных этапов обработки корневых каналов, который предотвращает дальнейшее контаминация каналов микроорганизмами. Однако, ирриганты не всегда справляются с данной функцией, что приводит к возникновению вторичной инфекции.

Материалы и методы. Было произведено изучение публикаций в электронных базах данных PubMed, Google Scholar и ScienceDirect в ходе систематического обзора литературы. Включены статьи, содержание которых касается данных относительно различных ирригационных растворов и их бактерицидного действия на резистентные бактерии биопленок.

Результаты. В процессе обзора была рассмотрено 73 статьи. После анализа литературы по критериям включения, итоговое количество составило 41 публикацию.

Выводы. Согласно литературным данным, ирригационные растворы в широко используемых клиницистами концентрациях (гипохлорит натрия 3%, хлоргексидин 2%) не способны полностью устранить *E. faecalis* и *C. Albicans* из системы корневых каналов.

Ключевые слова: вторичная инфекция, ирриганты, эндоинфекция, *E. Faecalis*, *C. Albicans*, гипохлорит натрия, хлоргексидин.

Статья поступила: 02.09.2020; **исправлена:** 10.11.2020; **принята:** 15.11.2020.

Конфликт интересов: Авторы декларируют отсутствие конфликта интересов.

Для цитирования: Хабадзе З.С., Генералова Ю.А., Шубаева В.С., Исмаилов Ф.Р., Шерозия М.Г., Недашковский А.А., Негорелова Я.А. Анализ бактерицидного действия гипохлорита натрия и хлоргексидина на резистентные микроорганизмы биопленки (*E. faecalis*, *C. albicans*). Эндоонтология today. 2020; 18(4):36-43. DOI: 10.36377/1683-2981-2020-18-4-36-43.

Analysis of bactericidal effects of sodium hypochlorite and chlorhexidine on resistantbiofilm microorganisms (*E. Faecalis*, *C. Albicans*).

© Z.S. Khabadze, Yu.A. Generalova, V.S. Shubaeva, F.R. Ismailov, A.A. Nedashkovsky, M.G. Sherozia, Ya.A. Negorelova
RUDN University, Moscow, Russia

Abstract:

Aim. To analyze current data on the bactericidal efficacy of endodontic irrigants, in particular, sodium hypochlorite and chlorhexidine in different concentrations relative to the elimination of resistant microorganisms (*E. Faecalis*, *C. Albicans*). Irrigation is an important stage in the treatment of root canals, it prevents the further contamination of the canals with microorganisms. However, irrigants do not always cope with this function, which leads to the occurrence of a secondary infection.

3. Рассмотрение факторов, влияющих на эффективность действия различных ирригаторов в условиях вторичной эндодонтической инфекции.

Рассмотрение и анализ статей производились поэтапно. Первым критерием отбора являлся выбор публикаций, названия которых включали в себя как минимум 1 поисковое значение. Далее исключались работы, датированные позднее, чем 2015 год. На последнем этапе было произведено изучение содержания полнотекстовых вариантов отобранных статей.

Данные Cochrane Collaboration были использованы для оценивания риска возникновения систематической ошибки. [38, 39], причем тесты были проведены на каждом из этапов отбора, согласно Higgins et al [39]. Уровни систематической ошибки, следующие: низкий – все критерии выполнены; умеренный – отсутствует один критерий; высокий – два или более критерия отсутствуют; неясный – мало деталей для принятия решения риске.

РЕЗУЛЬТАТЫ

Были рассмотрены 73 статьи, из которых 10 приходилось на базу PubMed, 62 – Google Scholar и 1 ссылка

из списка литературы в найденной публикации. Произведя отбор по критериям исключения, итоговое количество работ составило 41. В отобранных статьях были проанализированы актуальные данные по бактерицидной эффективности эндодонтических ирригаторов.

ОБСУЖДЕНИЕ

Неудачи эндодонтического лечения вызваны различными факторами и их сочетаниями, но решающую роль имеет возникновение вторичной эндодонтической инфекции. Вторичная колонизация возможна при несоответствующем протоколе работы на первичном приеме пациента (механическая и химическая обработка корневого канала), между посещениями, а также после, казалось бы, успешно проведенного лечения [1,2,4,7,10,26]. К сожалению, современные инструменты не способны в должной мере контактировать со стенками каналов, особенно суперовальных и иррегулярных форм, отмечается уровень соприкосновения лишь в 35%, что диктует обязательное использование дезинфицирующих растворов [8]. Микроорганизмы вторичной колонизации зачастую проявляют выра-

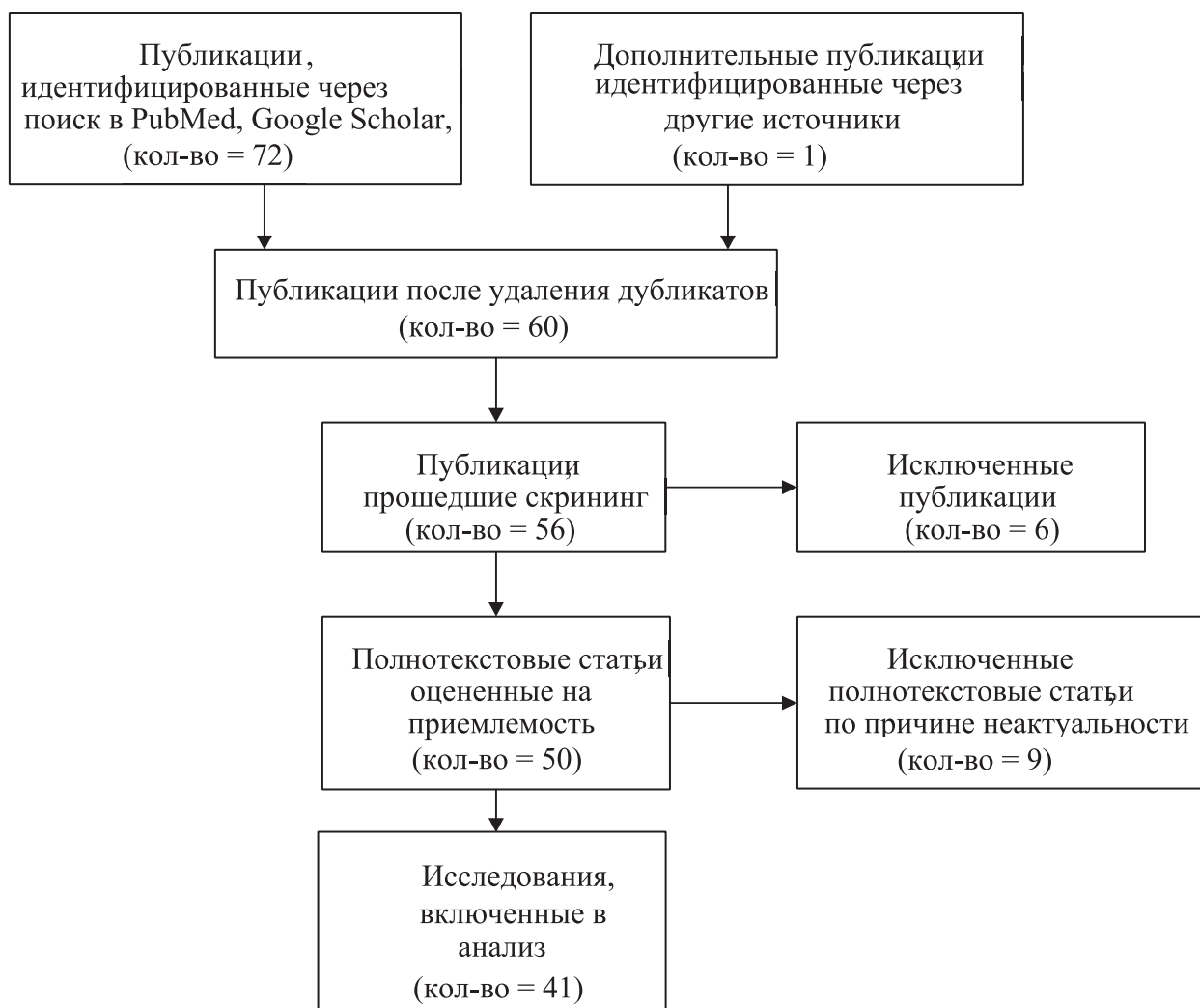


Схема 1. Процесс отбора статей [37].
Scheme 1. Article selection process [37].

Недашковский А.А. – студент.
Негорелова Я.А. – студент.

Медицинский институт Федеральное государственное автономное образовательное учреждение высшего образования «Российский университет дружбы народов» (РУДН), Москва, Россия.

AUTHOR INFORMATION:

Z.S. Khabadze – Ph.D., Associate Professor, Department of Therapeutic Dentistry, ORCID ID: 0000-0002-7257-5503.
Yu.A. Generalova – student.

V.S. Shubaeva – student.

F.R. Ismailov – Postgraduate Student, Department of Therapeutic Dentistry.

A.A. Nedashkovsky – student.

M.G. Sheroziia – student.

Ya.A. Negorelova – student.

Medical Institute RUDN University, Moscow, Russia.

Координаты для связи с авторами / Coordinates for communication with authors:

Хабадзе З.С. / Z.S. Khabadze, dr.zura@mail.ru

Аппаратурные методики мониторинга стоматологического лечения пациентов с цервикобрахиалгией

© Митронин А.В.¹, Болдин А.В.^{1,2}, Заушникова Т.С.¹, Кудрявцев Ю.Л.³, Митерева М.И.¹

¹Федеральное государственное бюджетное образовательное учреждение высшего образования «Московский Государственный медико-стоматологический университет им. А.И. Евдокимова»

Министерства здравоохранения Российской Федерации, Москва, Россия

²Институт Биомедицинской химии им. В.Н. Ореховича, Москва, Россия

³Федеральное государственное бюджетное учреждение здравоохранения Центральная медико-санитарная часть № 119 Федерального медико-биологического агентства России, Москва, Россия

Резюме:

Актуальность. Боль, локализованная в смежных анатомических областях, представляет собой актуальную проблему для врачей различных специальностей.

Цель. Разработка алгоритма диагностики и комплексной программы лечения пациентов с цервикобрахиалгией, сочетанной с патологической дентальной окклюзией.

Материалы и методы. В исследовании принимали участие 90 человек обоего пола в возрасте от 18 до 55 лет в составе 3 клинических групп исследования (по 25 человек) и 1 группы контроля (15 практически здоровых лиц). Сравнение проводилось в зависимости от выбранной тактики лечения: в 1 группе применяли только мануальную терапию; во 2 группе – только стоматологическое лечение; в 3 – группе – сочетание мануальной терапии и стоматологической реабилитации с коррекцией окклюзионных взаимоотношений челюстей. Всем пациентам назначали фармакотерапию с НПВС для купирования миофасциального болевого синдрома на уровне мышц шеи и плечевого пояса.

Результаты. Был выявлен наиболее эффективный алгоритм диагностики и комплексного лечения пациентов с цервикобрахиалгией. А именно, статистически значимые положительные результаты отмечены у пациентов 3 группы, где проводили параллельно мануальную терапию, фармакотерапию и комплексное стоматологическое лечение.

Выводы. Целесообразно у «сложных» пациентов проводить 3D-рентген визуализацию, компьютерные функциональные методы исследования челюстно-лицевой области и смежных областей для выявления причины и взаимосвязей заболевания пациента.

Ключевые слова: цервикобрахиалгия, Т-сканирование окклюзии, электромиография, реставрация зубов.

Статья поступила: 07.09.2020; **исправлена:** 28.11.2020; **принята:** 05.12.2020.

Конфликт интересов: Авторы декларируют отсутствие конфликта интересов.

Для цитирования: Митронин А.В., Болдин А.В., Заушникова Т.С., Кудрявцев Ю.Л., Митерева М.И. Аппаратурные методики мониторинга стоматологического лечения пациентов с цервикобрахиалгией. Эндодонтия today. 2020; 18(4):44-49. DOI: 10.36377/1683-2981-2020-18-4-44-49.

Apparatus methods for monitoring dental treatment of patients with cervicobrachialgia

© A.V. Mitronin¹, A.V. Boldin^{1,2}, T.S. Zaushnikova¹, Yu.L. Kduryavtsev², M.I. Mitereva¹

¹"A.I. Yevdokimov Moscow State University of Medicine and Dentistry" of the Ministry of Healthcare of the Russian Federation, Moscow, Russia

²V.N. Orekhovich Research Institute of Biomedical Chemistry, Moscow, Russia

³Central medical and sanitary unit № 119 Federal Medical-Biological Agency", Moscow, Russia

Abstract:

Relevance. Pain localized in the anatomical areas adjacent to the temporomandibular joint is an actual problem for doctors of various specialties.

Aim. To develop a diagnostic algorithm and a comprehensive program for the treatment of patients with cervicobrachialgia combined with pathological dental occlusion.

Materials and methods. The study involved 90 people of both sexes aged 18 to 55 years; they were divided into 3 clinical study groups (25 people each) and 1 control group (15 healthy individuals). The comparison was carried out depending on the chosen treatment tactics: manual therapy was used in group 1, dental treatment was performed in group 2, a combination of manual therapy and dental rehabilitation with correction of occlusal relationships of the jaws was in group 3.

Results. All patients were prescribed pharmacotherapy with NSAIDs to relieve myofascial pain at the level of the muscles of the neck and shoulder girdle. As a result of the study, the most effective algorithm for diagnosis and complex treatment of patients with cervicobrachialgia was identified.

Conclusions. Namely, statistically significant positive results were observed in patients of group 3, where manual therapy, pharmacotherapy and complex dental treatment was conducted. In "difficult" patients it is advisable to carry out 3D X-ray visualization, computer functional methods for studying the maxillofacial area and adjacent areas to identify the cause and interrelationships of the patient's disease.

Keywords: cervicobrachialgia, T-scan, electromyography, dental restoration.

Received: 07.09.2020; **revised:** 28.11.2020; **accepted:** 05.12.2020.

Conflict of interests: The authors declare no conflict of interests.

For citation: A.V. Mitronin, A.V. Boldin, T.S. Zaushnikova, Yu.L. Kduryavtsev, M.I. Mitereva. Apparatus methods for monitoring dental treatment of patients with cervicobrachialgia. Endodontics today. 2020; 18(4):44-49. DOI: 10.36377/1683-2981-2020-18-4-44-49.

АКТУАЛЬНОСТЬ

Основной причиной обращений к врачам различных специальностей является боль [1-3] Большое количество рецепторов в челюстно-лицевой области, расположение органов чувств и анатомическая близость с другими областями способствует распространению и иррадиации болей, вызывает трудности в диагностике первоисточника возникновения боли и зачастую приводит к несистемному лечению. Хронические проекционные (крайнефациальные боли, орофациальные боли, нейростоматологические заболевания и синдромы, стоматоневрологические синдромы) и цервикалгии – одна из актуальных современных клинических проблем, снижающих работоспособность и качество жизни и привлекающая внимание специалистов различного профиля. Рядом авторов установлено, что положение головы и окклюзия зубных рядов оказывают влияние на постуральную систему организма, отвечающую за установку тела человека в пространстве [4-6].

Нарушение окклюзии в результате протезирования или лечения кариеса являются одним из этиологических факторов, приводящих к дисфункции височно-нижнечелюстного сустава [7, 8], и могут сочетаться с аномалиями прикуса и нарушениями осанки [4]. Смещение нижней челюсти в любую сторону приводит к нарушению равновесия головы, что является дополнительной нагрузкой на мышцы шеи, и при наложении других неблагоприятных факторов, таких как бруксизм, возникает синдром дисфункции ВНЧС [9]. При этом этиология и патогенез цервикобрахиалгий до сих пор остается невыясненными. В этой связи, несомненный интерес вызывает изучение взаимодействия опорно-двигательного аппарата, органов равновесия с зубочелюстной системой [10 – 11].

ЦЕЛЬ

Разработка алгоритма диагностики и комплексной программы лечения пациентов с цервикобрахиалгией, сочетанной с патологической дентальной окклюзией.

МАТЕРИАЛЫ И МЕТОДЫ

Клиническое исследование проводилось на базе кафедры кариесологии и эндодонтии ФГБОУ ВО «Московский государственный медико-стоматологический университет им. А.И. Евдокимова» Минздрава

России (стоматологическая поликлиника СВАО) в период с 2016 по 2019 гг. Всего в исследовании принимали участие 90 человек обоего пола в возрасте от 18 до 55 лет в составе 3 клинических групп исследования (по 25 человек) и 1 группы контроля (15 практически здоровых лиц). Средний возраст пациентов, обратившихся по поводу болей в области шеи и верхнего плечевого пояса, составил $37,4 \pm 2,5$ лет.

При формировании клинических групп руководствовались следующими критериями включения: цервикобрахиалгия с клиническими проявлениями миофасциального болевого синдрома на уровне шеи и плечевого пояса; наличие у пациентов патологических изменений окклюзии, возникших после лечения кариеса зубов и его осложнений, и сочетающиеся с дисфункцией ВНЧС; наличие от 28 до 32 зубов, имеющих нарушения морфологии окклюзионных поверхностей.

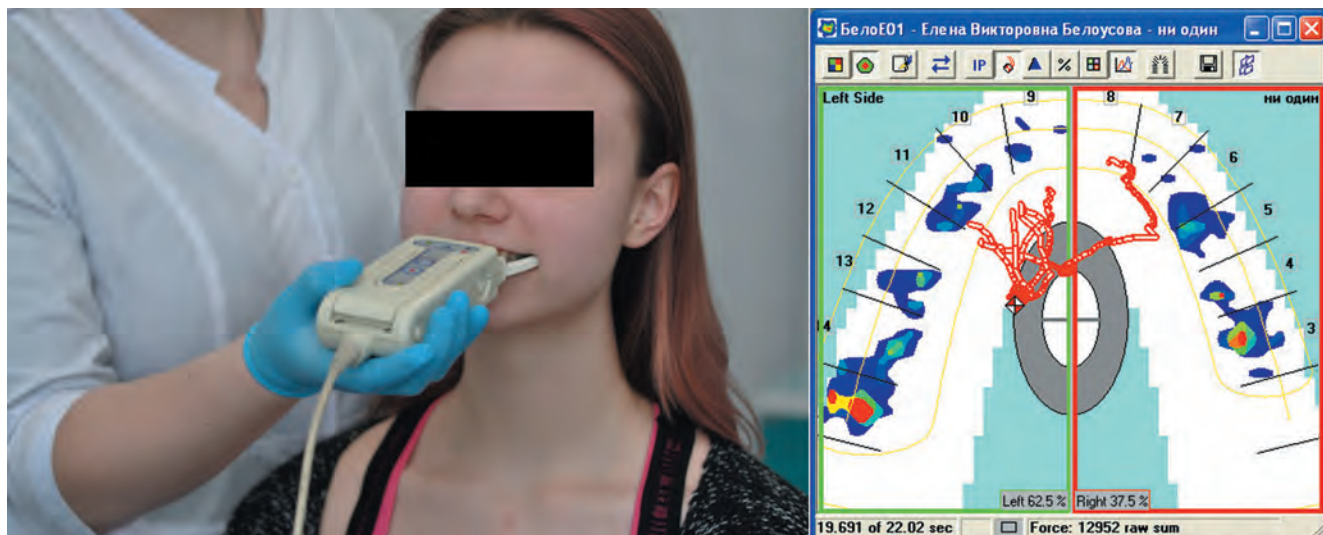
Критерии невключения и исключения были стандартными для подобных исследований. Всеми пациентами была подписана форма информированного согласия.

Первично проводили консультацию мануального терапевта с обязательной оценкой статикодинамических нарушений и двигательных паттернов на уровне шейного отдела позвоночника, используя методы мануального мышечного тестирования и постурологические тесты с использованием шпателя или марлевых валиков, для выявления значимости окклюзионных нарушений. Затем проводили клиническое стоматологическое обследование (сбор жалоб и анамнеза заболевания, клинический осмотр, ответы на вопросы стоматологического опросника, проведение «Гамбургского тестирования», рентгенологическое обследование).

Для выявления признаков функциональных нарушений со стороны стоматогнатической системы и изменений на уровне шеи и плечевого пояса нами был применен протокол расширенного функционального диагностического обследования.

Оценку взаимоотношений зубных рядов, характер смыкания, распределение жевательного давления оценивали компьютерным анализатором T-scan III (Teckscan, США) (Рис. 1, 2).

Электромиографию (ЭМГ) проводили на портативном компьютеризированном аппарате BioPak-EMG, (Bioresearch, США), согласно заложенному в программ-



**Рис. 1. А – Методика определения привычного смыкания зубов аппаратом T-scan.
Б – Окклюзиограмма пациента Б., пациент 1969 г. рождения с цервикобрахиалгией и дисфункцией ВНЧС.**

**Fig. 1. A – Method for determining the habitual closing of teeth using the T-scan apparatus.
B – Occlusiogram of patient B., Patient born in 1969 with cervicobrachialgia and TMJ dysfunction.**



Рис. 2. Наложение окклюзионной капы на верхний зубной ряд у пациента с цервикобрахиалгией и дисфункцией ВНЧС.

Fig. 2. Applying an occlusive guard to the upper dentition in a patient with cervicobrachialgia and TMJ dysfunction.

ное обеспечение стандартному протоколу обследования и записи функциональных проб. Т-сканирование и ЭМГ выполняли на каждом этапе комплексного лечения пациентов с цервикобрахиалгией.

Первый этап стоматологического лечения был направлен на устранение признаков дисфункции ВНЧС, нормализацию соотношения челюстей при помощи окклюзионной терапии, а затем переходили ко второму этапу реставрационное перелечивание зубов, восстановленных без учета анатомо-функциональных признаков. Пациентам изготавливали индивидуальную капу, как правило на верхнюю челюсть, которая оказывала лечебный эффект путем нормализации тонауса мышц, выравнивания мышечных сокращений и нормализации положения головок нижней челюсти в суставных ямках (Рис. 2).

Коррекцию окклюзионных контактов на капе проводили 1 раз в 3 недели (среднее время адаптации), также учитывали изменения в состоянии зубочелюстной системе и шее, ВНЧС. Ношение капы рекомендовали

на период от 1 до 3 месяцев, затем переходили к восстановлению анатомо-функциональной целостности зубов, ранее леченых по поводу кариеса. При значительном разрушении коронок зубов пациентам изготавливали непрямые реставрации с использованием CAD/CAM-системы (CEREC, Германия).

Всем пациентам назначали медикаментозное лечение по поводу основного заболевания, с учетом риска при лечении НПВС: нимесулид или кеторолак по схеме, в зависимости от выявленной сопутствующей патологии. Длительность фармакотерапии составляла 7 – 14 дней и проводилась параллельно с ношением релаксирующей капы. В состав комплексного лечения цервикобрахиалгии пациентам всех групп проводили мануальную терапию.

Статистическую обработку результатов исследования осуществляли по стандартным формулам математической статистики с помощью пакета программ STATISTICA for Windows (версия 7.0) и Microsoft Excel 2010 для проведения корреляционного анализа.

РЕЗУЛЬТАТЫ

В результате 3-х летнего наблюдения пациентов с болевыми синдромами на уровне шеи и плечевого пояса, сочетающихся с дисфункцией ВНЧС и окклюзионными нарушениями, и наших исследований, был разработан оптимальный комплексный подход на основе функционально-физиологической реабилитации окклюзионно-мышечного равновесия зубных рядов при необходимости проведения оперативно-восстановительного лечения зубов у данной категории больных.

Длительность основного заболевания у пациентов, страдающих болевыми синдромами на уровне шеи и верхнего плечевого пояса, составляла в среднем $6,9 \pm 0,5$ года. Подавляющее большинство пациентов (72%) имело миофасциальную причину возникновения боли в шейном отделе позвоночника, без признаков выраженных структурных изменений.

При осмотре полости рта отмечали факторы перегрузки зубочелюстной системы даже при наличии полного комплекта зубов. Нами отмечены несостоительные аппроксимальные контакты при восстановлении

полостей II класса по Блеку, плоские окклюзионные поверхности жевательной группы зубов, нарушение прилегания пломб, вторичные кариозные полости в ранее леченных зубах, некачественные ортопедические конструкции (сколы керамики, несоответствие формы коронки анатомическим структурам зуба, нарушение прилегание ортопедической конструкции в пришеечной области).

При анализе Т-сканирований установлено, что патологические изменения смыкания зубов у пациентов, такие как нарушение вектора силовой нагрузки, увеличение смыкания более 0,4 с и др. (рис. 3).

Наиболее часто отмечали дисбаланс справа и слева в пределах от 20% до 34% у пациентов основной группы и в пределах 10% у пациентов группы контроля. Распределение пациентов по уровню дисбаланса слева и справа статистически значимо различалось ($p < 0,05$). Среднее время при открывании рта у пациентов основной группы составило $2,25 \pm 0,4$ с и было статистически значимо выше, чем у пациентов контрольной группы ($0,33 \pm 0,11$ с, $p < 0,05$, t-критерий), что свидетельствовало о повышении тонуса жевательной группы и коррелировало также с дисфункциональными изменениями ВНЧС. Более чем у половины пациентов (63,2%) основной группы пара антагонистов, с подтвержденными суперконтактами, находились на стороне, несущей наибольшую окклюзионную нагрузку и также была сопряжена в более чем половине случаев с ДВНЧС на этой стороне. Что позволяет сделать вывод о наличии прямой взаимосвязи изменений окклюзионных взаимоотношений челюстей в результате лечения или протезирования дефектов зубов и возникновением/усугублением симптомов травматической окклюзии с формированием привычной окклюзии (как адаптационного механизма) и формированием ДВНЧС.

Мануальное мышечное тестирование выявило функциональную гипотонию мышц шеи и плечевого пояса, причем наиболее часто она наблюдалась со стороны грудино-ключично-сосцевидной мышцы 55 чел. (73,3%), функциональная мышечная слабость передней лестничной мышцы у 43 чел. (57,3%), коротких флексоров шеи у 47 чел. (62,6%), дельтовидной мышцы у 41 пациента (54,6%), верхней порции трапециевидной у 33 чел. (44%), коротких экстензоров шеи у 26 чел. (34,6%).

При обследовании пациентов с миофасциальными болевыми синдромами на уровне шеи и плечевого пояса у 43 человек были выявлены рентгенологические признаки ДВНЧС, а у 9 пациентов основной группы с выявленным 6 балльным рангом по Гамбургскому тесту в 100% случаев подтверждены различные морфологические изменения ВНЧС. В связи с чем, можно говорить о значительном вкладе стоматогнатической патологии в вертебральные нарушения на уровне шеи.

По данным электромиографии жевательных мышц мы регистрировали значительные отклонения от нормы у пациентов основной группы исследования. Асинхронная работа жевательных мышц выявлена в 86,6% случаев, повышение потенциалов в состоянии покоя отмечали в 64% случаев. Средняя амплитуда ЭМГ височных мышц составляла в состоянии покоя, а при воловом смыкании челюстей варьировала от 12,6 мкВ до 220 мкВ. Характеристика электромиографических данных по жевательным мышцам имела статистически значимые отличия от группы контроля (табл. 1).

Результаты обследования пациентов спустя 14 дней после начала комплексного лечения различались в

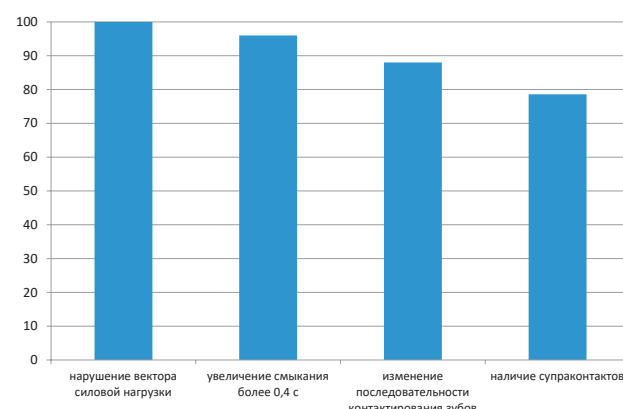


Рис. 3. Диаграмма распределения патологических признаков у обследованных пациентов по данным сканирования окклюзионных контактов аппаратом T-scan.

Fig. 3. Diagram of the distribution of pathological signs in the examined patients according to the scanning of occlusal contacts by the T-scan.

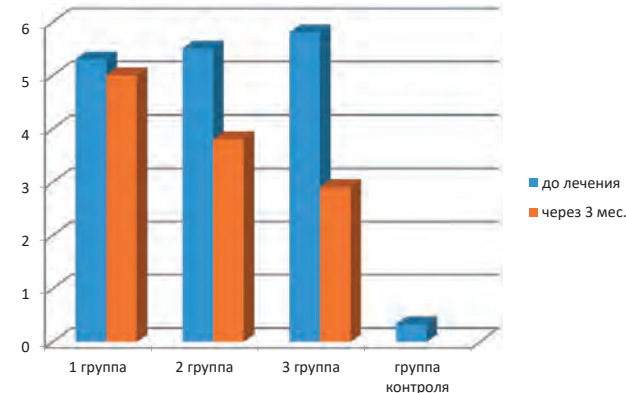


Рис. 4. Динамика балльной оценки Гамбургского теста в ходе реализации плана лечения.

Fig. 4. The dynamics of the score of the Hamburg test during the implementation of the treatment plan.

зависимости от выбранной стратегии терапии цервикобрахиалгии. Улучшение симптоматики по основной жалобе на боль в области шеи и верхнего плечевого пояса наиболее быстро происходило в группе с комплексной коррекцией стоматогнатической системы. Данная тенденция сохранялась на протяжении всего периода наблюдения за пациентами группы (более 2-х лет), где эстетическое реставрационное лечение было проведено с учетом требований нейромышечной стоматологии.

Восстановление межокклюзионной высоты прямыми и непрямыми реставрационными методами в 67% случаев (2 и 3 группы) положительно влияло на количество баллов по Гамбургскому тесту и статистически значимо снижалось в сравнении с исходными данными, в то время как в 1 группе достоверного снижения количества баллов не произошло. (рис. 4)

При восстановлении окклюзионных поверхностей зубов у пациентов с цервикобрахиалгией проводили балансировку окклюзии по Т-скану, добиваясь разницы в пределах 10%. Отметим, что идеального соотношения вектора окклюзионной нагрузки у 30 пациент-

Таблица 1. Динамика биопотенциалов жевательных мышц у пациентов основной группы.

Table 1. Dynamics of the biopotentials of the masticatory muscles in patients of the main group.

Параметр ЭМГ	группа 1 (n=25)		группа 2 (n=25)		группа 3 (n=25)		группа контроля
	до лечения	после лечения	до лечения	после лечения	до лечения	после лечения	
m.temporalis (dext.)	3,17	2,9*, **	3,29	1,99*, **	3,56	2,19*, **	1,95
m.temporalis (sin.)	3,33	2,7*, **	3,2	2,35*, **	3,5	2,05*, **	1,90
m.masseter (dext.)	2,8	2,5*, **	2,5	1,92*, **	2,71	1,9*, **	1,7
m.masseter (sin.)	2,3	2,4	2,7	1,99*, **	2,65	2,0*, **	1,9

Примечание:* – различия по сравнению с исходным уровнем достоверны ($p < 0,05$)** – различия по сравнению с контрольной группой достоверны ($p < 0,05$)

ентов основных групп достичь все же не удалось в связи с необходимостью проведения ортодонтической коррекции.

В ходе мониторинга биопотенциалов поверхностной электромиографией BioPak-EMG было установлено улучшение параметров записываемых потенциалов и восстановление синхронности работы жевательной группы мышц, во всех группах исследования. Однако наиболее эффективной оказалась схема, примененная у пациентов III группы лечения, включавшая стоматологическое лечение, мануальную терапию и фармакотерапию (табл. 1)

ОБСУЖДЕНИЕ

Восстановление окклюзионных параметров, показателей симметрии синергии и уровня активности биопотенциалов жевательных мышц по данным компьютеризированного анализа оказывает положительное влияние и на лечение цервикобрахиалгии. Пациенты, которым проводилось реставрационное лечение с окклюзионной коррекцией, отмечали значительное улучшение качества смыкания зубов, наряду с регрессией болевых ощущений в шее и плечевом поясе

По данным Т-сканирования и ЭМГ установлено, что восстановление анатомических параметров зубов

СПИСОК ЛИТЕРАТУРЫ:

1. Рабинович С.А., Зорян Е.В. Индивидуальный выбор нестероидных противовоспалительных препаратов (НПВП) в стоматологической практике. Стоматолог-Практик. 2015;7: 12.
2. Gremillion, H.A. The prevalence and etiology of temporomandibular disorders and orofacial pain. H.A. Gremillion. Tex. Dent. J. 2000; 117(1): 30 - 39.
3. Karamat A1, Smith JG2, Lambru G3, Renton T4. Changing face of orofacial pain: The diagnostic impact of working with Neurology on an orofacial pain clinic. Int J Oral Maxillofac Surg. 2018 Dec 13. pii: S0901-5027(18)30440-5.
4. Реабилитация пациента с краниомандибулярной дисфункцией. А.А. Григоренко, Д.А. Волчек, Г.Б. Оспанова. Клиническая стоматология. 2012; 3: 26-29.
5. D'Attilio, M. The Influence of an Experimentally-Induced Malocclusion On Vertebral Alignment in Rats: A Controlled Pilot Study. M. D'Attilio, M. R. Filippi, B. Femminella et al. Cranio. 2005; 23(2): 119-129
6. Hellsing, E. The relationship between craniofacial morphology, head posture and spinal curvature in 8, 11 and 15-year-old children. E Hellsing, T. Reigo, J. McWilliam, E. Spangfort. Eur. J. Orthod. 1987; 9 (4): 254-264
7. Ландузи, Ж.-М. Височнонижнечелюстной сустав. СПб. 2014: 276.
8. Смуклер Х. Нормализация окклюзии при наличии интактных и восстановленных зубов. М.: Издательство «Азбука», 2006: 136.
9. Хватова В.А. Функциональная диагностика и лечение в стоматологии. М. 2007: 293.
10. Смирнов В.Г., Митронин А.В., Курумова Д.Е., Митронин В.А. Глубокая область лица; возрастные и индивидуальные закономерности в строении костно-мышечных структур. Эндодонтия today. 2013;4: 7-10
11. Tekia M, Ghozlen HB, Zaier AY, Hnia MB, Naouar N, Abid F. Cervical spine tuberculosis. Pan Afr Med J. 2020 Sep 2;37:7.
5. D'Attilio, M. The Influence of an Experimentally-Induced Malocclusion On Vertebral Alignment in Rats: A Controlled Pilot Study. M. D'Attilio, M. R. Filippi, B. Femminella et al. Cranio. 2005; 23 (2): 119-129.
6. Hellsing, E. The relationship between craniofacial morphology, head posture and spinal curvature in 8, 11 and 15-year-old children. E Hellsing, T. Reigo, J. McWilliam, E. Spangfort. Eur. J. Orthod. 1987; 9 (4): 254-264
7. Landouzy, J.-M. Temporomandibular joint. SPb. 2014: 276.
8. Smukler H. Normalization of occlusion in the presence of intact and restored teeth. Moscow: Azbuka Publishing House, 2006: 136.
9. Khvatova V.A. Functional diagnostics and treatment in dentistry. M. 2007: 293.

10. Smirnov V.G., Mitronin A.V., Kurumova D.E., Mitronin V.A. Deep face area; age and individual patterns in the structure of musculoskeletal structures. *Endodontics today.* 2013; 4: 7-10.
11. Teka M, Ghozlen HB, Zaier AY, Hnia MB, Naouar N, Abid F. Cervical spine tuberculosis. *Pan Afr Med J.* 2020 Sep 2; 37: 7.

ИНФОРМАЦИЯ ОБ АВТОРАХ:

Митронин А.В.¹ – профессор, доктор медицинских наук, декан стоматологического факультета МГМСУ, заведующий кафедрой, Заслуженный врач РФ, ORCID ID: 0000-0002-3561-6222.

Болдин А.В.^{1,2} – к.м.н., сотрудник.

Заушникова Т.С.¹ – сотрудник.

Кудрявцев Ю.Л.³ – сотрудник.

Митерева М.И.¹ – доцент, кандидат медицинских наук, заместитель декана стоматологического факультета.

¹Федеральное государственное бюджетное образовательное учреждение высшего образования «Московский Государственный медико-стоматологический университет им. А.И. Евдокимова» Министерства здравоохранения Российской Федерации, Москва, Россия.

²Институт Биомедицинской химии им. В.Н. Ореховича, Москва, Россия.

³Федеральное государственное бюджетное учреждение здравоохранения Центральная медико-санитарная часть № 119 Федерального медико-биологического агентства России, Москва, Россия.

AUTHOR INFORMATION:

A. V. Mitronin¹ – professor, Doctor of Medical Sciences, Dean of the Faculty of Dentistry, Head of the Department, Honored Doctor of Russian Federation, ORCID ID 0000-0002-3561-6222.

A. V. Boldin^{1,2} – Ph.D., employee.

T.S. Zaushnikova¹ – employee.

Yu.L. Kudryavtsev³ – employee.

Mitereva M.I.¹ – Associate Professor, Candidate of Medical Sciences, Deputy Dean of the Faculty of Dentistry.

¹Federal State Budgetary Educational Institution of the Higher Education “A.I. Yevdokimov Moscow State University of Medicine and Dentistry” of the Ministry of Healthcare of the Russian Federation, Moscow, Russia.

²V.N. Orekhovich Research Institute of Biomedical Chemistry, Moscow, Russia.

³Federal State budgetary health institution "Central medical and sanitary unit № 119 Federal Medical-Biological Agency", Moscow, Russia.

Координаты для связи с авторами / Coordinates for communication with authors:

Заушникова Т.С. / T.S. Zaushnikova, E-mail: Tanushazs@mail.ru

AUTHOR INFORMATION:

Yu.A. Generalova¹ – student.

P.S. Konstantinova¹ – student.

Ali Ashrf¹ – student.

A.V. Zoryan¹ – Ph.D., Associate Professor, Department of Therapeutic Dentistry.

A.S. Karnaeva¹ – Ph.D, Senior Lecturer of the Department of Therapeutic Dentistry, ORCID ID: 0000-0002-1631-5440.

Kh.O. Omarova² – Ph.D, Head of the Department of Propaedeutic and Preventive Dentistry.

I.A. Voronov¹ – Doctor of Medical Sciences, Professor of the Department of Prosthodontic Dentistry.

¹Peoples' Friendship University of Russia (RUDN University), Moscow, Russia.

²Dagestan State Medical University, Makhachkala, Russia.

Координаты для связи с авторами / Coordinates for communication with authors:

Генералова Ю.А. / Yu.A. Generalova, E-mail: Generalova_ya@rudn.university

Интенсивность развития соматических и онкозаболеваний детского населения г. Кизляр и г. Хасавюрт

© Османова Ф.И., Османов И.Н., Косырева Т.Ф.

Федеральное государственное автономное образовательное учреждение высшего образования «Российский университет дружбы народов» (РУДН), Москва, Россия

Резюме:

Цель. Изучение развития соматических и онкозаболеваний и состояние зубочелюстной системы в качестве индикатора соматического здоровья на примере города Кизляр (город экологического неблагополучия) и города Хасавюрт (экологического благополучия).

Материалы и методы. Для определения состояния здоровья детей и их матерей проводилось анкетирование 1015 детей и (или) их родителей (три возрастные группы исследования), из них 528 девочек и 487 мальчиков и для сравнения 542 детей в возрасте 2-17 лет г. Хасавюрт (экологического благополучия) северной зоны Дагестана. Критерии отбора пациентов: 1) идентичный район проживания (г. Кизляр, г. Хасавюрт); 2) дети дошкольного возраста от 2-6 лет (1, 2, 3-й группы здоровья при отсутствии соматических заболеваний в суб- и декомпенсированной формах), 4-й группы здоровья, имеющих хронические соматические заболевания и врожденные пороки развития; 3) Дети в возрасте периода смешанного окклюзии от 7 до 13 лет, 1-4 группы здоровья; 4) Дети в возрасте постоянного окклюзии от 14 до 17 лет, 1-4 группы здоровья.

Результаты. По данным исследования школьников в возрасте от 7 до 17 лет в г. Кизляр 47,1% детей с привычным ротовым дыханием или смешанным типом дыхания. Инфантальный тип глотания у детей встречался в 23,8% случаев. Нарушение осанки у детей наблюдалось в 29% случаев, тогда как у детей, г. Хасавюрт, данный вид нарушений встречался лишь в 10,5% случаев. Основные локализации злокачественных новообразований у мужского населения – органы дыхания, желудок, кожа, мочевой пузырь, губа; в структуре онкозаболеваемости женского населения наибольшее число больных с новообразованиями молочной железы, кожи, лимфатической и кроветворной ткани, шейки матки, желудка.

У населения (период постоянного прикуса) отмечено существенное снижение опухолей с 0,8% до 0,4% из 1000 обследованных, эндокринной системы с 0,5% до 0,4%, заболевания крови с 0,2% до 0,1%.

Выводы. Полученные результаты подтверждают наличие и факт развития соматических и онкозаболеваний от неблагоприятных факторов региона проживания. Все показатели по городу Хасавюрт (город экологического благополучия) ниже в 2 раза данных города Кизляр (город экологического неблагополучия).

Ключевые слова: опухоль, онкозаболеваемость, группа здоровья, среда экологического неблагополучия, соматическая заболеваемость, тип дыхания, регион проживания, злокачественные новообразования.

Статья поступила: 14.09.2020; **исправлена:** 19.11.2020; **принята:** 01.12.2020.

Конфликт интересов: Авторы декларируют отсутствие конфликта интересов.

Для цитирования: Османова Ф.И., Османов И.Н., Косырева Т.Ф. Интенсивность развития соматических и онкозаболеваний детского населения г. Кизляр и г. Хасавюрт. Эндодонтия today. 2020; 18(4):58-64. DOI: 10.36377/1683-2981-2020-18-4-58-64.

Intensity of development of somatic diseases of children's population in Kizlyar and Khasavyurt and cancer incidence

© F.I. Osmanova, I.N. Osmanov, T.F. Kosyreva
RUDN University, Moscow, Russia

Abstract:

Aim. Study of the development of somatic and oncological diseases and the state of the dentoalveolar system as an indicator of somatic health on the example of the city of Kizlyar (a city of ecological trouble) and the city of Khasavyurt (ecological well-being).

Materials and methods. To determine the health status of children and their mothers, a survey was conducted of 1015 children and (or) their parents (three age groups of the study), of which 528 were girls and 487 were boys, and for

comparison, 542 children aged 2-17 years in the city of Khasavyurt (ecological well-being) northern zone of Dagestan. Patient selection criteria: 1) identical area of residence (Kizlyar, Khasavyurt); 2) children of preschool age from 2-6 years (1, 2, 3 health groups in the absence of somatic diseases in sub- and decompensated forms), 4 health groups with chronic somatic diseases and congenital malformations; 3) Children at the age of the period of changeable occlusion from 7 to 13 years old, 1-4 health groups; 4) Children aged 14 to 17 years of permanent occlusion, 1-4 health groups.

Results. According to a study of schoolchildren aged 7 to 17 years in the city of Kizlyar, 47.1% of children with habitual mouth breathing or mixed breathing. Infantile type of swallowing in children was found in 23.8% of cases. Violation of posture in children was observed in 29% of cases, while in children from the city of Khasavyurt, this type of violation was observed only in 10.5% of cases. The main localizations of malignant neoplasms in the male population are the respiratory organs, stomach, skin, bladder, lip; in the structure of oncological morbidity in the female population, the largest number of patients with neoplasms of the mammary gland, skin, lymphatic and hematopoietic tissue, cervix, and stomach.

In the population (period of permanent occlusion), there was a significant decrease in tumors from 0.8% to 0.4% out of 1000 examined, the endocrine system from 0.5% to 0.4%, blood diseases from 0.2% to 0.1%.

Conclusions. The results obtained confirm the presence and development of somatic and oncological diseases from unfavorable factors in the region of residence. All indicators for the city of Khasavyurt (ecological well-being) 2 times lower than the data of the city of Kizlyar (city of ecological trouble).

Keywords: tumor, cancer incidence, health group, environment of ecological distress, somatic morbidity, type of respiration, region of residence, malignant neoplasms.

Received:14.11.2020 ; **revised:** 19.11.2020; **accepted:** 01.12.2020.

Conflict of interests: The authors declare no conflict of interests.

For citation: F.I. Osmanova, I.N. Osmanov, T.F. Kosyreva. Intensity of development of somatic diseases of children's population in Kizlyar and Khasavyurt and cancer incidence. Endodontics today. 2020; 18(4):58-64. DOI: 10.36377/1683-2981-2020-18-4-58-64.

АКТУАЛЬНОСТЬ

Республика Дагестан отличается сложной медико-экологической обстановкой. В последнее время наблюдается рост заболеваемости злокачественных новообразований, что связано с ухудшением состояния окружающей среды. За последние 5 лет смертность населения республики Дагестан от них выросла на 25,5% (с 65,3% на 100 тыс. населения в 2010 г. до 80,2% в 2019 г.). Повышение онкозаболеваемости предполагает экологически неблагополучную обстановку, поэтому важно изучить зависимость роста онкозаболеваемости от воздействия факторов экологической среды, как природных, так и антропогенных [1, 3, 5, 6, 10].

Согласно статистическим данным Министерства здравоохранения республики Дагестан (Показатели состояния здоровья населения Республики Дагестан в 2010-2019 гг.) общая заболеваемость населения в Кизлярском районе неуклонно растет. Так, с 2010 по 2019 гг., общая заболеваемость в Кизлярском районе возросла на 25%, достигнув максимального показателя в 2018 году: (638,0 на 100 тыс. населения – на 34,5%). В г. Кизляре за исследуемый период этот показатель вырос на 18%, достигнув максимума в 2018 году (798,2 на 100 тыс. населения – на 20%) [4, 5, 6, 7, 9]. Формирование зубов и челюстных костей, клинические проявления выраженных стоматологических заболеваний во многом определяются функциональным состоянием внутренних органов и систем. Известно, что одним из факторов, влияющих на состояние здоровья человека, и особенно ребенка, является экологическая ситуация. Ряд равнинных районов республики Дагестан имеют повышенный уровень загрязнения среды. Однако сами по себе показатели загрязнения воздуха, почвы, воды не всегда соответствуют степени их патогенности для человека [1, 2, 3, 4, 5, 6, 10]. Эту информацию, а значит и основание для профилактических мероприятий, можно получить только параллельным исследованием среды обитания и здоровья человека. В связи с этим следует изучать зависимость между со-

стоянием здоровья ребенка, экологическим фоном и стоматологическим статусом.

Мониторинг заболеваемости населения является одной из главных задач системы здравоохранения. Для адекватной оценки стоматологического статуса и потребности возрастных групп детей и взрослых в различных видах лечебно-профилактической помощи в большинстве стран мира проводят эпидемиологические стоматологические обследования населения по единым критериям, разработанным ВОЗ. В России проведено три эпидемиологических стоматологических исследования населения с разницей в 10 лет (в 1998 г., 2008 г. и 2018 г.) в 47 субъектах РФ с разными климатогеографическими условиями, где осмотрено 55 тысяч детей и взрослых. Однако данные исследования не изучали зависимость стоматологической заболеваемости с экологическим фоном, и они не проводились в республике Дагестан, расположенной между Ставропольским краем, Чеченской Республикой, Грузией и Азербайджаном, имеющей горные, предгорные и равнинные территории. Особенную озабоченность вызывает рост детской онкозаболеваемости. В литературе отсутствуют сведения о состоянии стоматологического и соматического здоровья детей на фоне экологической ситуации в северной зоне республики Дагестан в городах Кизляр и Хасавюрт и потребности в оказании стоматологической помощи детям и подросткам, что явилось основанием для проведения данной научно-исследовательской работы.

ЦЕЛЬ ИССЛЕДОВАНИЯ

Изучение влияния экологической ситуации в северной зоне республики Дагестан на соматическое здоровье детей и интенсивность развития онкозаболеваемости (на примере городов Кизляр и Хасавюрт).

Задачи исследований:

1. Определить роль экологического неблагополучия на соматическую заболеваемость детей и онкозаболеваемость.

REFERENCES:

1. Abakarova A.M., Khachirov D.G. Cancer morbidity in the child population of the Republic of Dagestan. Bulletin of the Dagestan State Pedagogical University. Makhachkala. 2011; 2: 73-80.
2. Astarkhanov I.R. The principles of ranking the territory according to the degree of pollution and the intensity of the ecological situation. Ecological problems of agriculture and scientific and practical ways of solving them. Makhachkala, 2017: 205-215.
3. Kosyreva T.F., Astarkhanova F.I. The impact of adverse environmental factors on the occurrence and prevalence of diseases in the Republic of Dagestan. E3S Web of Conferences Ser. "International Conference on Advances in Energy Systems and Environmental Engineering, ASEE 2019" 2019: 36.
4. Kosyreva T.F., Astarkhanova F.I. The prevalence of dentofacial anomalies and the prognosis of morbidity of the population living in the zone of ecological distress of the republic of dagestan. E3S Web of Conferences Ser. "International Conference on Advances in Energy Systems and Environmental Engineering, ASEE 2019": 37.
5. Gasangadzhieva A.G. Ecological and geographical principles of predicting the incidence of malignant neoplasms in the population of the Republic of Dagestan. South of Russia: ecology, development. 2010; 2: 178-208.
6. Osmanova F.I., Osmanov I.N. Factors of the development of dentoalveolar anomalies living in the zone of ecological disadvantage. Ivestya DagGAU; 2019; 2 (2): 10-14.
7. Omarieva E. Ya. Yu. Babayants IS, Panina L. Yu. Hygienic assessment of groundwaters of the Tersko-Kumsky Artesian basin, used by the population of the northern regions of Dagestan, due to the increased content of arsenic. ZniSO; 1998; 4: 10-12.
8. Ashurbekova T.N., Musinova E.M. Monitoring of the oncological morbidity of the population of the North Caucasian Federal District as an indicator of the ecological ill-being of the environment. Problems of the development of the agro-industrial complex of the region. 2013; 3 (15): 41-45.
9. Daudova M.G., Abdurakhmanov G.M., Gasangadzhieva A.G. Monitoring the state of malignant neoplasm morbidity in the child population in the Republic of Dagestan. South of Russia; 2014; 9 (1): 158-168.
10. Osmanova F.I., Osmanov I.N. Environmental risk factors for diseases of the dentition. W: Bulletin of the Bashkir State Medical University. 2020; 2: 19-27.

ИНФОРМАЦИЯ ОБ АВТОРАХ:

Оманова Ф.И. – аспирант кафедры стоматологии детского возраста и ортодонтии Медицинского института, ORCID ID: 0000-0002-5313-186X.

Оманов И.Н. – аспирант кафедры стоматологии детского возраста и ортодонтии Медицинского института, ORCID ID: 0000-0003-4155-6083.

Косырева Т.Ф. – д.м.н.. профессор, заведующий кафедрой стоматологии детского возраста и ортодонтии Медицинского института.

Федеральное государственное автономное образовательное учреждение высшего образования «Российский университет дружбы народов» (РУДН), Москва, Россия.

AUTHOR INFORMATION:

F.I. Osmanova – postgraduate student of the Department of Pediatric Dentistry and Orthodontics, Medical Institute, ORCID ID: 0000-0002-5313-186X.

I.N. Osmanov – postgraduate student of the Department of Pediatric Dentistry and Orthodontics, Medical Institute, ORCID ID: 0000-0003-4155-6083.

T.F. Kosyreva – doctor of medical sciences. professor. Head of the Department of Pediatric Dentistry and Orthodontics, Medical Institute.

RUDN University, Moscow, Russia.

Координаты для связи с авторами / Coordinates for communication with authors:

Оманова Ф.И. / F.I. Osmanova, E-mail: faridka.astarhanova@mail.ru

используются для коррекции дефицита тканей [3] и по-прежнему остаются золотым стандартом для увеличения мягких тканей благодаря хорошему сохранению объема и отсутствию побочных эффектов. Однако аутогенные трансплантаты всегда нуждаются в донорском участке, что может привести к осложнениям и возможному повреждению анатомических структур [4].

Таким образом начались разработки биоматериалов в качестве альтернативы аутогенным трансплантатам [5]. Они включают аллотрансплантаты, ксено-трансплантаты и синтетические заменители мягких тканей (коллагеновые матрицы) [6–8]. Коллагеновые матрицы показали приемлемую интеграцию тканей. При применении коллагеновой матрицы время хирургического вмешательства значительно сокращается по сравнению с аутогенной трансплантацией [9]. Регенерированные области имеют внешний вид, похожий на окружающие естественные мягкие ткани по текстуре и цвету, что делает их использование предпочтительным в эстетических зонах [9].

Недавно была разработана новая высокопористая и стабильная по объему матрица на основе коллагена для увеличения мягких тканей вокруг зубов и дентальных имплантатов [10]. Такой биоматериал биосовместим, допускает прорастание кровеносных сосудов и клеток-предшественников и выдерживает механические силы, возникающие в результате наложения швов и жевания, тем самым поддерживая объем ткани. Исследования *in vivo* и *in vitro* продемонстрировали оптимальные механические, биологические и анатомические свойства таких матриксов [11–13]. Коллагеновая матрица состоит из 60–96% свиного коллагена I и III типов и 4–40% эластина, имеет средний диаметр пор 92 мкм и объемную пористость 93% с соединенными между собой порами. Жесткость каркаса была достигнута за счет химического сшивания. Клинически увеличение мягких тканей с использованием матрицы привело к увеличению объема, не уступающему со-



Рис. 1. Дефицит мягких тканей у пациента с установленным имплантатом и формирователем десневой манжеты.

Fig. 1. Soft tissue deficiency in a patient with an implant and a healing abutment.

единительнотканным трансплантатам у имплантатов в эстетической зоне [14] и минимальной потере толщины мягких тканей через шесть месяцев после имплантации [15].

ЦЕЛЬ

Клиническое изучение кератинизированной десны с использованием стабильной по объему коллагеновой матрицы (Fibro-Gide® prototype, Geistlich Pharma, Вольхузен, Швейцария) через первые 6 месяцев после мягкотканной аугментации.

МАТЕРИАЛЫ И МЕТОДЫ

Данное клиническое исследование включало в себя 59 пациентов (27 мужчин и 32 женщины, в возрасте от 27 до 50 лет). Были применены следующие критерии включения: пациенты не имели заболеваний пародонта, хороший уровень гигиены, не курящие. Все пациенты дали письменное согласие перед хирургической процедурой. Аугментация проводилась у одного имплантата в области включенного дефекта (рис. 1).

Хирургический протокол включал в себя следующие этапы: супракрестальный разрез с отслоением полнослойного лоскута. Установка объема стабильного коллагенового матрикса (Fibro-Gide® prototype, Geistlich Pharma, Вольхузен, Швейцария) в данной области (рис. 2, 3). Ушивание лоскута было проведено с помо-



Рис. 2. Подготовка коллагенового матрикса.

Fig. 2. Collagen matrix preparation.



Рис. 3. Коллагенновый матрикс *in situ*.

*Fig. 3. Collagen matrix *in situ*.*

6. Yukna, R.A.; Tow, H.D.; Carroll, P.B.; Vernino, A.R.; Bright, R.W. Comparative clinical evaluation of freeze-dried skin allografts and autogenous gingival grafts in humans. *J. Clin. Periodontol.* 1977; 4: 191–199.
7. Wainwright, D.J. Use of an acellular allograft dermal matrix (AlloDerm) in the management of full-thickness burns. *Burns.* 1995; 21: 243–248.
8. Langer, R.; Vacanti, J.P. Tissue engineering. *Science.* 1993;260: 920–926.
9. Schmitt CM, Tudor C, Kiener K, Wehrhan F, Schmitt J, Eitner S, Agaimy A, Schlegel KA. Vestibuloplasty: porcine collagen matrix versus free gingival graft: a clinical and histologic study. *J Periodontol.* 2013 Jul;84(7):914–23.
10. Thoma, D.S.; Zeltner, M.; Hilbe, M.; Hammerle, C.H.; Husler, J.; Jung, R.E. Randomized controlled clinical study evaluating effectiveness and safety of a volume-stable collagen matrix compared to autogenous connective tissue grafts for soft tissue augmentation at implant sites. *J. Clin. Periodontol.* 2016; 43: 874–885.
11. Thoma, D.S.; Nanni, N.; Benic, G.I.; Weber, F.E.; Hammerle, C.H.; Jung, R.E. Effect of platelet-derived growth factor-BB on tissue integration of cross-linked and non-cross-linked collagen matrices in a rat ectopic model. *Clin. Oral Implants Res.* 2015. 26: 263–270.
12. Thoma, D.S.; Villar, C.C.; Cochran, D.L.; Hammerle, C.H.; Jung, R.E. Tissue integration of collagen-based matrices: An experimental study in mice. *Clin. Oral Implants Res.* 2012. 23: 1333–1339.
13. Ferrantino, L.; Bosshardt, D.; Nevins, M.; Santoro, G.; Simion, M.; Kim, D. Tissue Integration of a Volume-Stable Collagen Matrix in an Experimental Soft Tissue Augmentation Model. *Int. J. Periodont. Restor. Dent.* 2016; 36: 807–815
14. Zeltner, M.; Jung, R.E.; Hammerle, C.H.; Husler, J.; Thoma, D.S. Randomized controlled clinical study comparing a volume- stable collagen matrix to autogenous connective tissue grafts for soft tissue augmentation at implant sites: Linear volumetric soft tissue changes up to 3 months. *J. Clin. Periodontol.* 2017; 44: 446– 453.
15. Thoma, D.S.; Naenni, N.; Benic, G.I.; Hammerle, C.H.; Jung, R.E. Soft tissue volume augmentation at dental implant sites using a volume stable three-dimensional collagen matrix—Histological outcomes of a preclinical study. *J. Clin. Periodontol.* 2017; 44: 185– 194.
16. Aamodt, J.M.; Grainger, D.W. Extracellular matrix-based biomaterial scaffolds and the host response. *Biomaterials* 2016; 86: 68–82.

ИНФОРМАЦИЯ ОБ АВТОРАХ:

Аджиева А.Б. – аспирант, ORCID ID: 0000-0002-5586-4805.

Хабадзе З.С. – к.м.н., доцент кафедры Терапевтической стоматологии, ORCID ID: 0000-0002-7257-5503.

Ёллыбаев Я.А. – ординатор.

Хоссайн Ш.Дж. – ординатор.

Медицинский институт Федеральное государственное автономное образовательное учреждение высшего образования «Российский университет дружбы народов» (РУДН), Москва, Россия.

AUTHOR INFORMATION:

A.B. Adzhieva – Postgraduate Student, ORCID ID: 0000-0002-5586-4805.

Z.S. Khabadze – Ph.D., Associate Professor, Department of Therapeutic Dentistry, ORCID ID: 0000-0002-7257-5503.

Ya.A. Yollybayev – Resident student.

Sh. J. Hossain – Resident student.

Medical Institute RUDN University, Moscow, Russia.

Координаты для связи с авторами / Coordinates for communication with authors:

Аджиева А.Б. / A.B. Adzhieva, E-mail: Aanzhoka@mail.ru